

13,373

**ЗАПИСКИ ИМПЕРАТОРСКОЙ АКАДЕМИИ НАУКЪ.
MÉMOIRES**

DE L'ACADÉMIE IMPÉRIALE DES SCIENCES DE ST.-PÉTERSBOURG.
VIII^e SÉRIE.

ПО ФИЗИКО-МАТЕМАТИЧЕСКОМУ ОТДѢЛЕНІЮ.

CLASSE PHYSICO-MATHÉMATIQUE.

Томъ XVIII. № 16 и послѣдній.

Volume XVIII. № 16 et dernier.

Научные результаты Русской Полярной Экспедиціи 1900—1903 гг., подъ начальствомъ барона Э. В. Толля.
Отдѣлъ Е: Зоологія. Томъ I, вып. 16.

Résultats scientifiques de l'Expédition Polaire Russe en 1900—1903, sous la direction du Baron E. Toll.
Section E: Zoologie. Volume I, livr. 16.

Beiträge zur Kenntniss

der

Amphipoden-Fauna der russischen Arctis.

VON

Ernst von der Brüggen.

Mit 3 Tafeln und 4 Textfiguren.

(Vorgelegt der Akademie am 29. October 1908).

С.-ПЕТЕРБУРГЪ. 1909. ST.-PETERSBURG.

ЗАПИСКИ ИМПЕРАТОРСКОЙ АКАДЕМИИ НАУКЪ.
MÉMOIRES
DE L'ACADÉMIE IMPÉRIALE DES SCIENCES DE ST.-PÉTERSBOURG.
VIII^e SÉRIE.

ПО ФИЗИКО-МАТЕМАТИЧЕСКОМУ ОТДѢЛЕНІЮ.
Томъ XVIII. № 16 и послѣдній.

CLASSE PHYSICO-MATHÉMATIQUE.
Volume XVIII. № 16 et dernier.

Научные результаты Русской Полярной Экспедиціи 1900—1903 гг., подъ начальствомъ барона Э. В. Толля.
Отдѣлъ Е: Зоологія. Томъ I, вып. 16.

Résultats scientifiques de l'Expédition Polaire Russe en 1900—1903, sous la direction du Baron E. Toll.
Section E: Zoologie. Volume I, livr. 16.

Beiträge zur Kenntniss

der

Amphipoden-Fauna der russischen Arctis.

VON

Ernst von der Brüggen.

Mit 3 Tafeln und 4 Textfiguren.

(Vorgelegt der Akademie am 29. October 1908).

С.-ПЕТЕРБУРГЪ. 1909. ST.-PETERSBURG.

INHALT.

Einleitung	1
Geographisches über die Amphipoden des Sibirischen Eismeeres	2
Karisches Meer.....	2
Nordenskiöld-Meer und Tschuktschen-Meer östlich bis zum Wrangelland.....	3
Beaufort- und Behrings-Meer.....	4
Verzeichnis der Arten	5
Fam. Hyperiidæ.....	5
Fam. Lysianassidæ.....	6
Fam. Stegocephalidæ.....	14
Fam. Ampeliscidæ.....	16
Fam. Haustoriidæ.....	20
Fam. Phoxocephalidæ.....	21
Fam. Metopidæ.....	21
Fam. Acanthonotozomatidæ.....	22
Fam. Lilljeborgiidæ.....	23
Fam. Oedicerotidæ.....	23
Fam. Paramphithoidæ.....	31
Fam. Atylidæ.....	32
Fam. Eusiridæ.....	33
Fam. Gammaridæ.....	35
Fam. Aoridae.....	39
Fam. Jassidæ.....	40
Fam. Corophiidæ.....	41
Fam. Podoceridæ.....	42
Fam. Caprellidæ.....	42
Übersicht der einzelnen Stationen der Russischen Polar-Expedition, auf welchen Amphipoden gesammelt worden sind	44
Litteraturverzeichnis	56

Einleitung.

Dank der Liebenswürdigkeit des Herrn A. A. Birula, Naturforschers der Russischen Polarexpedition 1900—1903, wurden mir die von der Expedition gesammelten Amphipoden zur Bearbeitung übergeben. Es war mir besonders angenehm dieses höchst interessante Material zu erhalten, da ich mich schon längere Zeit mit den nordischen Amphipoden beschäftigte und gerade die sibirische Krebsfauna so gut wie nicht bekannt ist, da doch die Bearbeitung Stuxbergs der Ausbeute der Vega-Expedition für die Systematik kaum einen wissenschaftlichen Wert haben kann. Dieses Material erlaubte mir das erste Mal eine genauere Bearbeitung der Amphipoden der nordsibirischen Meere zu geben. Das gesammelte Material ist sehr gross und in der Arbeit sind 85 Arten aufgezählt, von denen sich 4 als neu erwiesen haben, doch erlaubt leider die ungenügende Kenntnis des Vorkommens dieser Tiere doch nicht irgend welche allgemeine Schlüsse über ihre Verbreitung zu ziehen.

Ausser dem Material der Russischen Polarexpedition haben in dieser Arbeit auch einige andere kleine Sammlungen ihre Bearbeitung gefunden. Aus dem Zootomischen Institut der Petersburger Universität bekam ich eine Sammlung aus dem Karischen- und Barents-Meere, die von Dr. Tschernyshev und Dr. Palilov auf dem Vermessungsschiff der Kaiserlich-Russischen Marine in den Jahren 1900—1905 zusammengebracht worden ist. Ausserdem habe ich in die Arbeit auch die Sammlung aufgenommen, die ich während einer 4-wöchentlichen Fahrt ins Karische Meer auf dem Dampfer «Andrei Pervosvanny» der wissenschaftlich-praktischen Murman-Expedition, welche ich dank der liebenswürdigen Aufforderung des Leiters der Expedition, Herrn L. L. Breitfuss, mitgemacht habe, erbeutet habe.

Zum Schluss ist es mir eine angenehme Pflicht Herrn A. A. Birula, Chefzoologen des Museums der Kaiserlichen Akademie der Wissenschaften, meinen innigsten Dank auszusprechen für die liebenswürdige Überlassung zur Bearbeitung des interessanten Materials und für seine Bereitwilligkeit mir stets mit Rat und Tat beizustehen, sowie Herrn Akademiker N. W. Nassonow, Direktor des Museums, für die Erlaubnis in den Räumen des Museums zu arbeiten und die Sammlungen zu benutzen.

Geographisches über die Amphipoden des Sibirischen Eismeereres.

Ich habe versucht eine provisorische Liste der Amphipoden des Sibirischen Eismeereres zusammenzustellen, doch ist es selbstverständlich, dass sie noch sehr lückenhaft sein muss. Es scheint, dass ausser den Arten, die von der einen Seite in europäischen und von der anderen Seite in den asiatischen Meeren vorkommen es auch einige giebt, die ausschliesslich in dem Sibirischen Eismeeere vorkommen, so ist zum Beispiel die *Ampelisca birulai* und *Erichtonius tolli* nur im Nordenskiöld-Meere getroffen worden, während der *Onisimus sibiricus* und *O. botkini* nur im Karischen Meere vorzukommen scheint.

Interessant ist auch die Anwesenheit von *Ceradocus torelli* im Nordenskiöld-Meer wie auch die von *Metopa leptocarpa* und *M. spitzbergensis*, die sich also sehr stark östlich verbreiten. Endlich scheint die *Paramphitoe polyacantha* von Osten her bis zum Karischen Meere vorzudringen, wo sie jetzt zum ersten Male gefunden worden ist.

Karisches Meer.

Onisimus edwardsi.

» *plautus.*

» *caricus.*

» *brevicaudatus.*

» *sibiricus.*

» *affinis.*

» *botkini.*

» *normani.*

Pseudalibrotus littoralis.

» *nanseni.*

» *glacialis.*

Orchomene serrata.

» *pectinata.*

» *tschernyschevi.*

Aristias tumidus.

Anonyx nugax.

Socarnes bidenticulatus.

Hippomedon holbölli.

Centromedon pumilus.

Chironesimus debruynii.

Tmetonyx cicada.

Lepidepcreum umbo.

Orchomenella minuta.

» *pinguis.*

Stegocephalus inflatus.

Ampelisca eschrichti.

» *macrocephala.*

Byblis gaimardi.

Haploops tubicola.

» *laevis.*

» *setosa (?)*.

Pontoporeia femorata.

» *affinis.*

Harpinia plumosa.

» *mucronata.*

Acanthonotosoma inflatum.

<i>Acanthonotosoma serratum.</i>	<i>Atylus carinatus.</i>
» <i>cristatum.</i>	<i>Nototropis Smatti.</i>
<i>Lilljeborgia fissicornis.</i>	<i>Melphidippa spinosa.</i>
<i>Oediceros borealis.</i>	<i>Eusirus holmi.</i>
<i>Paroediceros lynceus.</i>	<i>Rhachotropis aculeata.</i>
<i>Monoculodes borealis.</i>	» <i>helleri.</i>
» <i>hanseni.</i>	<i>Rozinante fragilis.</i>
<i>Aceroides latipes.</i>	<i>Weyprechtia pinguis.</i>
<i>Arrhis phyllonyx.</i>	» <i>heuglini.</i>
<i>Acanthostepheia malmgreni.</i>	<i>Amathilopsis spinifera.</i>
» <i>behringiensis.</i>	<i>Melita dentata.</i>
<i>Gulbarentsia hoeki.</i>	» <i>formosa.</i>
<i>Halirages fulvocinctus.</i>	<i>Gammarus locusta.</i>
<i>Haliragoides inermis.</i>	» » var. <i>wilkitzkii.</i>
<i>Apherusa megalops.</i>	<i>Gammaracanthus loricatus.</i>
» <i>glacialis.</i>	<i>Lembos arcticus.</i>
<i>Cleipiddes quadricuspis.</i>	» <i>longipes.</i>
<i>Pleustes panoplus.</i>	<i>Ischyrocerus anguipes.</i>
<i>Parapleustes gracilis.</i>	» <i>latipes.</i>
<i>Paramphitoe cuspidata.</i>	» <i>brevicornis.</i>
» <i>polyacantha.</i>	<i>Unciola leucopis.</i>

**Nordenskiöld-Meer und Tschuktschen-Meer
östlich bis zum Wrangelland.**

<i>Onisimus edwardsi.</i>	<i>Stegocephalus inflatus.</i>
» <i>affinis.</i>	» <i>ampulla.</i>
» <i>caricus.</i>	<i>Ampelisca eschrichti.</i>
<i>Cyclocaris guilelmi.</i>	» <i>birulai.</i>
<i>Pseudalibrotus littoralis. (?)</i>	<i>Byblis gaimardi.</i>
» <i>nanseni.</i>	<i>Haploops tubicola.</i>
» <i>glacialis.</i>	» <i>laevis.</i>
<i>Menigrates obtusifrons.</i>	<i>Metopa spitzbergensis.</i>
<i>Aristias tumidus.</i>	» <i>leptocarpa.</i>
<i>Anonyx nugax.</i>	» <i>longicornis.</i>
<i>Socarnes bidenticulatus.</i>	<i>Acanthonotosoma inflatum.</i>
<i>Hippomedon propinquus.</i>	<i>Lilljeborgia fissicornis.</i>
<i>Orchomenella pinguis.</i>	<i>Oediceros saginatus.</i>

Acanthostepheia malmgreni.
Acanthostepheia behringiensis.
Aceroides latipes.
Arrhis phyllonyx.
Apherusa glacialis.
Pleustes panoplus.
Paramphitoe cuspidata.
 » *polyacantha.*
Atylus carinatus.
Nototropis smitti.
Eusirus cuspidatus.
Pontogoneia inermis.
Rhachotropis aculeata.
Rozinante fragilis.

Weyprechtia heuglini.
 » *pinguis.*
Ceradocus torelli.
Gammarus locusta.
 » *var. mutata.*
Melita dentata.
 » *formosa.*
Lembos arcticus.
Ischyrocerus anguipes.
 » *latipes.*
Erichtonius hunteri.
 » *tolli.*
Dulichia spinosissima.

Beaufort- und Behrings-Meer.

Anonyx nugax.
Eurytenes gryllus.
Pseudalibrotus littoralis.
Tryphosa nugax.
Stegocephalus ampulla.
 » *inflatus.*
Stenothoe alaskensis.
Odius carinatus.
Oediceros saginatus.
Acanthostepheia malmgreni.
 » *behringiensis.*
Paroediceros lynceus.
Pleustes panoplus.
Paramphitoe polyacantha.

Sympleustes glaber.
Atylus carinatus.
 » *swammerdami.*
Nototropis smitti.
Eusirus cuspidatus.
Rhachotropis aculeata.
Gammarus locusta.
Gammaracanthus loricatus.
Weyprechtia heuglini.
Melita formosa.
 » *leonis.*
Allorchestes ochotensis.
Dulichia arctica.

Verzeichnis der Arten.

Fam. Hyperiidæ.

1. *Hyperia galba* (Mont.).

1. R. P. E. 6. (19.) VIII 1901; Karisches Meer, Lt. $74^{\circ} 28' N.$, Lg. $83^{\circ} 33' E.$; Brutnetz von 25 m. bis zur Oberfläche; 1 juv. (Station 12 a).
2. R. P. E. 21. VIII (3. IX) 1901; Nordenskiöld-Meer östlich von Ost-Taimyr, Lt. $77^{\circ} 1' N.$, Lg. $114^{\circ} 35' E.$; Brutnetz von 60 m. bis zur Oberfläche; 1 juv. (Station 46 a).
3. R. P. E. 29. VIII (11. IX) 1901; Eismeer bei der Bennett-Insel, Lt. $76^{\circ} 34' N.$, Lg. $147^{\circ} 22' 30'' E.$; Brutnetz von 15 m. bis zur Oberfläche; 1 juv. (Station 51 b).

2. *Euthemisto libellula* Mandt.

1. R. P. E. 26. VII. (8. VIII) 1900; Karisches Meer, Lt. $70^{\circ} N.$, Lg. $60^{\circ} E.$; Brutnetz von 90 m. bis zur Oberfläche; 1 juv. (Station 6).
2. R. P. E. 27. VII (9. VIII) 1900; Karisches Meer, Lt. $71^{\circ} 36' N.$, Lg. $65^{\circ} 36' E.$; Brutnetz von 150 m. bis zur Oberfläche; 1 juv. (Station 7).

3. *Parathemisto oblivia* (Kröyer).

1. R. P. E. 24. VII (6. VIII) 1900; Barents-Meer, Lt. $69^{\circ} 37' N.$, Lg. $56^{\circ} 43' E.$; Brutnetz von 30 m. bis zur Oberfläche; 1 juv. (Station 4).
2. R. P. E. 19. VIII (1. IX) 1901; Eismeer beim Cap Tscheliuskin, Lt. $77^{\circ} 46' 30'' N.$, Lg. $105^{\circ} 11' E.$; Brutnetz von 205 m. bis zur Oberfläche; 16 Exemplare ♀♀ und ♂♂ (Station 45).

Fam. **Lysianassidae.**4. **Onisimus caricus** Hansen.

Taf. II, Figg. 1—4.

1. R. P. E. 11. (24.) VIII 1901; Nordufer der W.-Taimyr-Halbinsel, «Sarja»-Hafen, Lt. $76^{\circ} 8' N.$, Lg. $95^{\circ} 6' 30'' E.$; Tiefe 18 m.; von den Knochen eines Seehunds gesammelt, sehr viel Exemplare.

2. R. P. E. 24. VII (6. VIII) 1901; dortselbst, «Sarja»-Hafen bei der Bonnevie-Insel; Tiefe 18,5 m.; Grund — Sand; Dredge; 1 Exemplar (Station 37).

3. R. P. E. 10. (23.) VIII 1901; dortselbst, «Sarja»-Hafen bei der Bonnevie-Insel; Tiefe 17—20 m.; Grund — Schlamm mit Sand und Steinen; 1 Exemplar; Dredge (Station 38).

4. R. P. E. November 1900; ebendasselbst, von den Knochen eines Seehunds gesammelt; 18 Exemplare.

Der Schwanzanhang und die dritten Epimeren lassen sich nicht von denen des *O. affinis* unterscheiden, so dass die Zeichnung Hansens vielleicht nicht ganz exact ist.

5. **Onisimus affinis** Hansen.

Taf. II, Figg. 6—9.

1. R. P. E. 31. VII (13. VIII) 1900; Jenissej-Busen an der Kusjkin-Insel, Dickson-Hafen, Lt. $73^{\circ} 27' N.$, Lg. $79^{\circ} 15' E.$; vom Geripp eines weissen Bären gesammelt; 5 Exemplare.

2. R. P. E. 13. (26.) VIII 1900; Karisches Meer, Lt. $75^{\circ} 49' N.$, Lg. $89^{\circ} 35' E.$; Tiefe 38 m.; Brutnetz; 1 Exemplar (Station 14).

3. R. P. E. 17. (30.) VIII 1902; nach NO. von der Insel Neusibirien, Lt. $75^{\circ} 20' N.$, Lg. $151^{\circ} 45' E.$, Tiefe 34 m.; Grund — Schlamm mit Sand und Steinen; Sigsbee Trawl; 4 Exemplare (Station 70).

4. R. P. E. 4. (17.) IX 1903; Neusibirische Inseln, Südufer der Insel Kotelny gegenüber dem Michailov-Stan; Tiefe 3—4,5 m.; Grund — Sand; 1 Exemplar (Station 77).

5. R. P. E. 14. (27.) IX 1903; ebendasselbst; Tiefe 4—6 m.; Grund — Sand mit Schlamm und Geröll; 3 Exemplare (Station 78).

6. R. P. E. September 1903; ebendasselbst; 7 Exemplare; Dredge.

Fast alle Exemplare dieser Art hatten zwei Paar Borsten am Schwanzanhang, eine grössere und eine kleinere jederseits der Einkerbung.

6. Onisimus brevicaudatus Hansen.

Taf. II, Fig. 5.

1. Dr. Palilov. Karisches Meer, Lt. $72^{\circ} 32' N.$, Lg. $59^{\circ} 16' E.$; Tiefe 140 m.; Grund — Schlamm.

7. Onisimus botkini Birula.

Taf. II, Figg. 20—25.

1. R. P. E. 5. (18.) VIII 1900; Karisches Meer, Jenissej-Busen, Dickson-Hafen auf der Kusjkin-Insel; Tiefe 4—9 m.; Grund — sandiger, grauer und gelber Schlamm; Dredge; 3 Exemplare (Station 11).

Dieser interessante Krebs ist schon im Jahre 1897 von Herrn A. A. Birula beschrieben worden, doch hat ihn Rev. Th. Stebbing im «Tierreich» augenscheinlich übersehen da er dort nicht aufgeführt ist. Die Fundstelle dieses Krebses waren die Wilkitzky- und Sibirjakov-Inseln im Karischen Meere (Jenissej-Busen) und zwar im Brackwasser. In der Sammlung der Russischen Polarexpedition liegen mir einige Exemplare vor, die ich als dieses Art bestimmte und die mir zeigten, dass es sich hier um eine gut unterscheidbare Art handle.

Im Folgenden führe ich die Originaldiagnose des Herrn Birula an.

«*Onisimo carico* Hansen subaffinis, tamen praecipue structura pedum secundi paris et angulis inferoposterioribus segmenti tertii caudae (epimerum) diversus, nec non corporis magnitudine fere duplo decedit. Gnathopoda II articulo ultimo marginibus superiore inferioreque parallelis (haud subtriangulo ut in *O. carico*); angulis externis: superiore rotundato, inferiore dentiformi producto, ungue minuto fere sub angulo externo inferiore posito (haud in media parte marginis externi ut in *O. carico*). Epimera caudalia III processu postico lato subrotundato fere obsoleto vel (apud specimina nonnulla) nullo (haud unciforme ut in *O. carico*) instructa» (Ann. Mus. zool. St.-Pbourg, 1897, II, p. 105).

Im Bau der Gnathopoden scheint mir dieser Krebs, eher den *O. affinis* näher zu stehen, doch nimmt bei diesem die Klaue mehr als die Hälfte des Unterrands ein und ist die Klaue selbst grösser, während beim dem *O. botkini* die Klaue äusserst klein ist und weniger als die Hälfte des Unterrandes einnimmt. Der Hinter- und Vorderrand des sechsten Gliedes des zweiten Gnathopoden sind parallel; der vordere untere Winkel ist abgerundet. Der untere hintere Winkel ist zahnförmig vorgezogen und hat mit der Klaue die Form eines Vogelschnabels. Die ♀♀ und ♂♂ haben einen ähnlichen Bau des zweiten Gnathopoden. Die dritten Epimeren sind bei dieser Art auch eigenartig gebaut. Der hintere untere Zahn fehlt vollständig und die Epimeren haben nur eine flache abgerundete Vor-

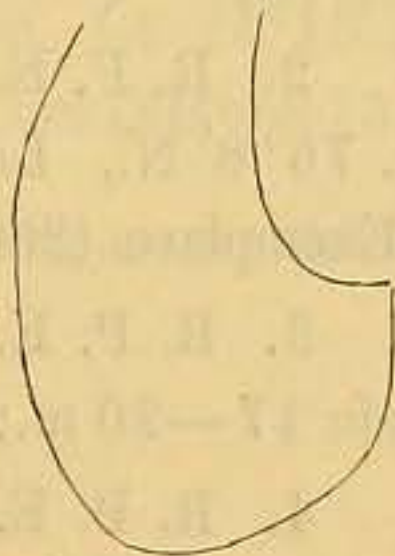


Fig. 1. Epimere III von *O. botkini*.

buchtung, die aber oft auch fehlt so, dass sie hinten regelmässig abgerundet sind. Die vierten Seitenplatten sind nach hinten verbreitet und haben einen sehr kleinen spitzen Zahn an der ausgezogenen Hinterecke.

Einen weiteren Unterschied von *O. caricus* findet A. Birula im Bau der Antennen. Die oberen Antennen der ♀♀ sind 14—15 gliedrig, die Nebengeissel 5 gliedrig; das erste Nebengeisselglied ist gleich dem ersten und zweiten Hauptgeisselglied zusammen genommen, bei den ♂♂ sind die ersten Antennen gleich dem Kopf + den ersten $2\frac{1}{2}$ Segmenten, die Geissel ist 22 gliedrig, die Nebengeissel 5 gliedrig, die zweiten Antennen sind 26—27 gliedrig. Die Uropoden haben 3 lange Borsten am äusseren Ramus. Der Schwanzanhang unterscheidet sich nicht von dem von *O. caricus*.

8. *Onisimus normani* Schneider.

1. R. P. E. 10. (23.) VIII 1901; Nordufer der W.-Taimyr-Halbinsel, «Sarja»-Hafen bei der Insel Bonnevie; Tiefe 17—20 m.; Grund — Sand mit Schlamm und Geröll; kleiner Sigsbee-Trawl und Dredge (Station 38).

Dieser seltene Krebs wurde nur in einem Exemplar erbeutet, der mit der von Sars gegebenen Beschreibung übereinstimmte, doch waren bei ihm die zahnförmigen Fortsätze der ersten und dritten Epimerenplatte stärker entwickelt und er hatte eine dreigliedrige Nebengeissel.

9. *Onisimus sibiricus* sp. nov.

Taf. II, Figg. 10—19.

1. R. P. E. 18. (31.) VIII 1900; Karisches Meer, NW.-Ufer der W.-Taimyr-Halbinsel, Middendorff-Bai, Lt. $75^{\circ} 54' N.$, Lg. $92^{\circ} 59' E.$; Tiefe 16 m.; Grund — grober Sand; 1 Exemplar (Station 16).

2. R. P. E. 3. (16.) XI 1900; Nordufer der W.-Taimyr-Halbinsel, «Sarja»-Hafen, Lt. $76^{\circ} 8' N.$, Lg. $95^{\circ} 6' 30'' E.$; Tiefe 17 m.; Brutnetz von 17 m. bis zur Oberfläche; 2 Exemplare (Station 30).

3. R. P. E. 10. (23.) VIII 1901; dortselbst, «Sarja»-Hafen bei der Bonnevie-Insel; Tiefe 17—20 m.; Grund — Schlamm mit Sand; kleiner Trawl; 1 Exemplar (Station 38).

4. R. P. E. 11. (24.) VIII 1901; dortselbst; Tiefe 20 m.; Grund — Schlamm mit Manganconcretionen; kleine Dredge; 1 Exemplar (Station 39).

Diese Art steht dem *Onisimus plautus* Kröyer am nächsten, weist jedoch einige Unterschiede auf. Der Körper ist wie bei *Onisimus plautus* nicht sehr breit, dorsal glatt. Der Kopf hat einen spitzen lateralen Kopfwinkel. Die Augen sind rot und unten breiter, als oben.

Die Seitenplatten sind nicht sehr gross, das vierte Paar ist nach hinten sehr wenig verbreitert und abgerundet. Die dritten Epimeren haben einen sehr starken nach oben gekrümmten zahnförmigen Fortsatz an ihrer hinteren unteren Ecke. Das vierte Schwanzsegment hat dorsal eine deutliche Einbuchtung.

Die ersten Antennen haben eine langes erstes Geisselglied, die Geissel ist 12—16 gliedrig; die Nebengeissel 5-gliedrig, erstes Glied gleichlang wie das erste und zweite Geisselglied zusammengenommen. Die ersten Gnathopoden unterscheiden diese Art von dem *O. plantus* dadurch, dass sie einen sehr schrägen Unterrand haben, der sogar noch schräger ist als bei *O. edwardsi* und sehr an den von *O. turgidus* erinnert. Die zweiten Gnathopoden haben eine Klaue, die grösser ist als die Hälfte des Unterrandes des sechsten Gliedes. Das dritte bis fünfte Pereiopodenpaar haben ein verbreitertes viertes Glied und unterscheiden sich dadurch vom *O. turgidus*, mit dem der *O. sibiricus* sonst sehr viel Ähnlichkeit hat. Die Uropoden des dritten Paares sind ohne Borsten oder Härchen. Der Schwanzanhang ist circa auf $\frac{1}{3}$ gespalten mit auseinanderstehenden und mit je einer Borste versehenen Hälften.

10. *Pseudalibrotus nanseni* G. O. Sars.

1. R. P. E. 30. VII (12. VIII) 1900; Karisches Meer, Jenissej-Busen, Lt. $73^{\circ}27'N.$, Lg. $79^{\circ}15'E.$; Brutnetz von 25 m. bis zur Oberfläche; 1 Exemplar (Station 10 b).

2. R. P. E. 25. VIII (7. IX) 1900; NW.-Ufer der W.-Taimyr-Halbinsel, Middendorff-Bai, Lt. $75^{\circ}54'N.$, Lg. $92^{\circ}59'E.$; Oberflächenfang mit dem kleinen Planktonnetz; 2 Exemplare (Station 19).

3. R. P. E. 19. VIII (1. IX) 1901; Eismeer beim Cap Tscheliuskin, Lt. $77^{\circ}46'30''N.$, Lg. $105^{\circ}11'E.$; Brutnetz von der Tiefe 205 m. bis zur Oberfläche; 8 Exemplare (Station 45).

4. R. P. E. 22. VIII (4. IX) 1901; Nordenskiöld-Meer gegenüber der Chatanga-Bai, Lt. $75^{\circ}38'N.$, Lg. $114^{\circ}11'E.$; Brutnetz von 17 m. bis zur Oberfläche; 2 Exemplare (Station 47).

5. R. P. E. 20. VIII (2. IX) 1902; südlich von der Insel Neusibirien, Lt. $74^{\circ}13'N.$, Lg. $151^{\circ}36'E.$; Brutnetz von der Tiefe 9 m. bis zur Oberfläche; 4 Exemplare (Station 73 a).

Bei vielen Exemplaren sind die Borsten am Innenrande des äusseren Ramus der dritten Uropoden wenig zahlreich (1—6 Stück).

11. *Pseudalibrotus glacialis* G. O. Sars.

1. R. P. E. 30. VII (12. VIII) 1900; Karisches Meer, Jenissej-Busen, Lt. $73^{\circ}27'N.$, Lg. $79^{\circ}15'E.$; Brutnetz von der Tiefe 25 m. bis zur Oberfläche; 1 Exemplar (Station 10 b).

2. R. P. E. 6. VIII (19. VIII) 1900; Karisches Meer, gegenüber der Minin-Bai, Lt. $74^{\circ}28'N.$, Lg. $83^{\circ}33'E.$; Brutnetz von der Tiefe 10 m. bis zur Oberfläche; 1 Exemplar (Station 12b).

3. R. P. E. 18. VIII (31. VIII) 1901; Taimyr-Bai, ein wenig nördlich von der Mündung des Flusses Taimyr, Lt. $76^{\circ}59'30''N.$, Lg. $100^{\circ}19'30''E.$; Tiefe 28 m.; Grund — Schlamm mit Sand und Geröll; Petersens Trawl; 2 Exemplare (Station 44).

4. R. P. E. 22. VIII (4. IX) 1901; Nordenskiöld-See gegenüber der Chatanga-Mündung, Lt. $75^{\circ}38'N.$, Lg. $114^{\circ}11'E.$; Brutnetz von 10 m. Tiefe bis zur Oberfläche (Station 47b).

5. R. P. E. 24. VIII (6. IX) 1901; ebendasselbst, Lt. $75^{\circ}42'N.$, Lg. $124^{\circ}41'E.$; Brutnetz von 47 m. bis zur Oberfläche; 2 Exemplare (Station 49a).

Auch bei dieser Art findet man oft am Hinterrande des Schwanzanhangs 2 dünne kleine Borsten wie bei *P. nanseni*.

12. *Pseudalibrotus littoralis* Kröyer.

1. M. E. 23. VIII. 1906; Jugorstrasse beim Cap Djakonow; Tiefe 3—4 m.; aus dem Magen eines Fisches (Station 1380); sehr zahlreich.

13. *Orchomene tschernyschevi* sp. nov.

Taf. II, Figg. 26—29.

1. Dr. Tschernyschew, 1901. Jugorstrasse; Tiefe 16—18 m.; Grund — Geröll; 1 Exemplar.

Diese neue Art steht der *O. serrata* am nächsten. Der Körper ist stark und breit.

Der Rücken ist glatt; das erste Schwanzsegment hat dorsal einen kielförmigen abgerundeten Fortsatz. Der Hinterrand der zweiten Epimerenplatten gezahnt. Bei der dritten Epimerenplatte ist nur die untere Hälfte gezahnt und nach hinten einen abgestumpften Fortsatz bildend, die obere Hälfte bildet eine sehr flache, abgerundete Vorbuchtung mit ganz glattem Rande.

Die oberen Fühler sind dick und kurz, das erste Glied wie bei allen Arten dieser Gattung sehr dick und nach vorn hervortretend; die Geißel ist 8-gliedrig; das erste Geißelglied ist länger als die beiden nächsten zusammengenommen. Die Nebengeißel ist 5-gliedrig, das erste Glied ist kaum länger als das erste Hauptgeißelglied. Die Geißeln der zweiten Antennen sind auch 8-gliedrig. Die Mundwerkzeuge sind normal gebaut. Das Epistom reicht nicht sehr stark über die Oberlippe hervor. Der laterale Kopfwinkel ist abgerundet; die Augen sind in Spiritus-Exemplaren dunkelbraun fast schwarz gefärbt, ungefähr oval nach unten ein wenig verbreitert.

Das fünfte Glied des ersten Gnathopoden hat einen nach unten ausgezogenen, vorn abgestumpften und mit Borsten besetzten Fortsatz. Das letzte Glied hat eine deutlich ausgeprägte viereckige Form. Der Unterrand steht fast perpendicular zur Längsachse, ist vorne gezahnt und hat zwei starke Borsten an seiner Hinterecke. Die Klaue ist stark, gebogen, ebenso lang als der Unterrand.

Die übrigen Beine sind wie bei den *Orchomene serrata*.

Die Uropoden sind kurz und stark. Der Schwanzanhang ist dem von *Orchomene crispata* Gris. sehr ähnlich. Er ist auf $\frac{1}{3}$ gespalten, die beiden Hälften sind auseinanderstehend und mit je einer dicken Borste an der Spitze versehen; ausserdem sind noch je zwei Borsten über den Endborste angebracht. Die Grösse dieser Art beträgt circa 7 mm.

14. *Menigrates obtusifrons* Boeck.

1. R. P. E. 28. VIII (10. IX) 1901; Eismeer nördlich von den Neusibirischen Inseln, Lt. $77^{\circ} 20' 30''$ N., Lg. $138^{\circ} 47'$ E.; Tiefe 38 m.; Grund — Schlamm; 1 Exemplar (Station 50).

2. R. P. E. 4. (17.) IX 1903; Südufer der Insel Kotelny gegenüber dem Michailov-Stan; Tiefe 3—4.5 m.; Dredge; 1 Exemplar (Station 77).

Die Nebengeissel ist 5-gliedrig und der Schwanzanhang tiefer gespalten als bei typischen Exemplaren dieser Art.

15. *Aristias tumidus* Kröyer.

1. R. P. E. 21. VIII (3. IX) 1901; Nordenskiöld-See, nach NO. von der Ost-Taimyr-Halbinsel, Lt. $77^{\circ} 1'$ N., Lg. $114^{\circ} 35'$ E.; Tiefe 60 m.; Grund — Schlamm mit Geröll; 2 Exemplare aus Ascidien (Station 46).

2. M. E. 30. VIII 1906; Karisches Meer, Lt. $70^{\circ} 18'$ N., Lg. $57^{\circ} 56'$ E.; Tiefe 153 m.; Grund — Schlamm mit Sand; Bodentemperatur $-1,63^{\circ}$; 2 Exemplare aus Schwämmen (Station 1393).

3. M. E. 3. IX. 1906; Barents-See, Lt. $69^{\circ} 10'$ N., Lg. $38^{\circ} 41'$ E.; Tiefe 217 m.; Grund — Schlamm; Bodentemperatur $+1,5^{\circ}$; 4 Exemplare (Station 1405).

Die von mir während der Fahrt der Dampfer der Murman-Expedition erbeuteten Exemplare sind aus Schwämmen und Ascidien gesammelt worden, frei wurde diese Art nicht beobachtet.

16. *Anonyx nugax* Phipps.

1. R. P. E. 20. VII (2. VIII) 1900; Barents-See, Lt. $69^{\circ} 39'$ N., Lg. $46^{\circ} 16'$ E.; Tiefe 38 m.; Grund — sandiger Schlamm mit Geröll; 2 Exemplare (Station 1).

2. R. P. E. 24. VII (6. VIII) 1900; Barents-Meer, Lt. $69^{\circ}32'N.$, Lg. $56^{\circ}43'E.$; Tiefe 30 m.; Grund — feiner Sand; grosser Sigsbee Trawl; 2 Exemplare (Station 3).
3. R. P. E. 27. VII (9. VIII) 1900; Karisches Meer, Lt. $71^{\circ}36'N.$, Lg. $65^{\circ}36'E.$, Tiefe 160 m.; Otter-Trawl; 1 Exemplar (Station 7 b).
4. R. P. E. 13. VIII (26. VIII) 1900; Karisches Meer, nördlich vom Jenissej-Busen; Lt. $75^{\circ}49'N.$, Lg. $89^{\circ}35'E.$; Tiefe 38 m.; Sigsbee-Trawl; 2 Exemplare (Station 14 c).
5. R. P. E. 21. VIII (3. IX) 1901; Nordenskiöld-Meer, Lt. $77^{\circ}1'N.$, Lg. $114^{\circ}35'E.$; Tiefe 60 m.; Grund — Sand mit Steinen; 1 Exemplar (Station 46).
6. R. P. E. 24. VIII (6. IX) 1901; dortselbst, Lt. $75^{\circ}42'N.$, Lg. $124^{\circ}41'E.$; Tiefe 51 m.; Grund — Schlamm; Sigsbee-Trawl; 1 juv. (Station 49).
7. R. P. E. 28. VIII (10. IX) 1901; Eismeer nördlich von den Neusibirischen Inseln, Lt. $77^{\circ}20'30''N.$, Lg. $138^{\circ}47'E.$; Tiefe 38 m.; Grund — Schlamm; Sigsbee-Trawl; 2 Exemplare (Station 50).
8. Dr. Tschernyshev; 25. VIII 1900; Karisches Meer, Lt. $70^{\circ}6'N.$, Lg. $60^{\circ}38'30''E.$; Tiefe 205 m.; Grund — flüssiger Schlamm; Dredge; 1 Exemplar.
9. Dr. Tschernyshev; 9. VIII 1900; dortselbst, Lt. $69^{\circ}47'N.$, Lg. $60^{\circ}34'E.$; Tiefe 26 m.; Grund — Geröll; 1 Exemplar.
10. Dr. Tschernyshev; 18. VIII 1900; Jugorstrasse; Grund — Geröll; Tiefe 31 m.; Dredge; 5 Exemplare.
11. Dr. Palilov; 25. VII. 1901; Barents-Meer an der Westküste Nowaja Semljas, Lt. $73^{\circ}3'30''N.$, Lg. $53^{\circ}45'E.$; Tiefe 46 m.; Grund — Schlamm; Bodentemperatur $-2,6^{\circ}$; 1 Exemplar.
12. Dr. Palilov; 22. VIII 1904; Karisches Meer, Lt. $72^{\circ}4'N.$, Lg. $68^{\circ}17'30''E.$; Grund — Schlamm; Tiefe 24 m.; 1 Exemplar.
13. M. E. 26. VIII 1906; dortselbst, Lt. $69^{\circ}50'N.$, Lg. $60^{\circ}37'E.$; Tiefe 20 m.; Grund — Sand und Geröll (Station 1382).

17. *Socarnes bidenticulatus* Sp. Bate.

1. R. P. E. 22. VIII (4. IX) 1901; Nordenskiöld-Meer gegenüber der Chatanga-Bucht, Lt. $75^{\circ}38'N.$, Lg. $114^{\circ}11'E.$; Tiefe 19 m.; Grund — Geröll und grauer feiner Sand; 4 Exemplare (Station 47).
2. R. P. E. 24. VIII (6. IX) 1901; offenes Nordenskiöld-Meer, Lt. $75^{\circ}42'N.$, Lg. $124^{\circ}41'E.$; Tiefe 51 m.; Grund — Schlamm; Sigsbee-Trawl; 6 Exemplare (Station 49).
3. R. P. E. 28. VIII (10. IX) 1901; Eismeer nördlich von den Neusibirischen Inseln, Lt. $77^{\circ}20'30''N.$, Lg. $138^{\circ}47'E.$; Tiefe 38 m.; Grund — Schlamm; Sigsbee-Trawl; 1 Exemplar (Station 50).
4. Dr. Palilov; 1. VIII 1903; Barents-Meer, Lt. $71^{\circ}14'N.$, Lg. $50^{\circ}58'E.$; Tiefe 140 m.; Grund — Schlamm; Bodentemperatur $-1,7^{\circ}$; Sigsbee-Trawl; 6 Exemplare.

5. Dr. Palilov; 25.VIII. 1902; Karisches Meer, Lt. $69^{\circ} 30' N.$, Lg. $65^{\circ} 17' E.$; Grund — Schlamm; Tiefe 28 m.; 1 Exemplar.

6. Dr. Palilov; Barents-Meer, Lt. $70^{\circ} 12' N.$, Lg. $52^{\circ} 30' E.$; Tiefe 100 m.; Grund — Schlamm; 1 Exemplar.

18. *Hippomedon propinquus* G. O. Sars.

1. R. P. E. 21.VIII (3.IX) 1901; Nordenskiöld-Meer, nach NO. von der Ost-Taimyr-Halbinsel, Lt. $77^{\circ} 1' N.$, Lg. $114^{\circ} 35' E.$; Tiefe 60 m.; Grund — Schlamm mit Geröll; 1 Exemplar (Station 46).

Das hier erbeutete einzige Exemplar hatte einen sehr stark entwickelten Zahn an der dritten Epimerenplatte.

19. *Tmetonyx cicada* O. Fabr.

1. R. P. E. 18. (31.) VIII 1901; Karisches Meer, Taimyr-Golf, Lt. $76^{\circ} 59' 30'' N.$, Lg. $100^{\circ} 19' 30'' E.$; Tiefe 28 m.; Grund — Schlamm mit Geröll; 1 Exemplar (Station 44).

2. Dr. Tschernyshev; Barents-Meer, Lt. $69^{\circ} 55' N.$, Lg. $60^{\circ} 55' E.$; Tiefe 91 m.; Grund — Schlamm; 2 Exemplare.

3. Dr. Palilov; ebendasselbst, Lt. $70^{\circ} 1' N.$, Lg. $57^{\circ} 50' E.$; Tiefe 180 m.; Grund — Schlamm; 1 Exemplar.

20. *Lepidepecreum umbo* Gres.

1. R. P. E. 18. (31.) VIII 1901; Karisches Meer, Taimyr-Golf, Lt. $76^{\circ} 59' 30'' N.$, Lg. $100^{\circ} 19' 30'' E.$; Tiefe 28 m.; Grund — Schlamm mit Geröll; 1 Exemplar (Station 44).

21. *Orchomenella minuta* Kröyer.

1. R. P. E. 5. (18.) IX 1900; Karisches Meer beim NW.-Ufer der W.-Taimyr-Halbinsel, Lt. $76^{\circ} 1' N.$, Lg. $92^{\circ} 40' E.$; Tiefe 17 m.; Grund — grober Sand; Dredge; 2 Exemplare (Station 22).

22. *Orchomenella pinguis* Boeck.

1. R. P. E. 24.VIII (6.IX) 1901; Nordenskiöld-Meer, Lt. $75^{\circ} 42' N.$, Lg. $124^{\circ} 41' E.$; Tiefe 51 m.; Grund — Schlamm; Sigsbee-Trawl; 1 Exemplar (Station 49).

Fam. **Stegocephalidae.****23. Stegocephalus inflatus** Kröyer.

1. R. P. E. 12. (25.) VIII 1901; Karisches Meer, N.-Ufer der W.-Taimyr-Halbinsel, bei der Insel Katorschny; Tiefe 30 m.; Grund — Schlamm mit Geröll; 4 Exemplare (Station 40).

2. R. P. E. 18. (31.) VIII 1901; ebendasselbst, Taimyr-Golf, Lt. $76^{\circ}59'30''$ N., Lg. $100^{\circ}19'30''$ E.; Tiefe 28 m.; Grund — Schlamm mit Geröll; Petersens-Trawl; 11 Exemplare (Station 44).

3. R. P. E. 21. VIII (3. IX) 1901; Nordenskiöld-See, Lt. $77^{\circ}1'$ N., Lg. $114^{\circ}35'$ E.; Tiefe 60 m.; Grund — Schlamm mit Geröll; 3 Exemplare (Station 46).

4. R. P. E. 22. VIII (4. IX) 1901; ebendasselbst, Lt. $75^{\circ}38'$ N., Lg. $114^{\circ}11'$ E.; Tiefe 19 m.; Grund — Geröll und grauer feiner Sand; Sigsbee-Trawl; 8 Exemplare (Station 47).

5. R. P. E. 23. VIII (5. IX) 1901; ebendasselbst, offenes Meer, Lt. $75^{\circ}32'30''$ N., Lg. $118^{\circ}32'$ E.; Tiefe 30 m.; Grund — Geröll, Schlamm und Sand; 1 juv. (Station 48).

6. R. P. E. 24. VIII (6. IX) 1901; ebendasselbst, offenes Meer, Lt. $75^{\circ}42'$ N., Lg. $124^{\circ}41'$ E.; Tiefe 51 m.; Grund — Schlamm; Sigsbee-Trawl; 1 Exemplar (Station 49).

7. R. P. E. 28. VIII (10. IX) 1901; Eismeer nördlich von den Neusibirischen Inseln, Lt. $77^{\circ}20'30''$ N., Lg. $138^{\circ}47'$ E.; Tiefe 38 m.; Grund — Schlamm; Sigsbee-Trawl; 1 Exemplar (Station 50).

8. M. E. 2. IX 1906; Barents-See, Lt. $70^{\circ}4'$ N., Lg. $48^{\circ}26'$ E.; Tiefe 53 m.; Grund — Sand; Bodentemperatur $+0,8^{\circ}$ (Station 1400).

9. Dr. Palilov; 26. VIII 1902; Karisches Meer, Lt. $69^{\circ}48'$ N., Lg. $63^{\circ}52'$ E.; Grund — Schlamm; Tiefe 45 m.; Bodentemperatur $-1,0^{\circ}$; Sigsbee-Trawl; 2 Exemplare.

10. Dr. Palilov; 1. VIII 1903; Barents-See, Lt. $71^{\circ}14'$ N., Lg. $50^{\circ}58'$ E.; Grund — Schlamm; Tiefe 140 m.; Bodentemperatur $-1,7^{\circ}$; viele Exemplare.

24. Stegocephalus ampulla Phipps.

Taf. I, Fig. 1 und Taf. III, Figg. 11—19.

1. R. P. E. 30. VIII (13. IX) 1901; Eismeer bei der Bennett-Insel, Lt. $76^{\circ}37'$ N., Lg. $147^{\circ}27'$ E.; Tiefe 42 m.; Grund — flüssiger Schlamm; 1 ♀ mit circa 12 juv. (Station 52).

Von diesen seltenen Krebs wurde ein Weibchen gefangen, das in seiner Bruttasche 12 junge Tiere hatte. Es stellte sich heraus, dass es nicht wie bisher geglaubt wurde, ein *Phippsia*- sondern eine *Stegocephalus*-Art ist. Er passt allerdings nicht in die Definition wie sie Sars und Stebbing geben.

Das vierte Beinpaar hat ein nicht verbreitertes zweites Glied. Es steht in dieser Hinsicht näher dem *Stegocephaloides*, doch unterscheidet es sich von dieser Gattung durch den Bau der vierten Epimerenplatte des fünften Beines, und die Anzahl der Antennengeisselglieder.

Es müsste also bei der Gattung *Stegocephalus* gestrichen werden, dass das zweite Glied des vierten Beines verbreitert ist. Auch reicht die äussere Kaulade weiter als das zweite Tasterglied, wie es bei der Gattung *Phippisia* der Fall ist. Der eingliedrige Maxillartaster spricht aber für die Zugehörigkeit dieser Art zur Gattung *Stegocephalus*, wie auch die unsymmetrisch zweigelappte Oberlippe.

Die vierten Epimeren sind sehr breit und das ist auch als Merkmal der *Phippisia* angeführt, doch auch das fällt nicht ins Gewicht, da die *Phippisia similis*, die ich auf Grund des zweigliederigen Maxillartasters zur Gattung *Phippisia* gestellt habe, auch kleine Epimerenplatten hat, so dass dieses Merkmal auch nicht constant zu sein scheint; wenig constant scheint auch der Bau der inneren Kaulade der zweiten Maxille zu sein.

Kopf viel kleiner als bei *St. inflatus*, aber mit sehr grossem Rostrum. Körper sehr angeschwollen und kräftig, breiter als *St. inflatus*.

Die ersten drei Seitenplatten wie bei *St. inflatus*; die vierte ausserordentlich gross und weit nach hinten reichend, die fünfte und sechste überdeckend, hinten abgerundet.

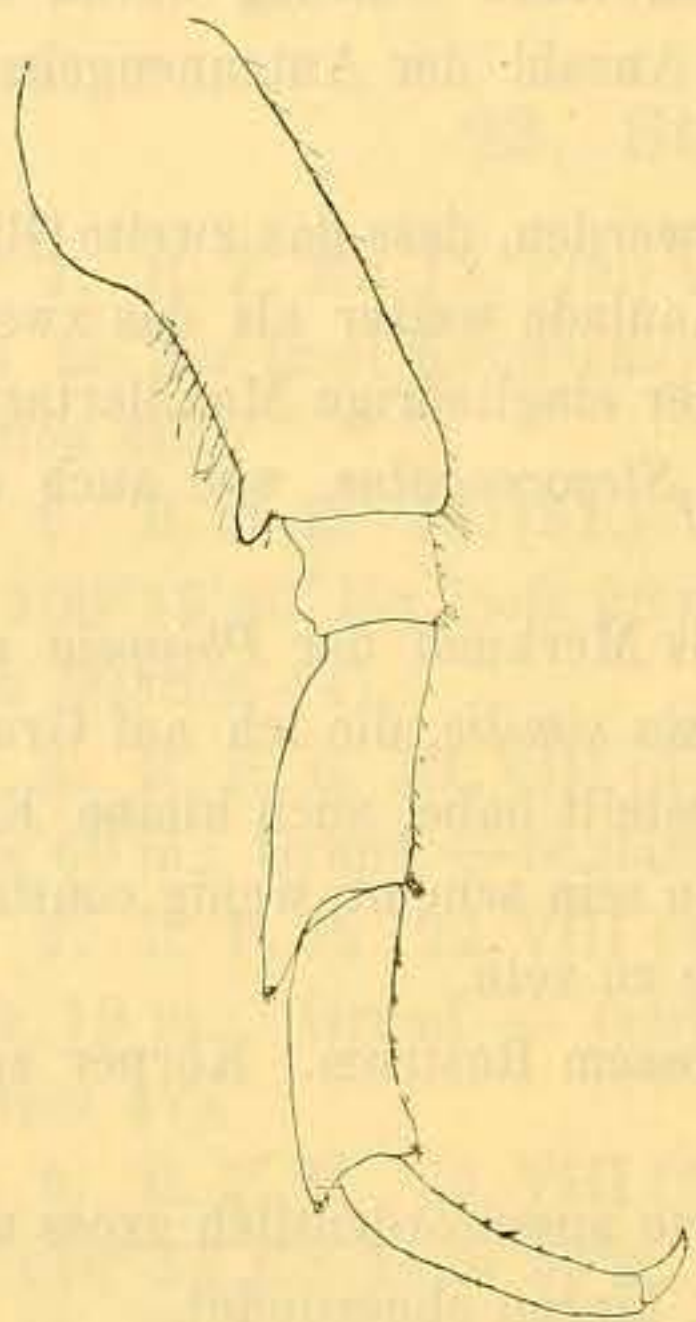
Die ersten beiden Epimerenplatten hinten spitz; die dritte auch spitz nach hinten auslaufend, aber die Spitze liegt höher als bei *Stegocephalus inflatus*, der hintere und untere Rand ist sehr fein gesägt. Der Rücken ist glatt, nur hat das vierte Schwanzsegment dorsal eine flache Einbuchtung. Die ersten Antennen haben eine 8-gliedrige Geissel. Die jungen Exemplare haben eine dreigliedrige Geissel, deren letztes Glied wie bei *Stegocephaloides* stiletförmig ist. Die Nebengeissel ist beim erwachsenen Weibchen abgebrochen, bei den jungen 2 gliedrig mit äusserst kleinem zweiten Gliede.

Das Epistom ist vorne ganz flach. Die Oberlippe ist unsymmetrisch, zweilappig, wie bei *Steg. inflatus*, jedoch mit breiteren Lappen. Die Mandibeln sind grob gezahnt mit 6 kleinern und 5 grösseren Zähnen. Die ersten Maxillen haben einen eingliedrigen Taster, der kürzer ist als die äussere Kaulade. Die äussere Kaulade hat 8 starke Borsten. Die innere Lade ist am Innerande fein behaart und ist nur mehr zur Spitze zu mit langen behaarten Borsten versehen.

Die zweite Maxille ist wie bei *Stegocephalus*. Die Kieferfüsse haben einen verhältnismässig kurzen Taster. Die äussere Kaulade reicht ein wenig über das zweite Tasterglied hinüber.

Die ersten Gnathopoden sind robuster als die zweiten, das fünfte und sechste Glied sind gleichlang; das sechste viel schmaler als das fünfte und distal schmaler werdend. Beim zweiten Paar ist das sechste Glied länger und nicht viel schmaler als das fünfte. Beide Gnathopoden sind stark behaart. Die Pereiopoda sind kräftig und werden nach hinten allmählich länger, jedoch ist das vierte ein wenig grösser als das fünfte. Die dritte Pereiopoda

hat ein nicht erweitertes zweites Glied. Das zweite Glied der vierten Pereiopoda hat die proximale Hälfte verbreitert, die distale hat parallele Ränder und ist nicht verbreitert. An der unteren hinteren Ecke des zweiten Gliedes befindet sich ein nach unten und hinten gerichteter, stumpfer Fortsatz. Das zweite Glied der fünften Pereiopoda ist nach hinten stark verbreitert und gleichmässig abgerundet, mit sehr fein gesägtem Rande.



Die Uropoden des ersten und zweiten Paares reichen gleichweit nach hinten und haben gleichlange Rami, die kürzer sind als das Basalglied. Die dritten Uropoden haben lamellöse, breite, sich zuspitzende, an der Spitze fein gesägte Rami, die länger sind als das Basalglied.

Der Schwanzanhang ist wenig länger als breit, auf $\frac{1}{3}$ gespalten; die beiden abgerundeten Hälften stehen auseinander.

Grösse — 53 mm.

Die Färbung ist, soweit sie sich im Spiritus erhalten hat, braun mit helleren Flecken auf dem Rücken und Seiten der zweiten bis sechsten Rumpsegmente.

Fig. 2. Pereiopode IV von *St. ampulla*.

Fam. Ampeliscidae.

25. *Ampelisca eschrichti* Kröyer.

1. R. P. E. 28. VII (10. VIII) 1900; Karisches Meer, westlich von der Insel Belyj, Lt. $72^{\circ} 56' N.$, Lg. $68^{\circ} 15' E.$; Tiefe 37 m.; Grund — flüssiger graugelber Schlamm; kleine Dredge; 1 Exemplar (Station 9).

2. R. P. E. 25. VIII (7. IX) 1900; NW-Ufer der W-Taimyr, Middendorff-Bai, Lt. $75^{\circ} 54' N.$, Lg. $92^{\circ} 59' E.$; Oberfläche des Meeres; kleines Planktonnetz; 2 Exemplare (Station 19).

3. R. P. E. 24. VIII (6. IX) 1901; Nordenskiöldmeer, Lt. $75^{\circ} 42' N.$, Lg. $124^{\circ} 41' E.$; Tiefe 51 m.; Grund — Schlamm; Sigsbee Trawl; 2 Exemplare (Station 49).

4. R. P. E. 28. VIII (10. IX) 1901; Eismeer nördlich von den Neusibirischen Inseln, Lt. $77^{\circ} 20' 30'' N.$, Lg. $138^{\circ} 47' E.$; Tiefe 38 m.; Grund — Schlamm; 36 Exemplare (Station 50).

5. Dr. Tschernyshev; 7. VII 1900; Lt. $68^{\circ} 47' 30'' N.$, Lg. $51^{\circ} 15' 30'' E.$; Tiefe 40 m.; Grund — Schlamm; 2 Exemplare.

6. Dr. Palilov. Karisches Meer, Lt. $72^{\circ} 32' N.$, Lg. $59^{\circ} 16' E.$; Sigsbee-Trawl; Bodentemperatur — $0,9^{\circ}$; Tiefe 14 m.; 2 Exemplare.

7. Dr. Palilov. Ebendasselbst bei Novaja Zemlja, Lt. $71^{\circ} 14' N.$; Lg. $51^{\circ} 53' E.$; Tiefe 14 m.; Bodentemperatur $-1,7^{\circ}$; 1 Exemplar.

8. Dr. Palilov; 9. VIII 1901; Lt. $69^{\circ} 47' N.$, Lg. $57^{\circ} 23' E.$; Petersens-Trawl; Tiefe 56 m.; Bodentemperatur $+0,3^{\circ}$; Grund — Schlamm; 4 Exemplare.

9. M. E. 26. VIII 1906; Karisches Meer, Lt. $70^{\circ} 08' N.$, Lg. $61^{\circ} 14' E.$; Tiefe 235 m.; Grund — Schlamm; Bodentemperatur $-1,68^{\circ}$; 2 Exemplare (Station 1384).

10. M. E. 30. VIII 1906; Lt. $70^{\circ} N.$, Lg. $57^{\circ} E.$; Tiefe 60 m.; Grund — sandiger Schlamm; Bodentemperatur $+1,38^{\circ}$; 2 Exemplare (Station 1394).

11. M. E. 1. IX 1906; Lt. $70^{\circ} 30' N.$, Lg. $52^{\circ} 12' E.$; Tiefe 102 m.; Grund — sandiger Schlamm; Bodentemperatur $+0,16^{\circ}$; 5 Exemplare (Station 1397).

Das auf Station 9 der Russischen Polarexpedition gefangene Exemplar hat die Länge von 42 mm.

26. *Ampelisca macrocephala* Lilljeborg.

1. R. P. E. 20. VII (2. VIII) 1900; Barents-Meer westlich von der Insel Kolgudjew, Lt. $69^{\circ} 39' N.$, Lg. $46^{\circ} 16' E.$; Tiefe 85 m.; Grund — sandiger Schlamm mit Steinen; Dredge; 1 Exemplar (Station 1).

2. R. P. E. 13. (26.) VIII 1902; Neusibirische Inseln, der südliche Teil des Blagoweschtschensky Proлив; Tiefe 12 m.; Grund — Sand; Dredge; 2 Exemplare (Station 66).

3. R. P. E. 19. VIII (1. IX) 1902; dortselbst, östlich von der Insel Neusibirien, Lt. $75^{\circ} 15' N.$, Lg. $152^{\circ} 16' E.$; Dredge; Grund — Schlamm mit Sand; Tiefe 15,5 m.; 2 Exemplare (Station 72).

4. M. E. 26. VIII 1906; Karisches Meer, Lt. $69^{\circ} 50' N.$, Lg. $60^{\circ} 37' E.$; Tiefe 20 m.; Grund — Sand und Geröll (Station 1382).

5. Dr. Palilov; Lt. $73^{\circ} 3' 30'' N.$, Lg. $52^{\circ} 45' E.$; Tiefe 46 m.; Grund — Schlamm.

27. *Ampelisca birulai* nov. sp.

Taf. I, Fig. 5 und Taf. III, Figg. 1—10.

1. R. P. E. 28. VIII (10. IX) 1901; Eismeer nördlich von den Neusibirischen Inseln, Lt. $77^{\circ} 20' 30'' N.$, Lg. $138^{\circ} 47' E.$; Tiefe 38 m.; Grund — Schlamm; Sigsbee Trawl; 40 Exemplare (Station 50).

Diese neue Art steht der *A. spinipes* am nächsten. Der Kopf ist ebenso lang wie die drei ersten Segmente zusammen genommen, in seiner Form wieder der *A. spinipes*. Der Körper ist ziemlich hoch und stark. Das erste Seitenplattenpaar ragt gleich weit wie der Kopf hervor. Die dritten Epimerenplatten sind hinten abgerundet. Das vierte Schwanzsegment hat dorsal

eine kleine Einbuchtung, worauf ein starker, hinten eckiger, zahnförmiger Fortsatz folgt. Das zweite bis vierte Schwanzsegment hat dorsal eine nicht sehr deutliche Carina. Das zweite Augenpaar liegt an der Spitze der flachen, lateralen Kopfwinkel. Die unteren Antennen haben Körperlänge und sind zwei Mal so lang als die oberen. Die oberen haben eine 24-gliedrige, die unteren eine 27—30-gliedrige Geissel. Der untere Rand des sechsten Gliedes der ersten Gnathopoden ist weniger schräg als bei *A. spinipes* und die ersten und zweiten Gnathopoden sind robuster. Die ersten und zweiten Pereiopoda sind sehr stark behaart. Die fünften Pereiopoda haben ein hinten vollständig gleichmässig abgerundetes zweites Glied und sind am Rande mit wenigen Borsten versehen; das dritte Glied ein wenig länger, fast gleich lang wie das vierte, das fünfte und sechste sind gleich lang und länger als die beiden vorhergehenden.

Bei den ersten und zweiten Uropoden ist das Basalglied gleich den Rami. Die dritten Uropoden ragen über das erste und zweite Paar hervor. Die Rami sind lamellos, breit, der innere ist länger und schmaler als der äussere; der äussere Ramus ist breit und hinten bis auf einen kleinen Zahn an der Spitze abgerundet. Beide Rami mit langen Borsten besetzt. Rami anderthalb Mal so lang als das Basalglied.

Der Schwanzanhang ist fast zwei Mal so lang als breit, über $\frac{3}{4}$ seiner Länge gespalten; beide Hälften unten spitz und mit drei Borsten an der Spitze ausgerüstet. Ausserdem befinden sich noch je eine Borste jederseits von der Spalte auf $\frac{1}{3}$ von der Länge von der Spitze gerechnet.

28. *Byblis gaimardi* Kröyer.

1. R. P. E. 22. VII (3. VIII) 1900; Barents-Meer an der Insel Kolgudjew, Lt. $69^{\circ} 35' N.$, Lg. $50^{\circ} 5' E.$; Tiefe 70 m.; Grund — grauer Schlamm mit Geröll; Dredge; 2 Exemplare (Station 2).

2. R. P. E. 28. VII (10. VIII) 1900; Karisches Meer; westlich von der Insel Belyj, Lt. $72^{\circ} 56' N.$, Lg. $68^{\circ} 15' E.$; Tiefe 20 m.; Grund — grauer flüssiger Schlamm; Dredge; 1 Exemplar (Station 9).

3. R. P. E. 18. (31.) VIII 1900; West-Taimyr, Middendorff-Bai, Lt. $75^{\circ} 54' N.$, Lg. $92^{\circ} 59' E.$; Tiefe 16 m.; Grund — grober Gneissand; Dredge; 2 Exemplare (Station 16).

4. R. P. E. 18. (31.) VIII 1900; ebendaselbst, Lt. $75^{\circ} 54' N.$, Lg. $92^{\circ} 59' E.$; Tiefe 12 m.; Grund — Schlamm mit Sand; Dredge; 2 Exemplare (Station 17).

5. R. P. E. 25. VIII (7. IX) 1900; ebendaselbst Lt. $75^{\circ} 54' N.$, Lg. $92^{\circ} 59' E.$; Oberfläche des Meeres; Planktonnetz; 1 Exemplar (Station 19).

6. R. P. E. 18. (31.) VIII 1901; Taimyr-Golf, Lt. $76^{\circ} 59' 30'' N.$, Lg. $100^{\circ} 19' 30'' E.$; Tiefe 28 m.; Grund — Schlamm mit Geröll; Petersens Trawl; 2 Exemplare (Station 44).

7. R. P. E. 28. VIII (10. IX) 1901; Eismeer nördlich von den Neusibirischen Inseln, Lt. $77^{\circ} 20' 30'' N.$, Lg. $138^{\circ} 47' E.$; Tiefe 38 m.; Grund — Schlamm; 2 Exemplare (Station 50).

8. M. E. 23. VIII 1906; Jugor-Strasse; Tiefe 3—4 m.; Grund — Geröll; 2 Exemplare (Station 1380).

9. M. E. 26. VIII 1906; Jugor-Strasse beim Dorfe Chabarowo; Tiefe 17,5 m.; Grund — Schlamm und Geröll; Bodentemperatur $+2,9^{\circ}$ (Station 1381).

10. Dr. Tschernyshev. 9. VIII 1900; Lt. $69^{\circ}47' N.$, Lg. $60^{\circ}34' E.$; Tiefe 26 m.; Grund — Geröll; 2 Exemplare.

Die hier vorkommende *Byblis gaimardi* weicht ein wenig von der typischen ab. Die dritten Uropoden haben keine Ecke mit der die Zahnung am inneren Ramus anfängt; die fünften Pereiopoda sind stark auf der Fläche des zweiten Gliedes behaart, und haben am vierten Gliede auf dem Hinterrande 6 lange behaarte Borsten.

29. *Haploops tubicola* Lilljeborg.

1. R. P. E. 25. VIII (7. IX) 1900; West-Taimyr, Middendorff-Bai, Lt. $75^{\circ}54' N.$, Lg. $92^{\circ}59' E.$; Oberfläche des Meeres; kleines Planktonnetz; 4 Exemplare (Station 19).

2. R. P. E. 18. (31.) VIII 1901; Golf von Taimyr, Lt. $76^{\circ}59'30'' N.$, Lg. $100^{\circ}19'30'' E.$; Tiefe 28 m.; Grund — Schlamm mit Sand und Geröll; 2 Exemplare (Station 44).

3. R. P. E. 21. VIII (3. IX) 1901; ein wenig nach NO. von der Ost-Taimyr, Lt. $77^{\circ}1' N.$, Lg. $114^{\circ}35' E.$; Tiefe 60 m.; Grund — Schlamm mit Sand; Sigsbee Trawl; 28 Exemplare (Station 46).

4. R. P. E. 28. VIII (10. IX) 1901; Eismeer nördlich von den Neusibirischen Inseln, Lt. $77^{\circ}20'30'' N.$, Lg. $138^{\circ}47' E.$; Tiefe 38 m.; Grund — Schlamm; Sigsbee Trawl; 3 Exemplare (Station 50).

5. R. P. E. 29. VIII (11. IX) 1901; ebendasselbst, bei der Bennett-Insel, Lt. $76^{\circ}34' N.$, Lg. $147^{\circ}22'30'' E.$; Tiefe 39 m.; Grund — Schlamm; Dredge; 2 Exemplare (Station 51).

6. R. P. E. 10. (23.) VIII 1902; am Westufer der Insel Kotelnj, Lt. $75^{\circ}16' N.$, Lg. $136^{\circ}24' E.$; Tiefe 23 m.; Grund — Schlamm; Dredge; 2 Exemplare (Station 63).

7. Dr. Palilov; Barents-Meer, Lt. $70^{\circ}12' N.$, Lg. $52^{\circ}36' E.$; Tiefe 100 m.; Grund — Schlamm.

30. *Haploops laevis* Hoek.

1. R. P. E. 22. VII (3. VIII) 1900; Barents-Meer, an der Insel Kolgudjew, Lt. $69^{\circ}35' N.$, Lg. $50^{\circ}5' E.$; Tiefe 70 m.; Grund — grauer Schlamm mit wenig Geröll; Dredge; 5 Exemplare (Station 2).

2. R. P. E. 30. VII (12. VIII) 1900; Karisches Meer, Jenissej-Busen, Lt. $73^{\circ}27' N.$, Lg. $79^{\circ}15' E.$; Tiefe 40 m.; Grund — flüssiger grauer Schlamm; Sigsbee Trawl; 1 Exemplar (Station 10d).

3. R. P. E. 25. VIII (7. IX) 1900; West-Taimyr, Middendorff-Bai Lt. $75^{\circ}54'N.$; Lg. $92^{\circ}59'E.$; Oberfläche des Meeres; Planktonnetz; 12 Exemplare (Station 19).
4. R. P. E. 21. VIII (3. IX) 1901; Nordenskiöld-Meer; Lt. $77^{\circ}01'N.$, Lg. $114^{\circ}35'E.$, Tiefe 60 m.; Grund — Schlamm mit Geröll; Sigsbee Trawl; 7 Exemplare (Station 46).
5. R. P. E. 24. VIII (6. IX) 1901; ebendasselbst, Lt. $75^{\circ}42'N.$, Lg. $124^{\circ}41'E.$; Tiefe 51 m.; Grund — Schlamm; Sigsbee Trawl; 3 Exemplare (Station 49).
6. R. P. E. 28. VIII (10. IX) 1901; nördlich von den Neusibirischen Inseln, Lt. $77^{\circ}20'30''N.$, Lg. $138^{\circ}47'E.$; Tiefe 38 m.; Grund — Schlamm; 24 Exemplare (Station 50).
7. R. P. E. 25. VII (7. VIII) 1902; Neusibirische Inseln, Westufer der Insel Kotelny, Bucht Nerpalach nördlich vom Südcap; Tiefe 11 m.; Grund — reiner grauer Schlamm; Dredge; 2 Exemplare (Station 59).
8. R. P. E. 11. (24.) VIII 1902; ebendasselbst, 20 Meilen südlich von der Bunge-Land, Lt. $74^{\circ}34'N.$, Lg. $141^{\circ}30'E.$; Grund — flüssiger Schlamm mit Sand und Steinen; Tiefe 20 m.; Trawl; 3 Exemplare (Station 64).
9. R. P. E. 15. (28.) VIII 1902; südlich von der Insel Neusibirien, Lt. $74^{\circ}27'N.$, Lg. $150^{\circ}55'E.$; Tiefe 12 m.; Grund — Schlamm mit Sand; Dredge; 18 Exemplare (Station 68).
10. R. P. E. 20. VIII (2. IX) 1902; ebendasselbst, Lt. $74^{\circ}13'N.$, Lg. $151^{\circ}36'E.$; Tiefe 11 m.; Grund — Sand mit wenig Schlamm; Trawl; 11 Exemplare (Station 73).
11. R. P. E. 24. VIII (6. IX) 1902; Nordenskiöldmeer, südlich von der Insel Stolbovoj (Neusibirische Inseln), Lt. $72^{\circ}56'N.$, Lg. $135^{\circ}13'E.$; Tiefe 17 m.; Grund — Schlamm; Trawl; 2 Exemplare (Station 76).
12. M. E. 1. IX 1906; Barentsmeer, Lt. $70^{\circ}15'N.$, Lg. $52^{\circ}10'E.$; Tiefe 102 m.; Grund — Sand mit Schlamm; Bodentemperatur $+0,16^{\circ}$ (Station 1397).
13. Dr. Palilov; ebendasselbst, Lt. $70^{\circ}12'N.$, Lg. $52^{\circ}36'E.$; Grund — Schlamm; Tiefe 100 m.

Einige Krebse dieser Art hatten einen fast ganz unbehaarten Rücken; doch haben alle die sehr deutliche Krümmung auf der Dorsalseite des Kopfes, die einen stumpfen Winkel bildet.

Fam. **Haustoriidae.**

32. Pontoporeia femorata Kröyer.

1. R. P. E. 22. VII (3. VIII) 1900; Barents-Meer an der Insel Kolgudjew, Lt. $69^{\circ}35'N.$, Lg. $50^{\circ}5'E.$; Tiefe 70 m.; Grund — grauer Schlamm mit einigen kleinen Steinen; Dredge; 2 Exemplare (Station 2).
2. R. P. E. 15. (28.) VIII 1902; Neusibirische Inseln, südlich von der Insel Neusibirien, Lt. $74^{\circ}27'N.$, Lg. $150^{\circ}55'E.$; Grund — Schlamm mit Sand; Tiefe 12 m.; 2 Exemplare (Station 68).
3. R. P. E. September 1903; Insel Kotelny, Michailow-Stan; Dredge; 3 Exemplare.

33. Pontoporeia affinis Lindstr.

1. R. P. E. 30. VII (12. VIII) 1900; Karisches Meer, Dickson-Hafen auf der Insel Kuskonur; Tiefe von 4—9 m.; Grund — sandiger grauer Schlamm; äusserst zahlreich; Dredge (Station 11).

Die hier erbeuteten Krebse sind sehr gross und weisen einen ein wenig abweichenden Bau auf. Die Antennen sind verhältnismässig länger, die Stielglieder weniger dick und die Geisseln weniger behaart. Die Uropoden haben längere Rami. Die Augenform ist eher der von *P. femorata* ähnlich.

Fam. **Phoxocephalidae.****34. Harpinia mucronata** G. O. Sars.

1. R. P. E. 18. (31.) VIII 1901; Taimyr-Golf; Lt. $76^{\circ}59'30''$ N., Lg. $100^{\circ}19'30''$ E.; Tiefe 28 m.; Grund — Schlamm mit Steinen und Sand; 1 Exemplar (Station 44).

Fam. **Metopidae.****35. Metopa spitzbergensis** Brüggem.

Taf. I, Fig. 2 und Taf. III, Fig. 20.

1. R. P. E. 28. VIII (10. IX) 1901; Eismeer nördlich von den Neusibirischen Inseln, Lt. $77^{\circ}20'30''$ N., Lg. $138^{\circ}47'$ E.; Tiefe 38 m.; Grund — Schlamm; Sigsbee Trawl; 7 Exemplare (Station 50).

Die hier erbeuteten Exemplare stimmen vollkommen mit denen aus Spitzbergen überein. Diese Art scheint eine reine Kaltwasserform zu sein, da sie auch in Spitzbergen auf einer Kaltwasserstation getroffen wurde.

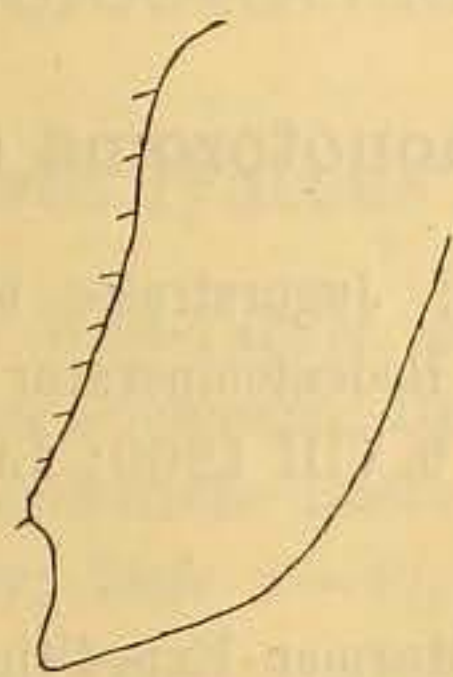


Fig. 3. Zweite Seitenplatte von *M. spitzbergensis*.

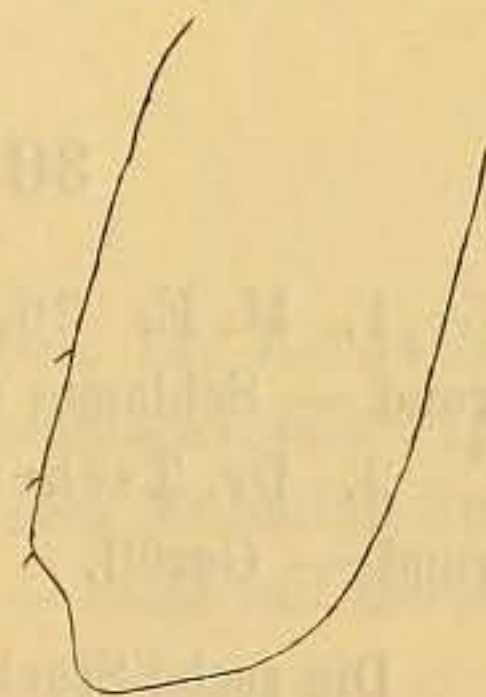


Fig. 4. Dritte Seitenplatte von *M. spitzbergensis*.

36. *Metopa propinqua* G. O. Sars.

Taf. III, Fig. 21.

1. M. E. 30. VIII 1906; Barentsmeer, Lt. $70^{\circ} 18' N.$, Lg. $57^{\circ} 56' E.$; Tiefe 153 m.; Grund — Schlamm mit Sand; Bodentemperatur $-1,63^{\circ}$; 15 Exemplare (Station 1393).

Einige der vorliegenden Krebse sind Männchen, welche einen ein wenig abweichenden Bau der zweiten Gnathopoden aufweisen. Der untere Rand des sechsten Gliedes hat einen viel stärkeren zahnförmigen Fortsatz an seiner hintersten Ecke, dem eine tiefe Einbuchtung folgt. Der schräge Unterrand ist gezahnt. Das fünfte Glied ist an seinem Vorderrande sehr fein gesägt. Die Antennen sind länger, ungefähr $\frac{2}{3}$ der Körperlänge; Geißel der ersten Antenne 12-gliedrig, der zweiten 7-gliedrig. Länge des ♂ 3,5 mm.

37. *Metopa leptocarpa* G. O. Sars.

1. R. P. E. 22. VIII (4. IX) 1901; Nordenskiöldmeer gegenüber der Chatanga-Bucht, Lt. $75^{\circ} 38' N.$, Lg. $114^{\circ} 11' E.$; Tiefe 19 m.; Grund — Geröll und feiner grauer Sand; Sigsbee Trawl; 1 Exemplar (Station 47).

Nur ein weibliches, eierträchtiges Exemplar dieser seltenen und interessanten Art wurde erbeutet. Sars beschreibt diese Art nur nach einem Exemplar aus Norwegen, Christiansund, und das Vorkommen dieser Art im kalten Polarmeere ist bemerkenswert. Diese Art ist sehr leicht mit Sicherheit zu bestimmen, weil der höchst originelle Bau der ersten Gnathopoden ein gutes Merkmal giebt.

Grösse des ♀ — 2,5 mm.

Fam. *Acanthonotozomatidae*.**38. *Acanthonotozoma serratum* O. Fabr.**

1. M. E. 26. VIII 1903; Jugorstrasse beim Dorfe Chabarowo; Tiefe 17,5 m.; Grund — Schlamm und Geröll; Bodentemperatur $+2,9^{\circ}$; 6 Exemplare (Station 1381).

2. Dr. Tschernyshev. 9. VIII 1900; Lt. $69^{\circ} 47' N.$, Lg. $60^{\circ} 34' E.$; Tiefe 26 m.; Grund — Geröll.

Die sechs Stücke von der Murman-Expedition erbeuteten sind alle klein, obgleich sie ausgewachsen zu sein scheinen; ihre Grösse beträgt 8,5 mm. Der obere Fortsatz der dritten Epimerenplatte ist ebenso wie der untere gesägt und hat 3—5 Zähnchen.

39. Acanthonotozoma cristatum J. C. Ross.

1. Dr. Tschernyshev. 26. VIII 1900; Lt. $69^{\circ}55'N.$, Lg. $60^{\circ}55'E.$; Tiefe 91 m.; Grund — Schlamm; 1 Exemplar.

40. Acanthonotozoma inflatum Kröyer.

1. R. P. E. 18. (31.) VIII; West-Taimyr, Middendorff-Bai, Lt. $75^{\circ}54'N.$, Lg. $92^{\circ}59'E.$; Tiefe 16 m.; Grund — grober Gneissand; Dredge; 2 Exemplare (Station 16).

2. R. P. E. 24. VIII (6. IX) 1901; Nordenskiöldmeer, Lt. $75^{\circ}42'N.$, Lg. $124^{\circ}41'E.$; Tiefe 51 m.; Grund — Schlamm; Sigsbee Trawl; 3 Exemplare (Station 49).

Fam. **Lilljeborgiidae.****41. Lilljeborgia fissicornis** M. Sars.

1. R. P. E. 28. VIII (10. IX.) 1901; Eismeer nördlich von der Neusibirischen Inseln, Lt. $77^{\circ}20'30''N.$, Lg. $138^{\circ}47'E.$; Tiefe 38 m.; Grund — Schlamm; Sigsbee Trawl; 2 Exemplare (Station 50).

Der dorsale zahnförmige Fortsatz des dritten Schwanzsegments fehlt oder ist äusserst klein, und der spitze Fortsatz der dritten Epimeren ist viel länger und spitzer als bei Exemplaren aus Norwegen und von der Murmanküste. Länge 11—12 mm.

Fam. **Oedicerotidae.****42. Paroediceros lynceus** M. Sars.

1. R. P. E. 18. (31.) VIII 1900; West-Taimyr, Middendorff-Bai, Lt. $75^{\circ}54'N.$, Lg. $92^{\circ}59'E.$; Tiefe 16 m.; Grund — grober Gneissand; Dredge; 20 Exemplare (Station 16).

2. R. P. E. 4. (17.) IX 1903; Neusibirische Inseln, gegenüber dem Michailow-Stan am südwestlichen Ufer der Insel Kotelny; Tiefe $3-4\frac{1}{2}$ m.; Grund — Sand mit Geröll; Trawl (Station 77).

3. M. E. 3. VIII 1906; Barentsmeer, Lt. $69^{\circ}4'N.$, Lg. $40^{\circ}16'E.$; Tiefe 90 m.; Grund — Sand; Bodentemperatur $+3,5^{\circ}$; 2 Exemplare (Station 1403).

4. Dr. Palilov. 14. VIII 1903; ebendasselbst, Lt. $70^{\circ} 12' N.$, Lg. $52^{\circ} 36' E.$; Tiefe 100 m.; Boden — Schlamm; Bodentemperatur $-1,9^{\circ}$; Trawl; 1 Exemplar.

5. Dr. Palilov. 1903; ebendasselbst, Lt. $72^{\circ} 32' N.$, Lg. $49^{\circ} 16' E.$; Boden — Schlamm; Tiefe 140 m.; 2 Exemplare.

43. *Monoculodes borealis* Boeck.

1. M. E. 3. VIII 1906; Barentsmeer, Lt. $69^{\circ} 4' N.$, Lg. $40^{\circ} 16' E.$; Tiefe 90 m.; Grund — Sand; Bodentemperatur $+3,5^{\circ}$ (Station 1403).

Zwei Exemplare dieser Art wurden erbeutet, die in einiger Hinsicht mehr dem *M. schneideri* ähnlich sind. Der Fortsatz des vorletzten Gliedes der ersten wie auch zweiten Gnathopoden reicht nämlich über den undeutlich abgegrenzten Unterrand des sechsten Gliedes hinaus. Doch sind die Augen nicht so gross und nicht vorstehend. Das letzte Glied der zweiten Gnathopoden ist lang und schlank wie es für *M. borealis* charakteristisch ist, auch weisen sie die sehr eigentümliche Kopfzeichnung auf. Grösse — 10,5 mm., vom Rostrum bis zu den Enden der dritten Uropoden gemessen.

44. *Monoculodes longirostris* Goes.

1. M. E. 2. IX 1906; Barentsmeer, Lt. $69^{\circ} 21' N.$, Lg. $43^{\circ} 56' E.$; Tiefe 65 m.; Grund — Sand; Bodentemperatur $+3,06^{\circ}$ (Station 1402).

45. *Monoculodes tuberculatus* Boeck.

1. M. E. 2. IX 1906; Barentsmeer, Lt. $70^{\circ} 9' N.$, Lg. $48^{\circ} 26' E.$; Tiefe 53 m.; Bodentemperatur $+0,8^{\circ}$; Grund — Sand; 1 Exemplar (Station 1400).

46. *Aceroides latipes* G. O. Sars.

1. R. P. E. 6. (19.) VIII 1900; Karisches Meer beim Ostufer nördlich von den Pjassina-Busen, Lt. $74^{\circ} 28' N.$, Lg. $83^{\circ} 33' E.$; Tiefe 52 m.; Grund — flüssiger gelber und grauer Schlamm; Dredge; 1 Exemplar (Station 12d).

2. R. P. E. 28. VIII (10. IX) 1901; Eismeer nördlich von Neusibirischen Inseln, Lt. $77^{\circ} 20' 30'' N.$, Lg. $138^{\circ} 47' E.$; Tiefe 38 m.; Grund — Schlamm; Sigsbee Trawl; 5 Exemplare (Station 50).

3. R. P. E. September 1903; Neusibirische Inseln, Insel Kotelny, Michailov-Stan; Dredge; 2 Exemplare (Station 78).

47. Arrhis phyllonyx M. Sars.

1. R. P. E. 28. VIII (10. IX) 1901; Eismeer nördlich von Neusibirischen Inseln, Lt. $77^{\circ} 20' 30''$ N., Lg. $138^{\circ} 47'$ E.; Grund — Schlamm; Tiefe 38 m.; Sigsbee Trawl; 7 Exemplare (Station 50).

Die hier erbeuteten Exemplare unterscheiden sich ziemlich stark von den westlichen. Der Kopf hat ausser dem abgerundeten lateralen Winkel noch einen zweiten, der den vorderen unteren abgerundeten Kopfwinkel bildet, wodurch der Kopf eine viereckige Form bekommt. Die dritte Seitenplatte ist unten stärker eingebuchtet. Der obere Teil des zweiten Gliedes der vierten Pereiopoda ist stärker verbreitert, während der untere im Verhältnis schmaler ist. Die Art erreicht hier eine Grösse bis zu 30 mm.

48. Acanthostepheia malmgreni Goës.

1. R. P. E. 26. VII (8. VIII) 1900; Karisches Meer, Südtheil des Meeres am Jugorskij-Schar, Lt. 70° N., Lg. 63° E.; Tiefe 105 m.; Grund — flüssiger grauer Schlamm; Trawl; 3 Exemplare (Station 5).

2. R. P. E. 30. VII (12. VIII) 1900; Karisches Meer, Jenissej-Busen, Lt. $73^{\circ} 27'$ N., Lg. $79^{\circ} 15'$ E.; Tiefe 40 m.; Grund — flüssiger grauer Schlamm; 44 Exemplare (Station 10 d).

3. R. P. E. 13. (26.) VIII 1900; Karisches Meer am Ostufer beim Cap Sterlegov, Lt. $75^{\circ} 49'$ N., Lg. $89^{\circ} 35'$ E.; Tiefe 38 m.; Grund — Schlamm; Sigsbee Trawl; 46 Exemplare (Station 14 c).

4. R. P. E. 9. (22.) IX 1900; West-Taimyr, Kolomejtzew-Bucht, Lt. $76^{\circ} 8'$ N., Lg. $93^{\circ} 50'$ E.; Tiefe 24 m.; Grund — Geröll; 1 Exemplar (Station 25).

5. R. P. E. 14. (27.) VIII 1901; Nordküste der West-Taimyr am NW.-Ufer der Nansen-Insel; Tiefe 28 m.; Grund — blauer und sandiger, steiniger Schlamm; kl. Sigsbee-Trawl; 4 Exemplare (Stationen 41 und 42).

6. R. P. E. 18. (31.) VIII 1901; Taimyr-Golf, Lt. $76^{\circ} 59' 30''$ N., Lg. $100^{\circ} 19' 30''$ E.; Tiefe 28 m.; Grund — Schlamm; Petersens Trawl; 4 Exemplare (Station 44).

7. R. P. E. 21. VIII (3. IX) 1901; Nordenskiöld-Meer, Lt. $77^{\circ} 1'$ N., Lg. $114^{\circ} 35'$ E.; Tiefe 60 m. Grund — Schlamm mit Geröll; 22 Exemplare (Station 46).

8. R. P. E. 22. VIII (4. IX) 1901; ebendasselbst, gegenüber der Chatanga-Bucht; Lt. $75^{\circ} 38'$ N., Lg. $114^{\circ} 11'$ E.; Tiefe 19 m.; Grund — Geröll und grauer feiner Sand; 1 Exemplar (Station 47).

9. R. P. E. 28. VIII (10. IX) 1901; Eismeer nördlich von den Neusibirischen Inseln, Lt. $77^{\circ} 20' 30''$ N., Lg. $138^{\circ} 47'$ E.; Tiefe 38 m.; Grund — Schlamm; Sigsbee Trawl; 18 Exemplare (Station 50).

10. R. P. E. 30.VIII(13. IX) 1901; dortselbst bei der Bennett-Insel, Lt. $76^{\circ} 37' N.$, Lg. $147^{\circ} 27' E.$; Tiefe 42 m.; Grund — flüssiger Schlamm; Sigsbee Trawl; 9 Exemplare (Station 52).
11. R. P. E. 1. (14.) IX 1901; ebendasselbst, Lt. $77^{\circ} 10' N.$, Lg. $142^{\circ} 48' E.$; Tiefe 35 m.; Grund — sandiger Schlamm; 1 Exemplar (Station 53).
12. R. P. E. 27. VII (9. VIII) 1902; Neusibirische Inseln, südlich vom Cap Walter, Westufer der Insel Kotelny, $1\frac{1}{2}$ Meilen vom Ufer; Tiefe 16 m.; Trawl; Grund — Schlamm; 10 Exemplare (Station 60).
13. R. P. E. 1. (14.) VIII 1902; ebendasselbst, Südwestufer der Insel Kotelny, 3 Meilen vom Ufer; Tiefe 20 m.; Grund — zäher Schlamm; 5 Exemplare (Station 61).
14. R. P. E. 11. (24.) VIII 1902; ebendasselbst, 20 Meilen südlich von der Bunge-Land, Lt. $74^{\circ} 34' N.$, Lg. $141^{\circ} 30' E.$; Tiefe 20 m.; Grund — flüssiger Schlamm mit Sand und Steinen; 6 Exemplare (Station 64).
15. R. P. E. 22.VIII (4. IX) 1902; ebendasselbst, Sannikov-Strasse, Lt. $74^{\circ} 25' N.$, Lg. $138^{\circ} 17' E.$; Tiefe 18,75 m.; Grund — Schlamm mit Sand; Dredge; 2 Exemplare (Station 74).
16. R. P. E. 24. VIII (6. IX) 1902; südlich von der Insel Stolbovoj, Lt. $72^{\circ} 56' N.$, Lg. $135^{\circ} 13' E.$; Tiefe 17 m.; Grund — Schlamm; Trawl; 2 Exemplare (Station 76).
17. R. P. E. 12. (25.) VIII 1902; ebendasselbst, südlich von der Faddejev-Insel, Lt. $74^{\circ} 36' 30'' N.$, Lg. $146^{\circ} 30' E.$; Tiefe 12 m.; Trawl; Grund — sandiger Schlamm; 1 Exemplar (Station 65).
18. Dr. Palilov; 22. VIII 1904; Karisches Meer, Lt. $72^{\circ} 4' N.$, Lg. $68^{\circ} 17' 30'' E.$; Grund — Schlamm; Tiefe 24 m.; Bodentemperatur $-1,3^{\circ}$; Sigsbee Trawl; 1 Exemplar.
19. Dr. Palilov; 27. VIII 1901; Novaja-Zemlja, Matotschkin-Schar, Lt. $73^{\circ} 35' N.$, Lg. $55^{\circ} E.$; Tiefe 97 m.; Bodentemperatur $+0,5^{\circ}$; 2 Exemplare.
20. Dr. Palilov; 26. VIII 1902; Karisches Meer, Lt. $69^{\circ} 48' N.$, Lg. $63^{\circ} 52' E.$; Tiefe 45 m.; Grund — Schlamm; Bodentemperatur $-1,0^{\circ}$; 6 Exemplare.
21. Dr. Tschernyshev; 25. VIII 1900; Karisches Meer, Lt. $70^{\circ} 6' N.$, Lg. $60^{\circ} 38' 30'' E.$; Tiefe 205 m.; Grund — flüssiger Schlamm; 4 Exemplare.
22. Dr. Palilov; 27. VIII 1902; Karisches Meer, Lt. $70^{\circ} 7' N.$, Lg. $60^{\circ} 24' E.$; Tiefe 175 m.; Grund — Schlamm; Bodentemperatur $-0,7^{\circ}$; 5 Exemplare.
23. Dr. Palilov; 24. VIII 1901; Karisches Meer, Lt. $73^{\circ} 13' N.$, Lg. $56^{\circ} 52' E.$; Tiefe 126 m.; Grund — Schlamm; Bodentemperatur $-1,0^{\circ}$; Trawl; 2 Exemplare.
24. Dr. Palilov; 4. VIII 1903; Karisches Meer, Lt. $70^{\circ} 12' N.$, Lg. $52^{\circ} 36' E.$; Tiefe 100 m.; Grund — Schlamm; Bodentemperatur $-1,9^{\circ}$; 1 Exemplar.
25. Dr. Palilov; 27. VIII 1902; Karisches Meer, Lt. $70^{\circ} 7' N.$, Lg. $60^{\circ} 24' E.$; Grund — Schlamm; Tiefe 145 m.; Bodentemperatur $-0,7^{\circ}$; Sigsbee-Trawl; 1 Exemplar.
26. Dr. Tschernyshev; 8. VIII 1900; Karisches Meer, Lt. $70^{\circ} N.$; Lg. $61^{\circ} E.$; Boden — Schlamm; Tiefe 190 m.; 1 Exemplar.

27. Dr. Palilov; 25. VIII 1902; Karisches Meer, Lt. $69^{\circ} 30' N.$, Lg. $63^{\circ} 17' E.$; Grund — Schlamm; Tiefe 28 m.; Bodentemperatur $-1,1^{\circ}$; 3 Exemplare.

28. Dr. Palilov; 1. VIII 1903; Barentsmeer bei Novaja Zemlja, Lt. $71^{\circ} 14' N.$, Lg. $50^{\circ} 58' E.$; Tiefe 140 m.; Bodentemperatur $-1,7^{\circ}$; 2 Exemplare.

29. M. E. 27. VIII 1906; Karisches Meer, Lt. $70^{\circ} 39' N.$, Lg. $59^{\circ} 20' E.$; Tiefe 191 m.; Grund — Schlamm; Bodentemperatur $-1,75^{\circ}$ (Station 1385).

30. M. E. 26. VIII 1906; Lt. $70^{\circ} 8' N.$, Lg. $61^{\circ} 14' E.$; Tiefe 235 m.; Grund — Schlamm; Bodentemperatur $-1,68^{\circ}$ (Station 1384).

49. *Acanthostephea behringiensis* Lockington.

1. R. P. E. 24. VII (6. VIII) 1900; Barents-Meer gegenüber dem Jugorskij-Schar, Lt. $69^{\circ} 37' N.$, Lg. $56^{\circ} 43' E.$; Tiefe 30 m.; Grund — feiner Sand; Sigsbee-Trawl; 3 Exemplare (Station 3).

2. R. P. E. 13. (26.) VIII 1902; Neusibirische Inseln, der südliche Teil der Blagoweschtschenskij-Strasse; Tiefe 13 m.; Grund — Sand; Dredge; 1 Exemplar (Station 66).

3. R. P. E. 4. (17.) IX 1903; ebendasselbst, am südwestlichen Ufer der Insel Kotelny; Tiefe $3-4\frac{1}{2}$ m.; Grund — Sand und Geröll; 2 Exemplare (Station 77).

4. R. P. E. 14. (27.) IX 1903; Insel Kotelny, $1\frac{1}{2}$ Meilen vom Ufer entfernt, gegenüber dem Michailov-Stan; Tiefe 4—6 m.; Grund — sandiger Schlamm; Trawl; 1 Exemplar (Station 78).

5. Dr. Palilov; Barentsmeer, Lt. $68^{\circ} 52' N.$, Lg. $48^{\circ} 12' E.$; Petersens Trawl; Tiefe 60 m.; 2 Exemplare.

6. Dr. Palilov; 25. VIII 1901; Karisches Meer, Lt. $73^{\circ} 3' 30'' N.$, Lg. $52^{\circ} 45' E.$; Tiefe 46 m.; Grund — Schlamm; Bodentemperatur $-2,6^{\circ}$; Dredge; 6 Exemplare.

50. *Halirages fulvocinctus* M. Sars.

1. R. P. E. 6. (19.) VIII 1900; Karisches Meer, beim Ostufer nördlich von der Pjassina-Mündung, Lt. $74^{\circ} 28' N.$, Lg. $83^{\circ} 33' E.$; Tiefe 52 m.; Grund — flüssiger graugelber Schlamm; Dredge; 1 Exemplar (Station 12d).

2. Dr. Tschernyshev; 4. VIII 1900; ebendasselbst, Jugorskij-Schar; Tiefe 16 — 18 m.; Grund — Geröll; 2 Exemplare.

3. M. E. 3. IX 1906; Barentsmeer, Lt. $69^{\circ} 4' N.$, Lg. $40^{\circ} 16' E.$; Tiefe 90 m.; Grund — Sand; Bodentemperatur $+3,5^{\circ}$ (Station 1403).

51. *Haliragoides inermis* G. O. Sars.

1. Dr. Tschernyshev; Barentsmeer, Lt. $70^{\circ} 6' N.$, Lg. $60^{\circ} 38' 30'' E.$; Tiefe 205 m.; Grund — Schlamm; 1 Exemplar.

Nur ein Exemplar dieser Art ist erbeutet worden, und auch dieses sehr stark beschädigt. Die Antennen fehlen und der Rumpf ist in der Mitte entzweigebrochen, doch weist es alle Merkmale dieser Art auf. Sars führt als Verbreitungsgebiet nur die Küsten Norwegens an und das Vorkommen dieser Art im kalten Karischen Meere ist interessant. Grösse — ca. 18 mm.

52. *Apherusa megalops* G. O. Sars.

1. R. P. E. 18. VIII (31.) VIII 1900; West-Taimyr, Middendorff-Bai, Lt. $75^{\circ} 54' N.$, Lg. $92^{\circ} 59' E.$; Tiefe 9—12 m.; Grund — grober Gneissand; 5 Exemplare; Dredge (Station 15).

2. R. P. E. 18. VIII (31.) 1900; ebendasselbst; Tiefe 16 m.; Grund — grober Gneissand; Dredge; 1 Exemplar (Station 16).

53. *Apherusa tridentata* Bruz.

Dr. Palilov; Barentsmeer, Lt. $72^{\circ} 32'$ — Lg. $49^{\circ} 16' E.$

Der hier erbeutete Krebs mit ungewöhnlich grossen Augen weist dieselben Abweichungen im Bau der dritten Epimerenplatten und des Schwanzanhangs auf, die von mir bei Exemplaren von der Murmanküste angegeben worden sind. Diese Merkmale scheinen also constant zu sein und vielleicht ist dieses eine neue Unterart oder sogar Art, die sich im Barents-Meere von der westlichen, typischen, *A. tridentata* abgesondert hat. Leider sind beide Exemplare, die mir vorliegen, sehr stark beschädigt, so dass ich noch kein entgeltiges Urteil fällen kann.

54. *Apherusa glacialis* Hansen.

1. R. P. E. 27. VII (9. VIII) 1900; Karisches Meer, Lt. $71^{\circ} 36' N.$, Lg. $65^{\circ} 36' E.$; Brutnetz von 150 m. bis zur Oberfläche; 1 Exemplar (Station 7).

2. R. P. E. 30. VII (12. VIII) 1900; Karisches Meer, Jenissej-Busen, Lt. $73^{\circ} 27' N.$, Lg. $79^{\circ} 15' E.$; Brutnetz von 25 m. bis zur Oberfläche; Station 10—1 Exemplar von 11 mm. Länge und Station 10b ebenfalls 1 Exemplar.

3. R. P. E. 6. (19. VIII) 1900; Karisches Meer gegenüber Minin-Bai, Lt. $74^{\circ} 28' N.$, Lg. $83^{\circ} 33' E.$; Brutnetz von 50 m. bis zur Oberfläche; 1 Exemplar (Station 12).

4. R. P. E. 6. (19.) VIII 1900; dortselbst. Brutnetz von 25 m. bis zur Oberfläche; 1 Exemplar (Station 12 a).

5. R. P. E. 6. (19.) VIII 1900; dortselbst. Brutnetz von 50 m. bis zur Oberfläche; 1 Exemplar (Station 12 c).

6. R. P. E. 3. (16.) IX 1900; West-Taimyr, Middendorff-Bai, Lt. $75^{\circ} 54' N.$, Lg. $92^{\circ} 59' E.$; Oberflächenfang mit dem Planktonnetz; 2 Exemplare (Station 20).

7. R. P. E. 3. (16.) IX 1900; Nordufer der West-Taimyr, «Sarja»-Hafen, Lt. $76^{\circ} 8' N.$, Lg. $95^{\circ} 6' 30'' E.$; Brutnetz von 18 m.; 1 Exemplar (Station 30).

8. R. P. E. 19. VIII (1. IX) 1901; beim Cap Tscheliuskin; Lt. $77^{\circ} 46' 30'' N.$, Lg. $105^{\circ} 11' E.$; Brutnetz von 200 m. bis zur Oberfläche; 1 Exemplar (Station 45).

9. R. P. E. 29. VIII (11. IX) 1901; bei der Bennett-Insel, Lt. $76^{\circ} 34' N.$, Lg. $147^{\circ} 22' 30'' E.$; Brutnetz aus der Tiefe von 15 m.; 1 Exemplar (Station 51 b).

10. R. P. E. 1. (14.) IX 1901; Eismeer nördlich von den Neusibirischen Inseln, Lt. $77^{\circ} 10' N.$, Lg. $142^{\circ} 48' E.$; Brutnetz aus einer Tiefe von 15 m.; 2 Exemplare (Station 53 b).

11. R. P. E. 10. (23.) VIII 1902; Westufer der Insel Kotelny, Lt. $75^{\circ} 16' N.$, Lg. $136^{\circ} 24' E.$; Brutnetz aus einer Tiefe von 10 m.; 6 Exemplare (Station 63 b).

12. R. P. E. 18. (31.) VIII 1902; nach NW. von Neu-Sibirien, Lt. $75^{\circ} 22' N.$, Lg. $151^{\circ} 15' E.$; Brutnetz; Tiefe von 8,5 und 13,5 m. bis zur Oberfläche; 5 Exemplare (Station 71 c und 71 b).

13. R. P. E. 23. VIII (5. IX) 1902; bei der Insel Stolbovoj, Lt. $74^{\circ} 18' 45'' N.$, Lg. $136^{\circ} 35' E.$; Brutnetz aus einer Tiefe von 15 m.; 2 Exemplare (Station 75 b).

14. R. P. E. 23. VIII (5. IX) 1902; dortselbst, Brutnetz aus einer Tiefe von 22 m.; 1 Exemplar (Station 75 c).

Die inneren Kauladen der ersten Maxillen haben 8 Borsten. Die Kieferfüsse haben an den inneren Kauladen zu je 4 Zähnen. Diese Art scheint meistens pelagisch zu leben, da sie meistens im Plankton erbeutet worden ist.

55. *Cleipiddes quadricuspis* Heller.

1. R. P. E. 18. (31.) VIII 1901; Taimyr-Golf; Lt. $76^{\circ} 59' 30'' N.$, Lg. $100^{\circ} 19' 30'' E.$; Tiefe 28 m.; Grund — Schlamm mit Geröll; Petersens-Trawl; 2 Exemplare (Station 44).

2. Dr. Palilov 24. VIII 1901; Karisches Meer, Lt. $74^{\circ} N.$, Lg. $57^{\circ} 50' E.$; Tiefe 180 m.; Grund — Schlamm; Bodentemperatur $-1,5^{\circ}$; Sigsbee-Trawl; 1 Exemplar.

56. *Pleustes panoplus* Kröyer (*P. cataphractus* Stimps.).

1. R. P. E. 22. VIII (4. IX) 1901; Nordenskiöldmeer gegenüber dem Chatanga-Busen, Lt. $75^{\circ} 38' N.$, Lg. $114^{\circ} 11' E.$; Tiefe 19 m.; Grund — Steine und grauer feiner Sand; 5 Exemplare (Station 47).

2. R. P. E. 28. VIII (10. IX) 1901; Eismeer nördlich von den Neusibirischen Inseln, Lt. $77^{\circ} 20' 30''$ N., Lg. $138^{\circ} 47'$ E.; Tiefe 38 m.; Grund — Schlamm; 1 Exemplar (Station 50).

3. R. P. E. 1. (14.) IX; ebendasselbst, Lt. $77^{\circ} 10'$ N., Lg. $142^{\circ} 48'$ E.; Tiefe 35 m.; Grund — Steine; 1 Exemplar (Station 53).

4. R. P. E. 2. (15.) VII 1902; Neusibirische Inseln, 25 Meilen nördlich vom Eingange in die Nerpalach-Bucht, Insel Kotelny; Trawl; 1 Exemplar (Station 55).

5. R. P. E. 15. (28.) VII 1902; ebendasselbst, am Eingange in die Nerpalach-Bucht; Netz (Station 58).

Die von der Expedition erbeutete *Pleustes*-Art bestimmte ich anfangs als *P. cataphractus* Stimps., da sie 5 Höckerreihen am 6-ten und 7-ten Körpersegment hat. Es fiel mir aber gleich auf, dass bei einigen die mittleren Höcker des 6 Segments fehlten und andere einen Höcker sogar auf dem fünften Segmente hatten. Jetzt ist der Hauptunterschied des *P. panoplus* von *P. cataphractus* gerade das Vorhandensein von fünf Höckerreihen auf dem 6-ten und 7-ten Segmente bei *P. cataphractus*, während *P. panoplus* nur 3 Höckerreihen besitzt. Der Vergleich mit Exemplaren aus anderen Meeren, der Murmanküste und aus Spitzbergen, zeigten, dass bei ihnen (ich hatte sie als *P. panoplus* bestimmt) fast immer ein ganz kleiner mittlerer Zahn am siebenten Segment zu finden ist und bei einigen Exemplaren aus Spitzbergen sogar auch am sechsten. Ferner zeichnet auch Buchholz fünf Höckerreihen am sechsten und siebenten Segmente, die Stebbing aber doch (im «Tierreich») als *P. panoplus* ansieht. Es will mir scheinen, dass man hier alle Übergangsformen von *P. panoplus* zu dem sogenannten *P. cataphractus* hat und sogar bis zu einer Form, die noch weiter gegangen ist als der letzte, die wie oben erwähnt fünf Höckerreihen am 5-ten Segment hat. Hand in Hand geht damit auch die Umbildung der mittleren Höcker des 4-ten Schwanzsegments, die, indem sie grösser auch lamellös werden, wie es für den *Pl. cataphractus* beschrieben wird. Aus allen diesen Gründen halte ich den *P. cataphractus* für eine stärker bestachelte Form des *P. panoplus*, der in den arctischen Meeren eine stärkere, in wärmeren eine schwächere Bestachelung hat, wie es ja auch für andere Krebse bekannt ist. Man kann vielleicht 3 geographische Varietäten aufstellen, was mir jedoch nicht durchführbar erscheint. Jedenfalls kann man sagen, dass in Norwegen der typische *Pl. panoplus*, im Barentsmeere und Spitzbergen dieser sowie die Übergangsform von *Pl. panoplus* und *P. cataphractus*, im Karischen Meere die Übergangsform und der typische *cataphractus* und endlich im Sibirischen Meere selten die Übergangsform, der typische *Pl. cataphractus* und endlich die in ihrer Bestachelung noch weitergegangene Form des *Pleustes* vorkommt.

Ebenso halte ich den *P. tuberculatus*, *medius* und *P. occidentalis* für locale Abweichungen und Alterstufen des *P. panoplus*.

Aber nicht nur in der Form scheint diese Art zu variieren, sondern auch die Farbe ist sehr veränderlich. Während Exemplare aus Norwegen und dem Barentsmeere eine bräunliche Fleckenfärbung haben, ist die Färbung von einigen Exemplaren aus dem Sibirischen

Meere, nach einem Aquarell Herrn A. A. Birula's zu urteilen, ganz verschieden. Der allgemeine Ton des Körpers ist rosa, die Antennen violett, das dritte und vierte Körpersegment ist ebenfalls violett pigmentiert. Die Beine sind an der proximalen Hälfte des fünften Gliedes rot gefärbt. Ausserdem sind auf den ersten bis dritten Seitenplatten, den Beinen und auch auf dem Körper violette Pigmentzellen zerstreut.

57. *Neopleustes pulchellus* Kroyer.

1. M. E. 30.VIII 1906; Karisches Meer, Lt. $70^{\circ} 18' N.$, Lg. $57^{\circ} 56' E.$; Tiefe 153 m.; Grund — Sandiger Schlamm; Bodentemperatur $-1,63^{\circ}$; 1 Exemplar (Station 1393).

Fam. Paramphitoidae.

58. *Paramphitoe cuspidata* Lepechin.

1. R. P. E. 13. (26.) VIII 1900; Karisches Meer, nördlich von Jenissej-Busen, Lt. $75^{\circ} 49' N.$, Lg. $89^{\circ} 35' E.$; Tiefe 38 m.; Grund — Schlamm; Sigsbee-Trawl; 2 Exemplare (Station 14c).

2. R. P. E. 18. (31.) VIII 1900; West-Taimyr, Middendorff-Bai, Lt. $75^{\circ} 54' N.$, Lg. $92^{\circ} 59' E.$; Tiefe 9—12 m.; Grund — grober Gneissand; Dredge; 1 Exemplar (Station 15).

3. R. P. E. 8. (21.) VII 1901; Nordufer der W.-Taimyr, «Sarja»-Hafen bei der Insel Bonnevie; Tiefe 18—20 m.; Sandiger Schlamm mit Geröll; Trawl; 2 Exemplare (Station 35).

4. R. P. E. 24.VIII (6. IX) 1901; Nordenskiöldmeer, Lt. $75^{\circ} 42' N.$, Lg. $124^{\circ} 41' E.$; Tiefe 51 m.; Grund — Schlamm; Sigsbee-Trawl; 2 Exemplare (Station 49).

5. R. P. E. 28. VIII. (10. IX) 1901; Eismeer nördlich von der Neusibirischen Inseln, Lt. $77^{\circ} 20' 30'' N.$, Lg. $138^{\circ} 47' E.$; Tiefe 38 m.; Grund — Schlamm; Sigsbee-Trawl; 1 Exemplar (Station 50).

6. Dr. Palilov; 26. VIII 1902; Karisches Meer, Lt. $69^{\circ} 48' N.$, Lg. $63^{\circ} 52' E.$; Tiefe 45 m.; Grund — Schlamm; Bodentemperatur $-1,0^{\circ}$; Sigsbee-Trawl; 1 Exemplar.

7. Dr. Palilov; 12. VIII. 1901; Barentsmeer, Lt. $70^{\circ} 46' N.$, Lg. $52^{\circ} 34' E.$; Tiefe 176 m.; Bodentemperatur $-1,7^{\circ}$; 1 Exemplar.

8. Dr. Palilov; 27. VIII 1902; Karisches Meer, Lt. $70^{\circ} 7' N.$, Lg. $60^{\circ} 28' E.$; Grund — Schlamm; Tiefe 175 m.; Bodentemperatur $-0,7^{\circ}$; 2 Exemplare.

9. Dr. Tschernyshev; 4. VIII. 1900; Jugorskij-Schar; Tiefe 16—18 m.; Grund — Geröll; 2 Exemplare.

Die Stacheln bei dieser Art variieren sehr stark in ihrer Form und Grösse. Bei

einigen Exemplaren sind sie lang und schmal, während sie bei anderen kurz und breit waren. Ich schrieb dieses anfangs den Altersstufen zu, fand aber dann Exemplare von 15 mm mit sehr langen Stacheln während sie bei Exemplaren von 17—19 mm Länge niedrig und breit waren. Bei den letzten fand ich auch, dass die hinteren Stacheln angefangen vom dritten eine deutliche Tendenz zeigen sich zu spalten, wie es zum Beispiel bei norwegischen Exemplaren nur angedeutet ist. Die Stacheln des Metasoms zeigen sogar deutlich 2 Spitzen, eine vordere niedrige, breite und eine hintere spitze und lange. Dieselben individuellen Variationen weisen auch Exemplare aus dem Weissen Meere auf. Im ganzen scheint also die Form der Stacheln nicht konstant zu sein und man kann diese Art nicht, wie es mir anfangs schien, in zwei Arten spalten. Auch die Form des Schwanzanhangs ist nicht konstant und er hat manchmal eine Einbuchtung am Hinterrande wie es für *P. buchholzi* beschrieben wird, manchmal ist derselbe ganz gerade.

59. *Paramphitoe polyacantha* Murdoch.

Taf. I, Fig. 3.

1. R. P. E. 9. (22.) VIII 1902; Neusibirische Inseln, Westufer der Insel Kotelny, Nerpalach, Lt. $75^{\circ} 50' N.$; Tiefe 24 m.; Grund — Geröll; Trawl; 1 Exemplar (Station 62).

2. R. P. E. 11. (24.) VIII 1902; dortselbst, 20 Meilen südlicher von der Bunge-Land, Sannikov-Strasse; Tiefe 20 m.; Grund — flüssiger Schlamm mit Sand und Steinen, 3 Exemplare (Station 64).

3. R. P. E. 12. (25.) VIII 1902; dortselbst, südlich von der Faddejev-Insel, Lt. $74^{\circ} 36' 30'' N.$, Lg. $146^{\circ} 30' E.$; Tiefe 12 m.; Grund — Schlamm mit Sand; Trawl; 2 Exemplare (Station 65).

4. M. E. 26. VIII 1906; Karisches Meer — Jugorskij-Schar, beim Dorf Chabarowo; Tiefe 17,5 m.; Grund — Geröll (?); Bodentemperatur $+ 2,9^{\circ}$; 3 Exemplare (Station 1381).

Fam. Atylidae.

60. *Atylus carinatus* Fabr.

1. R. P. E. 18. (31.) VIII 1900; West-Taimyr, Middendorff-Bai, Lt. $75^{\circ} 54' N.$, Lg. $92^{\circ} 59' E.$; Tiefe 9—12 m.; Grund — grober Gneissand; Dredge; 4 Exemplare (Station 15).

2. R. P. E. 18. (31.) VIII 1900; Middendorff-Bai, Lt. $75^{\circ} 54' N.$, Lg. $92^{\circ} 59' E.$; Tiefe 16 m.; Grund — grober Gneissand; Dredge; 9 Exemplare (Station 16).

3. R. P. E. 18. (31.) VIII 1900; dortselbst. Tiefe 12 m.; Grund — Schlamm mit Sand; Dredge; 6 Exemplare (Station 17).

4. R. P. E. 20. VIII (2. IX) 1900; dortselbst; Tiefe 14—16 m.; Grund — grober Sand und Geröll; Trawl; 4 Exemplare (Station 18).
5. R. P. E. 22. VIII (4. IX) 1901; Nordenskiöldmeer, gegenüber der Chatanga-Bucht, Lt. $75^{\circ} 38' N.$, Lg. $114^{\circ} 11' E.$; Tiefe 19 m.; Grund — Geröll und grauer feiner Sand; Trawl; 6 Exemplare (Station 47).
6. R. P. E. 20. VIII (2. IX) 1902; südlich von der Insel Neusibirien, Lt. $74^{\circ} 13' N.$, Lg. $151^{\circ} 36' E.$; Tiefe 11 m.; Grund — Sand mit wenig Schlamm; Trawl; 7 Exemplare (Station 73).
7. R. P. E. 4. (17.) IX 1903; Südwestufer der Insel Kotelny, gegenüber dem Michailov-Stan; Tiefe 3—4,5 m.; Grund — Sand mit Geröll; Dredge; 2 Exemplare (Station 77).
8. R. P. E. September 1903; Insel Kotelny, Michailov Stan; 4 Exemplare.
9. R. P. E. 14. (27.) IX 1903; Insel Kotelny gegenüber dem Michailov Stan, $1\frac{1}{2}$ Meilen vom Ufer entfernt; Tiefe 4—6 m.; Grund — Schlamm mit Sand und Geröll; 1 Exemplar (Station 78).
10. Dr. Tschernyshev; 28. VII. 1900; Jugorstrasse; Tiefe 20 m.; Grund — Geröll; 1 Exemplar.

61. *Nototropis smitti* Goës.

1. R. P. E. 23. VIII (5.) IX 1901; Nordenskiöldmeer, Lt. $75^{\circ} 32' 30'' N.$, Lg. $118^{\circ} 32' E.$; Tiefe 30 m.; Grund — Geröll, Schlamm, Sand; Sigsbee Trawl; 1 Exemplar (Station 48).
2. R. P. E. 24. VIII (6.) IX 1901; ebendasselbst, Lt. $75^{\circ} 42' N.$, Lg. $124^{\circ} 41' E.$; Tiefe 51 m.; Grund — Schlamm; Sigsbee-Trawl; 1 Exemplar (Station 49).
3. R. P. E. 28. VIII (10.) IX 1901; Eismeer nördlich von den Neusibirischen Inseln, Lt. $77^{\circ} 20' 30'' N.$, Lg. $138^{\circ} 47' E.$; Tiefe 38 m.; Grund — Schlamm; Sigsbee-Trawl; 2 Exemplare (Station 50).
4. R. P. E. 1. (14.) IX 1901; dortselbst, Lt. $77^{\circ} 10' N.$, Lg. $142^{\circ} 48' E.$; Tiefe 38 m.; 13 Exemplare (Station 53).
5. Dr. Palilov; Barentsmeer, Lt. $69^{\circ} 30' N.$, Lg. $50^{\circ} 58' E.$; Tiefe 140 m.; Grund — Schlamm; 2 Exemplare.
6. M. E. 1. IX. 1906; dortselbst, Lt. $70^{\circ} 30' N.$, Lg. $52^{\circ} 12' E.$; Tiefe 102 m.; Grund — sandiger Schlamm; Bodentemperatur $+0,16^{\circ}$ (Station 1397).

Fam. *Eusiridae*.

62. *Eusirus holmi* Hansen.

1. M. E. 26. VIII. 1906; Karisches Meer, Lt. $70^{\circ} 8' N.$, Lg. $61^{\circ} 14' E.$; Tiefe 235 m.; Grund — Schlamm; Bodentemperatur $-1,68^{\circ}$; 2 Exemplare (Station 1384).

63. Rhachotropis aculeata Lepechin.

1. R. P. E. 20. VII (2. VIII) 1900; Barents-Meer, Lt. $69^{\circ} 39' N.$, Lg. $46^{\circ} 16' E.$; Tiefe 85 m.; Grund — feiner schlammiger Sand mit Geröll; Dredge; 2 Exemplare (Station 1).
2. R. P. E. 22. VIII (4.) IX 1901; Nordenskiöldmeer, gegenüber der Chatanga-Bucht, Lt. $75^{\circ} 38' N.$, Lg. $114^{\circ} 11' E.$; Tiefe 19 m.; Grund — Geröll und grauer feiner Sand; Trawl; 1 Exemplar (Station 47).
3. Dr. Palilov; 9. VIII. 1901; Barentsmeer, Lt. $69^{\circ} 47' N.$, Lg. $57^{\circ} 23' E.$; Tiefe 56 m.; Grund — Schlamm; Bodentemperatur $+0,2^{\circ}$; 16 Exemplare.
4. Dr. Tschernyshev; 9. VIII 1900; Karisches Meer, Lt. $69^{\circ} 47' N.$, Lg. $60^{\circ} 34' E.$; Tiefe 26 m.; Grund — Geröll; Dredge; 2 Exemplare.
5. Dr. Palilov; 22. VIII 1904; dortselbst, Lt. $72^{\circ} 4' N.$, Lg. $68^{\circ} 17' 30'' E.$; Tiefe 24 m.; Grund — Schlamm; Bodentemperatur $-1,3^{\circ}$; 2 Exemplare.
6. Dr. Palilov; 26. VIII. 1902; dortselbst, Lt. $69^{\circ} 48' N.$, Lg. $63^{\circ} 52' E.$; Tiefe 45 m.; Grund — Schlamm; Bodentemperatur $-1,0^{\circ}$; Sigsbee-Trawl; 2 Exemplare.
7. Dr. Palilov; Barentsmeer, Lt. $69^{\circ} 19' N.$, Lg. $46^{\circ} 43' E.$; Grund — Sand; Tiefe 56 m.; Bodentemperatur $-0,7^{\circ}$; Petersens-Trawl; 3 Exemplare.
8. Dr. Palilov; 4. VIII 1903; dortselbst, Lt. $70^{\circ} 12' N.$, Lg. $52^{\circ} 36' E.$; Grund — Schlamm; Tiefe 100 m.; Bodentemperatur $-1,9^{\circ}$; 1 Exemplar.
9. Dr. Palilov; 2. VIII 1904; dortselbst, Lt. $70^{\circ} 4' N.$, Lg. $57^{\circ} 40' E.$; Tiefe 58 m.; Grund — Sand; Sigsbee-Trawl; 2 Exemplare.
9. M. E.; 2. IX. 1906, dortselbst, Lt. $70^{\circ} 9' N.$, Lg. $48^{\circ} 26' E.$; Tiefe 53 m.; Bodentemperatur $+0,8^{\circ}$ (St. 1400); Trawl.
10. M. E.; 30. IX 1906; dortselbst, Lt. 70° , Lg. 57° ; Tiefe 60 m.; Grund — Sand mit Schlamm; Bodentemperatur $+1,38^{\circ}$ (Station 1394).

64. Rhachotropis helleri Boeck.

Dr. Tschernyshev; 25. VIII 1900; Karisches Meer, Lt. $76^{\circ} 6' N.$, Lg. $60^{\circ} 38' 30'' E.$; Tiefe 206 m.; Grund — flüssiger Schlamm; 1 Exemplar.

Der hier als *Rhachotropis helleri* bestimmte Krebs ist in einigen Hinsichten dem *Rh. macropus* ähnlich. Leider waren die Pereipoda des fünften Paares abgebrochen und hiermit fehlte der sicherste Anhaltspunkt zur Auseinanderhaltung dieser beiden Arten. Die Rumpsegmente hatten allerdings sämtlich am Hinterrande dorsal von der Seite gesehen knopfartige Erhebungen, jedoch war der dorsale Zahn des dritten Schwanzsegmentes in seiner Form gleich dem des vierten Segments und der Schwanzanhang hatte die für den *Rh. macropus* charakteristische Form, war aber ein wenig kürzer als die dritten Uropoden.

65. Rhozinante fragilis Goës.

1. R. P. E. 4. IX. 1903; Neusibirische Inseln, Südwestufer der Insel Kotelny; Tiefe 3—4,5 m.; Grund — Sand und Geröll; 3 Exemplare (Station 77).

2. Dr. Tschernyshev; 25.VIII. 1900; Karisches Meer, Lt. 70° 6' N., Lg. 60° 38' E.; Tiefe 205 m.; Grund — flüssiger Schlamm; 1 Exemplar.

Die vorliegenden Exemplare stimmen mit den von Buchholz und anderen Autoren gegebenen Beschreibungen vollkommen überein, doch ist der Hinterrand der ersten bis dritten Epimeren grob gezähnt; der Schwanzanhang ist auf $\frac{1}{3}$ seiner Länge gespalten, beide Hälften auseinanderstehend mit je 6—7 Zähnchen am Rande und stets nicht abgerundet, wie es von Goës und anderen beschrieben und abgebildet wurde.

Fam. Gammaridae.**66. Gammaracanthus loricatus** Sab.

1. R. P. E. 14. (27.) VIII 1901; West-Taimyr, am NW-Ufer der Nansen-Insel; Tiefe 28 m.; Grund — teils blauer Schlamm, teils sandiger Schlamm mit Geröll; 1 Exemplar (Station 41 und 42).

2. R. P. E. 22. VI (4. VII) 1902; Neusibirische Inseln, Insel Kotelny, Nerpitschja-Bucht; Trawl; 2 Exemplare (Station 54).

3. R. P. E. 27. VII (9.) VIII 1902; nach Süden von Cap Walter, Insel Kotelny, in einer Entfernung von $1\frac{1}{2}$ Meilen von Ufer; Grund — zäher grauer Schlamm; Tiefe 16 m.; Trawl; 2 Exemplare (Station 60).

4. R. P. E. 11. (24.) VII 1902; Insel Kotelny, Nerpitschja Bucht; Stellnetz; Tiefe 11—12 m.; 1 Exemplar (Station 64).

5. R. P. E. 14. (27.) VIII 1902; südlich von der Insel Neusibirien, Lt. 74° 25' 30" N., Lg. 147° 21' E.; Tiefe 9 m.; Boden — Sand; Sigsbee-Trawl; 1 Exemplar (Station 67).

6. Dr. Palilov; Barentsmeer, Delta des Flusses Petschora, Lt. 68° 32' N., Lg. 55° 47' E.; Tiefe 20 m.; Bodentemperatur +3,3°; Petersens-Trawl; 2 Exemplare.

7. Dr. Palilov; 30. VII 1902; dortselbst, in der Nähe des Delta der Petschora; Lt. 69° 30' N., Lg. 55° 52' E.; Tiefe 9 m.; Bodentemperatur —0,7°; 1 Exemplar.

67. Gammarus locusta L.

1. R. P. E. 8. (21.) VIII 1900; Karisches Meer, Scott-Hansen Insel; erbeutet in einem Flüsschen unweit des Meeres; 1 Exemplar.

2. R. P. E. 3. (16.) IX 1900; Nordufer der West-Taimyr, «Sarja»-Hafen, Lt. $76^{\circ} 8' N.$, Lg. $95^{\circ} 6' 30'' E.$, Tiefe 17 m.; Planktonnetz; 2 juv. (Station 30).

3. R. P. E. 13. (26.) V 1901; Lt. $76^{\circ} 8' N.$, Lg. $95^{\circ} 6' 30''$; von der Tiefe 18,5 m. bis zur Oberfläche; Planktonnetz; 1 Exemplar (Station 31).

4. R. P. E. IV. 1901; West-Taimyr, «Sarja»-Hafen bei der Insel Bonnevie; gesammelt an der Oberfläche des Wassers; 1 Exemplar.

5. R. P. E. 24. VIII (6. IX) 1901; Nordenskiöldmeer, Lt. $75^{\circ} 42' N.$, Lg. $124^{\circ} 41' E.$; von der Tiefe 47 m. bis zur Oberfläche; Planktonnetz; 1 Exemplar (Station 49 a).

6. R. P. E. 22. VI (4. VII) 1902; Neusibirische Insel Kotelny, Nerpitschja-Bucht; gesammelt von der Wasseroberfläche; 4 Exemplare (Station 54).

7. R. P. E. 15. (28.) VII 1902; Insel Kotelny, Nerpitschja-Bucht in der Nähe des Eingangs in die Lagune; Stellnetz; 3 Exemplare (Station 58).

8. R. P. E. 22. VIII (4. IX) 1902; Lt. $74^{\circ} 25' N.$, Lg. $138^{\circ} 17' E.$; von der Tiefe 17 m. bis zur Oberfläche; Planktonnetz; 1 Exemplar (Station 74 a).

9. R. P. E. 23. VIII (5. IX) 1902; Lt. $74^{\circ} 18\frac{3}{4}' N.$, Lg. $136^{\circ} 35' E.$; von der Tiefe 10 m. bis zur Oberfläche; Planktonnetz; 1 Exemplar (Station 75 a).

10. M. E. 26. VIII 1906; Karisches Meer, Lt. $70^{\circ} 08' N.$, Lg. $61^{\circ} 14' E.$; Tiefe 235 m.; Grund — Schlamm; Bodentemperatur $-1,68^{\circ}$ (St. 1384).

11. Dr. Palilov; 26. VIII 1902; Lt. $69^{\circ} 48' N.$, Lg. $63^{\circ} 52' E.$; Karisches Meer. Grund — Schlamm; Tiefe 45 m.; Bodentemperatur $-1,0$; Sigsbee-Trawl; 1 Exemplar.

Die meisten Exemplare dieser Art sind im Plankton erbeutet worden. Sie unterscheiden sich morphologisch wohl kaum von denen an der Küste lebenden, sind aber lebhaft bunt gefärbt wie ich es an Exemplaren aus den Karischen Meere beobachten konnte.

68. *Weyprechtia pinguis* Kröyer.

1. R. P. E. 28. VIII (10. IX) 1901; Eismeer nördlich von den Neusibirischen Inseln, Lt. $77^{\circ} 20' 30'' N.$, Lg. $138^{\circ} 47' E.$; Tiefe 38 m.; Grund — Schlamm; 1 Exemplar (Station 50).

2. R. P. E. 1. (14.) IX 1901; dortselbst, Lt. $77^{\circ} 10' N.$, Lg. $152^{\circ} 48' E.$; Tiefe 35 m.; Grund — Steine; Sigsbee-Trawl; 2 Exemplare (Station 53).

3. R. P. E. 20. VIII (2. IX) 1902; südlich von der Neusibirien, Lt. $74^{\circ} 13' N.$, Lg. $151^{\circ} 36' E.$; Tiefe 11 m.; Grund — Sand mit Schlamm; Trawl; 2 Exemplare (Station 73).

4. Dr. Tschernyshev; Jugorstrasse; Grund — Geröll; Tiefe 9—10 m. 3 Exemplare.

5. Dr. Tschernyshev; 28. VII 1900; Jugorstrasse; Tiefe 20 m.; Grund — Geröll; 1 Exemplar.

69. Weyprechtia heuglini Buchholz.

1. R. P. E. 30. VII (12. VIII) 1900; Karisches Meer, Jenissej-Busen, Lt. $73^{\circ} 27' N.$, Lg. $79^{\circ} 15' E.$; Tiefe 40 m.; Grund — flüssiger grauer Schlamm; 3 Exemplare (Station 10 d).

2. R. P. E. 22. VI (5. VII) 1902; Neusibirische Inseln, Insel Kotelny am Eingang der Nerpitschja Bucht; 3 Exemplare (Station 54).

3. R. P. E. 27. VII (9. VIII) 1902; Westufer der Insel Kotelny, im Süden von Cap Walter, $1\frac{1}{2}$ Meilen von Ufer; Tiefe 16 m.; Grund — grauer Schlamm; 1 Exemplar (Station 60).

4. Dr. Palilov; 12. VIII. 1902; Barentsmeer, Delta des Flusses Petschora, Lt. $68^{\circ} 52' N.$, Lg. $55^{\circ} 47' E.$; Grund — Sand; Petersens-Trawl; Tiefe 20 m.; Bodentemperatur $+8,3^{\circ}$; 4 Exemplare.

5. Dr. Tschernyshev; Jugorstrasse; Tiefe 10 m.; Grund — flüssiger Schlamm; 1 Exemplar.

A. A. Birula giebt in seiner Arbeit über Crustaceen aus dem Kanin-Petschora Rayon (Ann. Mus. Zool. St.-Pétersbourg, 1899, p. 418) eine Zeichnung des Schwanzanhangs, die von derjenigen Stebbing's ein wenig abweicht. Bei den von mir untersuchten Krebsen war der Bau dem von A. Birula beschriebenen ähnlich; die beiden Seitenränder waren gerade, eher ein wenig nach aussen hervorgewölbt. Bei einigen Exemplaren waren ausserdem 2 Härchen auf jeder Seite des Schwanzanhangs, ein grösseres und ein mit sehr feinen secundären Härchen versehenes; auch der hintere Rand variiert in seiner Form.

70. Melita dentata Kröyer.

1. Dr. Tschernyshev; Jugorskij Schar, Lt. $69^{\circ} 47' N.$, Lg. $60^{\circ} 34' E.$; Tiefe 13 m.; Grund — Geröll; 3 Exemplare.

2. M. E.; 23. VIII 1906; Jugorskij Schar am Cap Djakonow; Tiefe 3—4 m.; Grund — Geröll; (Station 1380)

3. M. E. 2. IX 1906; Barentsmeer, Lt. $70^{\circ} 9' N.$, Lg. $48^{\circ} 26' E.$; Tiefe 53 m.; Grund — Sand; Bodentemperatur $+0,8^{\circ}$ (Station 1400).

Auch hier findet man, wie ich es bei Exemplaren von Spitzbergen beschrieben habe, bei den ♂♂ zwei Zähne am unteren Kopfrande.

71. Melita formosa Murdoch.

1. R. P. E. 22. VII (3. VIII) 1900; Barents-See, Lt. $69^{\circ} 35' N.$, Lg. $50^{\circ} 5' E.$; Tiefe 70 m.; Grund — grauer Schlamm mit Geröll; Dredge; 2 Exemplare (Station 2).

2. R. P. E. 17. (30.) VIII 1902; einwenig nach NO von der Insel Neusibirien, Lt. $75^{\circ} 22' N.$, Lg. $151^{\circ} 115' E.$; Tiefe 17 m.; Grund — Schlamm mit Sand; Sigsbee-Trawl; 1 Exemplar (Station 71).

M. E.; Juni 1906; Novaja Zemlja, Beluschja Bucht; Grund — Schlamm; 1 Exemplar.

72. *Melita quadrispinosa* Vosseler.

1. R. P. E. 22. VII (3. VIII) 1900; Barents-See, Lt. $69^{\circ} 35' N.$, Lg. $50^{\circ} 5' E.$; Tiefe 70 m.; Grund — grauer Schlamm mit Geröll; Dredge; 7 Exemplare (Station 2).

73. *Ceradocus torelli* Goës.

Taf. I, Fig. 4.

1. R. P. E. 23. VIII (5. IX) 1902; Neusibirische Inseln, nördlich von der Insel Stolbovoj, Lt. $74^{\circ} 18' 45'' N.$, Lg. $136^{\circ} 35' E.$; Tiefe 24 m.; Grund — Schlamm; Trawl; 1 Exemplar (Station 75).

Es wurde leider nur ein Exemplar dieses schönen und seltenen Krebses erbeutet. Da es noch keine genaue Beschreibung dieser Art giebt, so gebe ich sie hier unten.

Der Körper ist schlank, nicht hoch, dorsal ganz glatt. Epimeren klein.

Der Kopf ist kürzer als das erste und zweite Rumpfsegment. Der laterale Kopfwinkel ist vorne abgerundet, darauf folgt eine kleine Einbuchtung und der fast rechteckige postantennale Kopfwinkel. Augen fehlen. Die Coxalplatten sind klein, die erste vorne spitz ausgezogen. Die ersten, zweiten und dritten Epimerenplatten sind hinten spitz ausgezogen.

Das erste Glied der oberen Antennen ist kürzer als das zweite, Geissel der oberen Antennen 32-gliedrig, Nebengeissel 5-gliedrig. Geissel der viel kürzeren unteren Antennen 17-gliedrig. Die Mundwerkzeuge sind bei Goës sehr genau dargestellt und stimmen mit dem vorliegenden Exemplar überein. Die zweiten Gnathopoden grösser als die ersten. Das sechste Glied der ersten Gnathopoden ohne deutlich abgegrenzten Unter- und Hinterrand. Das fünfte Glied der zweiten Gnathopoden fast dreieckig, kleiner als das sechste. Das sechste sehr stark aufgeschwollen oval, mit sehr schrägem Unterrande.

Die Pereipoda 3—5 werden nach hinten allmählich länger. Das zweite Glied ist ziemlich stark verbreitert. Die ersten und zweiten Uropoden reichen gleichweit nach hinten, die dritten sind sehr lang. Das Basalglied der ersten Uropoden hat in seiner Mitte einen nach unten gerichteten spitzen Zahn. Die dritten Uropoden sind lamellos, viel länger als die beiden ersten und die Rami sind am Rande mit feinen Borsten besetzt. Schwanzanhang gleich lang wie das Basalglied des dritten Uropoden, tief gespalten.

Die Grösse des einzigen Exemplares beträgt 61 mm.

74 Amathilopsis spinigera Heller.

1. Dr. Palilov; 24. VIII 1901; Karisches Meer, Lt. 74° N., Lg. 57° 50' E.; Tiefe 180 m.; Boden- temperatur —1,5°; Sigsbee-Trawl; 4 Exemplare.

Fam. **Aoridae.****75. Lembos arcticus** Hansen.

Taf. III, Figg. 22—28.

1. R. P. E. 24. VII (3. VIII) 1900; Barents-Meer; Lt. 69° 35' N., Lg. 50° 5' E.; Tiefe 70 m.; Grund — grauer Schlamm mit Geröll; Dredge; 11 Exemplare (Station 2).

2. R. P. E. 28. VIII (10. IX) 1901; Eismeer nördlich der Neusibirischen Inseln, Lt. 77° 20' 30" N., Lg. 138° 47' E.; Grund — Schlamm; Tiefe 38 m.; Trawl; 3 Exemplare (Station 50).

3. R. P. E. 2. (15.) VII 1902; Neusibirische Inseln, Insel Kotelny am Eingang in die Nerpitschja-Bucht; Tiefe 6—8 m.; Grund — Geröll; Trawl; 1 Exemplar (Station 55).

4. Dr. Palilov; 22. VIII 1901; Karisches Meer, Lt. 72° 4' N., Lg. 68° 17' 30" E.; Tiefe 24 m.; Boden — Schlamm; Bodentemperatur —1,3°; 2 Exemplare.

5. Dr. Tschernyshev; 13. VIII 1900; Jugorskij Schar; Tiefe 10 m.; Grund — Schlamm; 3 Exemplare.

Herr A. A. Birula hat eine farbige Zeichnung eines auf der Station 50 gefangenen, 33 mm. langen Exemplar gemacht, die die Färbung dieser Art ausgezeichnet wiedergibt. Die Antennen, der Rücken und die Uropoden sind weinrot. Die Seiten haben eine rosa Färbung mit vielen braunen Pigmentflecken. Die Beine und Seitenplatten haben eine schmutziggelbe Farbe. Der Kopf ist dorsal rotbraun und hat lateral eine undeutliche braune Zeichnung.

Ausser einigen völlig erwachsenen Exemplaren wurden hier auch einige jüngere erbeutet, die einen abweichenden Bau der zweiten Gnathopoden zeigten. Eine solche Umwandlung des zweiten Gnathopodenpaars des Männchens ist schon bei anderen Arten constatirt worden, wie bei *Ischyrocerus anguipes* Kr. (= *I. minutus*) und bei *Protomedeia grandimana* Brüggén, und zwar in einer, dem vorliegendem Fälle ähnlichen, Weise.

Die jungen Exemplare von 12—15 mm. Länge, haben das sechste Glied der zweiten Gnathopoden verhältnismässig kleiner, mit parallelem Hinter- und Vorderrande; der Unterrand ist ganz gerade, bildet mit dem Hinterrande einen fast rechten Winkel ohne Zahn und hat an dieser Ecke einen starken Dorn.

Der Unterrand ist äusserst fein gesägt. Die Klaue am Innerande fein gesägt ist gleichlang wie der untere Rand des sechsten Gliedes. Das einzige Exemplar von 25 mm. Länge zeigte einen ähnlichen Bau des sechsten Gliedes, doch war es nach unten ein wenig verbreitert und hat ausser der hier noch stärkeren Borste einen den Unterrand abgrenzenden Zahn. Die erwachsenen Exemplare hatten keine Borste an der hinteren Ecke des sechsten Gliedes, dafür trat aber dieselbe zahnformig hervor, als ein den Unterrand abgrenzender Zahn. Der Unterrand ist glattrandig und in der Mitte ein wenig hervorgebuchtet.

Die Zahl der Obergeisselglieder ist bei jungen Exemplaren 4—5.

Bei den Weibchen ist die Klaue des 6-ten Gliedes der zweiten Gnathopoden viel länger als der Unterrand, der Hinter- und der Vorderand sind fast parallel und das Glied ist distal nicht erweitert.

Der Schwanzanhang hat vier Bosten jederseits.

Fam. Jassidae.

76. *Ischyrocerus latipes* Kröyer.

1. R. P. E. 22.VIII (4. IX) 1901; Nordenskiöldmeer gegenüber der Chatanga-Bucht; Lt. $75^{\circ} 38' N.$, Lg. $114^{\circ} 11' E.$; Tiefe 19 m.; Grund — Geröll und grauer feiner Sand; Trawl; 15 Exemplare (Station 47).

2. R. P. E. 28. VIII (10. IX) 1901; Eismeer nördlich von den Neusibirischen Inseln, Lt. $77^{\circ} 20' 30'' N.$, Lg. $138^{\circ} 47' E.$; Tiefe 38 m.; Grund — Schlamm; Sigsbee-Trawl; 12 Exemplare (Station 50).

3. R. P. E. 30.VIII (13. IX) 1901; dortselbst bei der Bennett-Insel, Lt. $76^{\circ} 37' N.$, Lg. $147^{\circ} 27' E.$; Tiefe 42 m.; Grund — flüssiger Schlamm; Trawl; 8 Exemplare (Station 52).

4. R. P. E. 1. (14.) IX 1901; dortselbst, Lt. $77^{\circ} 10' N.$, Lg. $142^{\circ} 48' E.$; Tiefe 35 m.; Trawl; 1 Exemplar (Station 53).

5. R. P. E. 17. (30.) VIII 1902; nach NO von der Insel Neusibirien, Lt. $75^{\circ} 20' N.$, Lg. $151^{\circ} 45' E.$; Tiefe 17 m.; Grund — Schlamm mit Sand und Steinen; 1 Exemplar (Station 70).

6. M. E. 26. VIII. 1906; Karisches Meer, Jugorskij Schar beim Dorfe Chabaravo; Tiefe 17,5 m.; Bodentemperatur $+ 2,9^{\circ}$; sehr zahlreich (Station 1381).

7. M. E. 23. VIII. 1906; dortselbst, Lt. $69^{\circ} 40' 45'' N.$, Lg. $60^{\circ} 22' E.$; Tiefe 19 m.; Grund — Geröll; Bodentemperatur $+ 3,7^{\circ}$; sehr zahlreich (Station 1379).

8. Dr. Tschernyshev; 8. VIII 1900; dortselbst; Tiefe 31 m.; Boden — Geröll; 1 Exemplar.

9. Dr. Tschernyshev; 28. VIII. 1900; dortselbst; Grund — Geröll; 1 Exemplar.

10. Dr. Tschernyshev; 25. V. 1900; Barentsmeer, Lt. $65^{\circ} 42' 30'' N.$, Lg. $39^{\circ} 47' E.$; Tiefe 43 m.; Grund — Geröll; 1 Exemplar.

Fam. Corophiidae.

77. *Erichtonius hunteri* Bate.

1. M. E. 26. VIII 1906; Jugorskij Schar beim Dorf Chabarovo; Tiefe 26 m.; Grund — Geröll; Bodentemperatur $+2,9^{\circ}$, 2 Exemplare (Station 1381).

78. *Erichtonius tolli* nov. sp.

Taf. I, Fig. 6 und Taf. III, Figg. 29—34.

1. R. P. E. 30. VIII (13. IX) 1901; Eismeer nördlich von den Neusibirischen Inseln, bei den Bennett-Insel, Lt. $76^{\circ} 37' N.$, Lg. $147^{\circ} 27' E.$, Tiefe 42 m.; Grund — flüssiger Schlamm; Trawl; sehr zahlreich (Station 52).

Diese neue Art steht dem *E. hunteri* sehr nahe und scheint denselben im Sibirischen Meere zu vertreten. Sie unterscheidet sich durch den Bau der zweiten Gnathopoden des Männchens, durch die dritten Epimerenplatten, und des 3.—5. Paares der Beine.

Der Kopf ist ein wenig kürzer als die ersten beiden Rumpfsegmente zusammengenommen. Der laterale Kopfwinkel ist nach vorne stark ausgezogen, mit ziemlich grossen hervorgewölbten Augen und endigt mit einem kleinem nach oben gerichteten spitzen Zahn.

Der Körper ist breit, doch höher als bei *E. hunteri*; die Seitenplatten sind klein, die zweite ist doppelt so breit als die erste; die fünfte hat einen sehr grossen Vorderlappen.

Die dritten Epimeren sind hinten in einen spitzen Winkel ausgezogen.

Die ersten Antennen sind ein wenig länger als die unteren, mit 11—14-gliedriger Geissel. Die unteren Antennen haben ein 10—12-gliedrige Geissel.

Die ersten Gnathopoden der ♂♂ wie auch der ♀♀ sind wie die des *E. abditus* gebaut.

Das fünfte Glied des zweiten Gnathopoden der ♂♂ hat einen grossen Fortsatz am Hinterrande, welcher über die Hälfte des sechsten Gliedes reicht und in der Mitte des inneren Randes einen flachen aber deutlich erkennbaren Zahn oder Verbuchtung hat. Beide letzten Glieder sind dick und sehr gross.

Das sechste Glied ist robuster als bei *E. hunteri* und hat am Hinterrande drei Höcker, die die proximale Hälfte des fünften Gliedes einnehmen, einen doppelten, der dem fünften Gliede am nächsten ist und zwei abgerundete; die andere distale Hälfte regelmässig abgerundet und glattrandig. Die Klaue ist wie bei *E. hunteri*, aber innen und aussen mit kurzen Borsten besetzt und hat an der Spitze eine sehr lange Borste.

Die zweiten Gnathopoden des ♀ lassen sich kaum von denen des *E. hunteri* unterscheiden. Der Fortsatz des fünften Gliedes ist länger und weniger breit.

Die ersten und zweiten Pereiopoda haben ein sehr stark nach vorn vorgebuchtetes zweites Glied, dessen Unter- und Vorderrand in der Mitte fast parallele Ränder haben.

Die dritten bis fünften Pereiopoda, die Uropoden und der Schwanzanhang sind wie bei *E. hunteri*.

Die Länge beträgt circa 13 mm.

79. *Unciola planipes* Norm.

1. M. E.; 3. IX 1906; Barentsmeer, Lt. $69^{\circ} 4' N.$, Lg. $40^{\circ} 16' E.$; Grund — Sand; Tiefe 90 m.; Bodentemperatur $+3,5^{\circ}$ (Station 1403).

80. *Unciola leucopis* Kröyer.

1. R. P. E. 24. VIII (6 IX) 1901; Nordenskiöldmeer, Lt. $75^{\circ} 42' N.$, Lg. $124^{\circ} 41' E.$; Tiefe 51 m.; Grund — Schlamm; Sigsbee-Trawl; 2 Exemplare (Station 49).

Fam. Podoceridae.

81. *Dulichia spinosissima* Kröyer.

1. R. P. E. 28. VIII (10.) IX 1901; Eismeer nördlich von den Neusibirischen Inseln, Lt. $77^{\circ} 20' 30'' N.$ Lg. $138^{\circ} 47' E.$; Tiefe 38 m.; Grund — Schlamm; Trawl; 2 Exemplare (Station 50).

2. R. P. E. 30. VIII (13. IX) 1901; ebendasselbst bei der Bennett-Insel, Lt. $76^{\circ} 37' N.$, Lg. $147^{\circ} 27' E.$; Tiefe 42 m.; Grund — flüssiger Schlamm; Trawl; 2 Exemplare (Station 52).

3. M. E. 28. VIII. 1901; Karisches Meer, Lt. $71^{\circ} 40' N.$, Lg. $60^{\circ} 58' E.$; Tiefe 75 m.; Grund — Schlamm; Bodentemperatur $-1,72^{\circ}$; 3 Exemplare (Station 1391).

Fam. Caprellidae.

82. *Aegina langicornis* Kröyer.

1. R. P. E. 16. (29.) VIII 1901; Nordufer der West-Taimyr, bei der Nansen-Insel; Grund — Schlamm mit Sand; Tiefe 21 m.; kl. Sigsbee-Trawl; 2 Exemplare (Station 43).

2. R. P. E. 21. VIII (3.) IX 1901; Nordenskiöldmeer, Lt. $75^{\circ} 1' N.$, Lg. $114^{\circ} 35' E.$; Tiefe 60 m.; Grund — Schlamm mit Geröll; kl. Sigsbee-Trawl; 3 Exemplare (Station 46).

3. R. P. E. 22.VIII (4.) IX 1901; dortselbst, Lt. $75^{\circ} 38' N.$, Lg. $140^{\circ} 11' E.$; gegenüber der Chatanga-Bai, Tiefe 19 m.; Grund — Geröll mit Sand; Sigsbee-Trawl; 2 Exemplare (Station 47).

4. R. P. E. 28.VIII (10.) IX 1901; Eismeer nördlich von den Neusibirischen Inseln, Lt. $77^{\circ} 20' 30'' N.$, Lg. $138^{\circ} 47' E.$; Tiefe 38 m.; Grund — Schlamm; Sigsbee-Trawl; zahlreiche Exemplare (Station 50).

Die Gliedmassen sind bei den sibirischen Exemplaren schlanker, auch erreichen sie selbst eine bedeutende Länge.

83. *Caprella spinosissima* Norman.

1. R. P. E. 26.VIII (18.IX.) 1900; Karisches Meer, Lt. $70^{\circ} N.$, Lg. $63^{\circ} E.$; Tiefe 105 m.; Grund — flüssiger Schlamm; Trawl; 2 Exemplare (Station 5).

2. R. P. E. 21.VIII (3.) IX 1901; Nordenskiöldmeer, Lt. $77^{\circ} 1' N.$, Lg. $114^{\circ} 35' E.$; Tiefe 60 m.; Grund — Schlamm mit Geröll; 2 Exemplare (Station 46).

84. *Caprella microtuberculata* G. O. Sars.

1. R. P. E. 26.VII. (8.) VIII 1900; Karisches Meer, Lt. $70^{\circ} N.$, Lg. $63^{\circ} E.$; Tiefe 105 m.; Grund — flüssiger Schlamm; Trawl; 4 Exemplare (Station 5).

2. R. P. E. 30.VIII (13.) IX 1901; Eismeer nördlich von den Neusibirischen Inseln bei der Bennett-Insel, Lt. $76^{\circ} 37' N.$, Lg. $147^{\circ} 27' E.$; Tiefe 42 m.; Grund — flüssiger Schlamm; Trawl; 2 Exemplare (Station 52).

85. *Caprella septentrionalis* Kröyer.

Dr. Tschernyshev; Karisches Meer, Jugorskij Schar; Tiefe 20 m.; Grund — Geröll.

Übersicht der einzelnen Stationen der Russischen Polar-Expedition, auf welchen Amphipoden gesammelt worden sind.

Barents-Meer.

Station 1.

20. VII (2. VIII) 1900; westlich von der Insel Kolgudjew, Lt. $69^{\circ} 39' N.$, Lg. $46^{\circ} 16' E.$; Tiefe 85 m.; Grund — feiner schlammiger Sand mit Geröll; Dredge.

Ampelisca macrocephala (1), *Rhachotropis aculeata* (2), *Anonyx nugax* (2).

Station 2.

22. VII (3. VIII) 1900; Samojeden-Golf, nordöstlich der Insel Kolgudjew, Lt. $69^{\circ} 35' N.$, Lg. $50^{\circ} 5' E.$; Tiefe 70 m.; Grund — grauer Schlamm mit wenig Geröll; Dredge.

Byblis gaimardi (2), *Pontoporeia femorata* (2), *Melita formosa* (2), *Melita quadrispinosa* (7), *Lembos arcticus* (11), *Haploops laevis* (5).

Station 3.

24. VII (6. VIII) 1900; Gegenüber dem Jugorskij-Schar, Lt. $69^{\circ} 37' N.$, Lg. $56^{\circ} 43' E.$; Tiefe 30 m.; Grund — feiner Sand; Sigsbee-Trawl.

Acanthostepheia behringiensis (3), *Anonyx nugax* (2).

Station 4 (Plankton).

24. VII (6. VIII) 1900; dortselbst; Brutnetz von 30 m. bis zur Oberfläche.

Parathemisto oblivia (1 juv.).

Karisches Meer.

Station 5.

26. VII (8. VIII) 1900; Südtheil des Meeres gegenüber dem Jugorskij-Schar, Lt. $70^{\circ} N.$, Lg. $63^{\circ} E.$; Tiefe 105 m.; Grund — flüssiger graugelber Schlamm; Sigsbee-Trawl.

Acanthostepheia malmgreni (3), *Caprella spinosissima* (2), *Caprella microtuberculata* (4).

Station 6 (Plankton).

26. VIII (8. VIII) 1900; dortselbst; Brutnetz von 90 m. bis zur Oberfläche.

Euthemisto libellula (1 juv.).

Station 7 (Plankton).

27. VII (9. VIII) 1900; am Westufer der Halbinsel Jamal, Lt. $71^{\circ} 36' N.$, Lg. $65^{\circ} 36' E.$; Brutnetz von 150 m. bis zur Oberfläche.

Anonyx nugax (1), *Euthemisto libellula* (1 juv.), *Apherusa glacialis* (1).

Station 9.

28. VII (10. VIII) 1900; westlich von der Insel Belyj, Lt. $72^{\circ} 56' N.$, Lg. $68^{\circ} 15' E.$; Tiefe 40 m.; Grund — flüssiger graugelber Schlamm; kl. Dredge.

Byblis gaimardi (1), *Ampelisca eschrichti* (1).

Station 10b (Plankton).

30. VII (12. VIII) 1900; Jenissej-Busen, Lt. $73^{\circ} 27' N.$, Lg. $79^{\circ} 15' E.$; Brutnetz bis zur Oberfläche von der Tiefe 25 m.

Pseudalibrotus nanseni (1), *Pseudalibrotus glacialis* (1), *Apherusa glacialis* (2).

Station 10d.

30. VII (12. VIII) 1900; dortselbst; Tiefe 40 m. Grund — flüssiger grauer Schlamm; Sigsbee-Trawl.

Haploops laevis (1), *Acanthostepheia malmgreni* (44), *Weyprechtia heuglini* (3).

Station 11.

5. (18.) VIII 1900; dortselbst, Dickson-Hafen auf der Kusjkin-Insel; Tiefe 4—9 m.; Grund — sandiger, grauer oder gelber Schlamm; kl. Dredge.

Pantoporeia affinis (sehr zahlreich), *Onisimus botkini* (3).

Station 0.

31. VII (13. VIII) 1900; dortselbst, vom Geripp eines weissen Bären.

Onisimus affinis (5).

Station 12a (Plankton).

6. (19.) VIII 1900; beim Ostufer, nördlich von dem Pjassina-Busen, Lt. $74^{\circ} 28' N.$ Lg. $83^{\circ} 33' E.$; Brutnetz von der Tiefe 25 m. bis zur Oberfläche.

Hyperia galba (1 juv.), *Apherusa glacialis* (1).

Station 12 b (Plankton).

6. (19.) VIII 1900; dortselbst; Planktonfang von 10 m. bis zur Oberfläche; Brutnetz.
Pseudalibrotus glacialis (1), *Apherusa glacialis* (1).

Station 12 c (Plankton).

6. (19.) VIII 1900; dortselbst; Planktonfang von 50 m. bis zur Oberfläche. Brutnetz.
Apherusa glacialis (1).

Station 12 d.

6. (19.) VIII 1900; dortselbst; Tiefe 52 m.; Grund — flüssiger graugelber Schlamm;
kl. Dredge.

Aceroides latipes (1), *Halirages fulvocinctus* (1).

Station 01.

8. (21.) VIII 1900; Scott-Hansen-Insel; erbeutet in einem Flösschen unweit des Meeres.
Gammarus locusta (1).

Station 14 c.

13. (26.) VIII 1900; am Westufer der West-Taimyr gegenüber dem Cap Sterlegow,
Lt. 75° 49' N., Lg. 89° 35' E.; Tiefe 38 m.; Grund — Schlamm; Sigsbee-Trawl.

Anonyx nugax (2), *Acanthostepheia malmgreni* (46), *Paramphithoe cuspidata* (2), *Onisimus affinis* (1).

Station 15.

18. (31.) VIII 1900; West-Taimyr, Middendorff-Bai; Lt. 75° 54' N., Lg. 92° 59' E.;
Tiefe 7,5—11 m.; Grund — grober Gneissand; kl. Dredge.

Paramphithoe cuspidata (1), *Apherusa megalops* (5), *Atylus carinatus* (4).

Station 16.

18. (31.) VIII 1900; dortselbst; Tiefe 14,5 m.; Grund — grober Gneissand; kl. Dredge.
Onisimus sibiricus (1), *Byblis gaimardi* (2), *Acanthonotozoma inflatum* (2), *Paroediceros lynceus* (20), *Apherusa megalops* (1), *Atylus carinatus* (9).

Station 17.

18. (31.) VIII 1900; dortselbst; Tiefe 11 m.; Grund — Sand und Schlamm; kl. Dredge.
Atylus carinatus (6), *Byblis gaimardi* (2).

Station 18.

20. VIII (2. IX) 1900; dortselbst; Tiefe 13—14,6 m.; Grund — grober Sand und Geröll; kl. Sigsbee-Trawl.

Atylus carinatus (4).

Station 19 (Plankton).

25. VIII (7. IX) 1900; dortselbst; Oberfläche des Meeres zwischen Treibeis; kl. Planktonnetz.

Pseudalibrotus nanseni (2), *Ampelisca eschrichti* (2), *Haploops tubicola* (4), *Haploops laevis* (12), *Byblis gaimardi* (1).

Station 20 (Plankton).

3. (16.) IX 1900; dortselbst; Oberflächenfang mit dem kleinen Planktonnetz.

Apherusa glacialis (2).

Station 22.

5. (18.) IX 1900; am Nordwestufer der West-Taimyr, gegenüber der Kolomejtzew-Bai, Lt. 76° 1' N., Lg. 92° 40' E.; Tiefe 16,4 m.; Grund — grober Sand; kl. Dredge.

Orchomenella minuta (2).

Station 25.

9. (22.) IX 1900; Kolomejtzew-Bai; Lt. 76° 8' N., Lg. 93° 50' E.; Tiefe 22 m.; Grund — Geröll; kl. Sigsbee-Trawl.

Acanthostepheia malmgreni (1).

Station 30 (Plankton).

3. (16.) IX 1900; Nordufer der West-Taimyr, Zarja-Hafen (erstes Winterquartier der Expedition), Lt. 76° 8' N., Lg. 95° 6' 30" E.; Tiefe 17 m.; grosses Planktonnetz.

Onisimus sibiricus (2), *Apherusa glacialis* (1), *Gammarus locusta* (2 juv.).

Station 02.

November 1900, dortselbst; von den Knochen eines Seehundes gesammelt.

Onisimus caricus (18).

Station 31 (Plankton).

13. (26.) IV 1901; dortselbst; Oberflächenfang mit dem mittleren Planktonnetz.

Gammarus locusta (1).

Station 03.

IV 1901; Sarja-Hafen bei der Insel Bonnevie; gesammelt an der Oberfläche des Wassers am Eisrande.

Gammarus locusta (1).

Station 35.

8. (21.) VII 1901; dortselbst; Tiefe 18—20 m.; Grund — Steingeröll mit Mangan-Concretien; kl. Sigsbee-Trawl.

Paramphithoe cuspidata (2).

Station 37.

24. VII. (6. VIII) 1901; dortselbst; Tiefe 18,5 m.; Grund — Sand; mittl. Dredge.

Onisimus caricus (1).

Station 38.

10. (23.) VIII 1901; dortselbst; Tiefe 17—20 m.; Grund — Schlamm mit Sand, Steingeröll und Mangan-Concretien; kl. Sigsbee-Trawl.

Onisimus caricus (1), *Onisimus normani* (1), *Onisimus sibiricus* (1).

Station 39.

11. (24.) VIII 1901; dortselbst; Tiefe 20 m.; Grund — Schlamm mit Sand, Geröll und Mangan-Concretien; kl. Sigsbee-Trawl und kl. Dredge.

Onisimus sibiricus (1).

Station 04.

11. (24.) VIII 1901; dortselbst; von dem Knochen eines Seehundes.

Onisimus caricus (sehr zahlreich).

Station 40.

12. (25.) VIII 1901; am Westufer der Nansen-Insel; Tiefe 25,6 m.; Grund — Schlamm mit Steinen und Mangan-Concretien; kl. Sigsbee-Trawl.

Stegocephalus inflatus (4).

Station 41 u. 42.

14. (27.) VIII 1901; am N.-W. Ufer der Nansen Insel; Tiefe 25,6 m.; Grund — Schlamm mit Sand, Geröll und Mangan-Concretien; kleines Sigsbee-Trawl.

Acanthostepheia malmgreni (4), *Gammaracanthus loricatus* (1).

Station 43.

16. (29.) VIII 1901; Nordufer der West-Taimyr, Framsund; Tiefe 21 m.; Grund — Schlamm mit Sand; kl. Sigsbee-Trawl.

Aegina longicornis (2).

Station 44.

18 (31.) VIII 1901; Taimyr-Golf, nördlich von der Mündung des Flusses Taimyr, Lt. $76^{\circ} 59' 30''$ N., Lg. $100^{\circ} 19' 30''$ E.; Tiefe 28 m.; Grund — Schlamm mit Steinen und Geröll; Petersens Trawl.

Pseudalibrotus glacialis (2), *Tmetonyx cicada* (1), *Lepidepcreum umbo* (1), *Stegocephalus inflatus* (11), *Byblis gaimardi* (2), *Haploops tubicola* (2), *Harpinia mucronata* (1), *Acanthostepheia malmgreni* (4), *Cleipiddes quadricuspis* (2).

Nordenskiöld-Meer.

Station 45 (Plankton).

19. VIII (1. IX) 1901; Ost-Taimyr, bei Cap Tscheluskin, Lt. $77^{\circ} 46' 30''$ N., Lg. $105^{\circ} 11' E.$; Planktonfang von der Tiefe 200 m. bis zur Oberfläche; Brutnetz.

Parathemisto oblivia (16), *Pseudalibrotus nanseni* (8), *Apherusa glacialis* (1).

Station 46.

21. VIII (3. IX) 1901; ein wenig nach NO. von der Ost-Taimyr, Lt. $77^{\circ} 01' N.$, Lg. $114^{\circ} 35' E.$; Tiefe 60 m.; Grund — Schlamm und Geröll; Sigsbee-Trawl.

Acanthostepheia malmgreni (22), *Hippomedon propinquus* (1), *Aristias tumidus* (2), *Stegocephalus inflatus* (3), *Haploops tubicola* (28), *Haploops laevis* (7), *Anonyx nugax* (1), *Aegina longicornis* (3), *Caprella spinosissima* (2).

Station 46 a (Plankton).

21. VIII (3. IX) 1901; dortselbst; Planktonfang von 60 m. bis zur Oberfläche.

Hyperia galba (1 juv.).

Station 47.

22. VIII (4. IX) 1901; gegenüber der Chatanga-Bucht, Lt. $75^{\circ} 38' N.$, Lg. $114^{\circ} 11' E.$; Tiefe 19 m.; Grund — Geröll und feiner grauer Sand; Sigsbee-Trawl.

Socarnes bidenticulatus (4), *Stegocephalus inflatus* (8), *Rhachotropis aculeata* (1), *Acanthostepheia malmgreni* (1), *Atylus carinatus* (6), *Ischyrocerus latipes* (15), *Metopa leptocarpa* (1), *Pleustes panoplus* (5), *Aegina longicornis* (2).

Station 47 b (Plankton).

22. VII (4. IX) 1901; dortselbst; Planktonfang von 17 m. bis zur Oberfläche.

Pseudalibrotus nanseni (2), *Pseudalibrotus glacialis* (3).

Station 48.

23. VIII (5. IX) 1901; offenes Meer, Lt. $75^{\circ} 32' 30''$ N., Lg. $118^{\circ} 32'$ E.; Tiefe 30 m.; Grund — Geröll, Sand und Schlamm; Sigsbee-Trawl.

Stegocephalus inflatus (1 juv.), *Nototropis smitti* (1).

Station 49.

24. VIII. (5. IX) 1901; ebendasselbst, Lt. $75^{\circ} 42'$ N., Lg. $124^{\circ} 41'$ E.; Tiefe 51 m.; Grund — Schlamm; Sigsbee-Trawl.

Anonyx nugax (1 juv.), *Socarnes bidenticulatus* (6), *Orchomenella pinguis* (1), *Stegocephalus inflatus* (1), *Ampelisca eschrichti* (2), *Haploops laevis* (3), *Acanthonotozoma inflatum* (3), *Paramphithoe cuspidata* (2), *Nototropis smitti* (1), *Unciola leucopis* (2).

Station 49 a (Plankton).

24. VIII (5. IX) 1901; dortselbst; Planktonfang von 47 m. bis zur Oberfläche.

Pseudalibrotus glacialis (2), *Gammarus locusta* (1).

Eismeer nördlich von den Neusibirischen Inseln.

Station 50.

28. VIII (10. IX) 1901; Lt. $77^{\circ} 20' 30''$ N., Lg. $138^{\circ} 47'$ E.; Tiefe 38 m.; Grund — Schlamm; Sigsbee-Trawl.

Menigrates obtusifrons (1), *Anonyx nugax* (2), *Socarnes bidenticulatus* (1), *Stegocephalus inflatus* (1), *Ampelisca eschrichti* (36), *Ampelisca birulai* (40), *Byblis gaimardi* (2), *Haploops tubicola* (3), *Haploops laevis* (24), *Metopa spitzbergensis* (7), *Lilljeborgia fissicornis* (2), *Aceroides latipes* (5), *Arrhis phyllonyx* (7), *Acanthostepheia malmgreni* (18), *Paramphithoe cuspidata* (1), *Nototropis smitti* (2), *Weyprechtia pinguis* (1), *Lembos arcticus* (3), *Ischyrocerus latipes* (12), *Dulichia spinosissima* (2), *Pleustes panoplus* (1), *Aegina longicornis* (zahlreich).

Station 51.

29. VIII. (11. IX) 1901; bei der Bennett-Insel, Lt. $76^{\circ} 34'$ N., Lg. $147^{\circ} 22' 30''$ E.; Grund — Schlamm; Tiefe 39 m.; kl. Dredge.

Haploops tubicola (2).

Station 51 b (Plankton).

29. VIII (11. IX) 1901; dortselbst; Planktonfang von 15 m. bis zur Oberfläche.

Hyperia galba (1 juv.), *Apherusa glacialis* (1).

Station 52.

31. VIII (13. IX) 1901; ein wenig westlich von der Bennett-Insel, Lt. $76^{\circ} 37' N.$, Lg. $147^{\circ} 27' E.$; Tiefe 38,4 m.; Grund — flüssiger Schlamm; Sigsbee-Trawl.

Stegocephalus ampulla (1 trächtiges ♀), *Ischyrocerus latipes* (8), *Erichtonius tolli* (sehr zahlreich), *Dulichia spinosissima* (2), *Acanthostepheia malmgreni* (9), *Caprella microtuberculata* (2).

Station 53.

1. (14.) IX 1901; Lt. $77^{\circ} 10' N.$, Lg. $142^{\circ} 48' E.$; Tiefe 35 m.; Grund — Schlamm mit Sand und Steine; Sigsbee-Trawl.

Weyprechtia pinguis (2), *Acanthostepheia malmgreni* (1), *Ischyrocerus latipes* (1), *Pleustes panoplus* (1), *Nototropis smitti* (13).

Station 53 b (Plankton).

1. (14.) IX 1901; dortselbst; Planktonfang von 15 m. bis zur Oberfläche.

Apherusa glacialis (2).

Neusibirische Inseln.

Station 54.

22. VI. (5. VII) 1902; Insel Kotelny, Eingang in den Nerpitschja-Hafen; kl. Sigsbee-Trawl und Dredge.

Gammarus locusta (4), *Gammaracanthus loricatus* (2), *Weyprechtia heuglini* (3).

Station 55.

2. (15.) VII 1902; 2,5 Kabellänge nördlich vom Eingange in die Nerpitschja-Bucht, Insel Kotelny; Trawl.

Lembos arcticus (1), *Pleustes panoplus* (1).

Station 58.

15. (28.) VII 1902; Insel Kotelny, Nerpitschja-Bucht; in der Nähe des Einganges in die Lagune; Stellnetz.

Pleustes panoplus (2), *Gammarus locusta* (3).

Station 59.

25. VII (7. VIII) 1902; Kotelny-Insel, Nerpitschja-Bucht, nördlich vom Südcap; Entfernung vom Ufer 1,5 Meilen.

Haploops laevis (2).

Station 60.

27. VII (9. VIII) 1902; 1,5 Meilen von Westufer der Insel Kotelny südlich vom Cap Rosovy (= Cap Walter); Tiefe 14,6 m.; Grund — zäher grauer Schlamm; Trawl.

Gammaracanthus loricatus (2), *Weyprechtia heuglini* (1), *Acanthostephea malmgreni* (10).

Station 61.

1. (14.) VIII 1902; 3 Meilen von Südwestufer der Insel Kotelny, gegenüber dem Cap Turkanij; Tiefe 18,3 m.; Grund — zäher Schlamm; Trawl.

Acanthostephea malmgreni (5).

Station 62.

9. (22.) VIII 1902; Nordwestufer der Insel Kotelny, Lt. $75^{\circ} 50' N.$; Tiefe 21 m.; Grund — Geröll; Trawl.

Paramphithoe polyacantha (1).

Station 63.

10. (23.) VIII 1902; Westufer der Insel Kotelny, südwestlich vom Cap Rosovy, Lt. $75^{\circ} 16' N.$, Lg. $136^{\circ} 24' E.$; Tiefe 24 m.; Grund — Schlamm; Dredge.

Haploops tubicola (2).

Station 64.

11. (24.) VIII 1902; 20 Meilen südlich von der Insel Kotelny, Lt. $74^{\circ} 34' N.$, Lgt. $141^{\circ} 30' E.$; Tiefe 20 m.; Grund — zäher Schlamm mit Sand und Geröll; Trawl.

Haploops laevis (3); *Acanthostephea malmgreni* (6), *Paramphithoe polyacantha* (3), *Gammaracanthus loricatus* (1).

Station 65.

12. (25. VIII) 1902; Südlich von der Insel Neusibirien, Lt. $74^{\circ} 36' 30'' N.$, Lg. $146^{\circ} 30' E.$; Tiefe 12 m.; Grund — Schlamm mit Sand; Trawl.

Acanthostephea malmgreni (1), *Paramphithoe polyacantha* (2).

Station 66.

13. (26. VIII) 1902; im südlichen Teile der Blagoweschtschensky Strasse; Tiefe 12 m.; Grund — Sand.

Ampelisca macrocephala (2), *Acanthostephea behringiensis* (1).

Station 67.

14. (27.) VIII 1902; südlich von der Insel Neusibirien, St. $74^{\circ} 25' 30'' N.$, Lg. $147^{\circ} 21'$; Tiefe 9 m.; Grund — Sand.

Gammaracanthus loricatus (1).

Station 68.

15. (28.) VIII 1902; dortselbst, Lt. $74^{\circ} 27' N.$, Lg. $150^{\circ} 55' E.$; Tiefe 12 m.; Grund — Schlamm mit Sand; Dredge.

Haploops laevis (18), *Pontoporeia femorata* (2).

Station 70.

17. (30.) VIII 1902; nach NO von der Insel Neusibirien, Lt. $75^{\circ} 20' N.$, Lg. $151^{\circ} 45' E.$; Tiefe 17 m.; Grund — Schlamm mit Sand und Steinen; Trawl.

Onisimus affinis (7), *Ischyrocerus latipes* (1).

Station 71.

18. (31.) VIII 1902; dortselbst, Lt. $75^{\circ} 22' N.$, Lg. $151^{\circ} 15' E.$; Tiefe 15,5 m.; Grund — Schlamm mit Sand;

Melita formosa (1).

Station 71b (Plankton).

18. (31.) VIII 1902; dortselbst; Planktonfang von 8,5 m. bis zur Oberfläche.

Apherusa glacialis (1).

Station 71c (Plankton).

18. (31.) VIII 1902; dortselbst; Planktonfang von 13,5 bis zur Oberfläche.

Apherusa glacialis (1).

Station 72.

19. VIII (1. IX) 1902; östlich von der Insel Neusibirien, Lt. $75^{\circ} 15' N.$, Lg. $152^{\circ} 16' E.$; Tiefe 15,5 m.; Grund — Schlamm mit Sand; Trawl.

Ampelisca macrocephala (2).

Station 73.

20. VIII (2. IX) 1902; südlich von der Insel Neusibirien, Lt. $74^{\circ} 13' N.$, Lg. $151^{\circ} 36' E.$; Tiefe 11 m.; Grund — Sand mit wenig Schlamm; Trawl.

Weyprechtia pinguis (2), *Atylus carinatus* (7), *Haploops laevis* (11).

Station 73a (Plankton).

20. VIII (2. IX) 1902; dortselbst; Planktonfang von 9 m. bis zur Oberfläche.

Pseudalibrotus nansenii (4).

Station 74.

22. VIII (4. IX) 1904; südlich von der Insel Kotelny, Lt. $74^{\circ} 25' N.$, Lg. $138^{\circ} 17' E.$; Tiefe 18,75 m.; Grund — Schlamm mit Sand; Dredge:
Acanthostepheia malmgreni (2).

Station 74 a (Plankton).

22. VIII (4. IX) 1902; dortselbst, Lt. $74^{\circ} 25' N.$, Lg. $138^{\circ} 17' E.$; Planktonfang von 17 m. bis zur Oberfläche.
Gammarus locusta (1).

Station 75.

23. VIII (5. IX) 1902; nach NO von der Insel Stolbowoj, Lt. $74^{\circ} 18' 45'' N.$, Lg. $136^{\circ} 35' E.$; Tiefe 24 m.; Grund — Schlamm; Trawl.
Ceradocus torelli (1).

Station 75 a (Plankton).

23. VIII (5. IX) 1902; dortselbst; Planktonfang von 10 m. bis zur Oberfläche.
Gammarus locusta (1).

Station 75 b (Plankton).

23. VIII (5. IX) 1902; dortselbst; Planktonfang von 15 m. bis zur Oberfläche.
Apherusa glacialis (2).

Station 75 c (Plankton).

23. VIII (5. IX) 1902; dortselbst; Planktonfang von 22 m. bis zur Oberfläche.
Apherusa glacialis (1).

Station 76.

24. VIII (6. IX) 1902; Borchaja-Bai gegenüber der Lena-Mündung, Lt. $72^{\circ} 56' N.$, Lg. $135^{\circ} 13'$; Tiefe 17 m.; Grund — Schlamm; Trawl.
Haploops laevis (2), *Acanthostepheia malmgreni* (2).

Station 77.

4. (17.) IX 1903; gegenüber dem Michailov-Stan am Südwestufer der Insel Kotelny; Tiefe 3—4,5 m.; Grund — Sand und Schlamm; Trawl.

Onisimus affinis (1), *Paroediceros lynceus* (3), *Atylus carinatus* (2), *Rozinante fragilis* (3), *Acanthostepheia behringiensis* (2).

Station 78.

14. (27.) IX 1903; gegenüber dem Michailov Stan am Südwestufer der Insel Kotelny, $\frac{1}{2}$ —1 Meile vom Ufer entfernt; Tiefe 4—6 m.; Grund — Schlamm mit wenig Sand und Trawl.

Onisimus affinis (3), *Acanthostepheia behringiensis* (1), *Atylus carinatus* (5), *Menigrates obtusifrons* (1), *Pontoporeia femorata* (3), *Aceroides latipes* (2).

Litteraturverzeichnis.

Arbeiten über die Amphipoden-Fauna des Karischen Meeres.

- 1887 — H. J. Hansen. Oversigt over de paa Dijnphna-Togtet indsamlede Krebsdyr. «Dijnphna-Togtets zool.-bot. Udbytte», Kjöbenhavn, Tab. XX—XXIV, p. 183.
- 1886 — Anton Stuxberg. Faunan på och kring Novaja Semlja. Vega-Exped. Vetensk. Iakttagelser, Bd. V, Stockholm.
- 1897 — A. Birula. Recherches sur la biologie et zoogéographie principalement des mers russes. II. Hydrozoaires, Polychètes et Crustacés, recueillis par le Dr. A. Botkine an 1895 dans les golfes du Enissei et de l'Obi. Annuaire du Mus. zool. de l'Ac. Imp. des Sciences, Vol. II, pag. 78, St.-Pétersbourg.
- 1899 — A. Birula. Recherches etc. VII. Note sur les crustacés, recueillis par le Dr. A. S. Botkine en 1896 et 1897 dans la mer Kara et dans la région sud-est de la mer Mourmane; loc. cit. Vol. IV, p. 418.
- 1894 — Th. Stebbing. The Amphipoda coll. during the voyages of the «Willem Barents» in the arctic Seas in the years 1880—84. Bijdragen tot de Dierkunde, Afl. 17. 1884—1894.

Arbeiten über die Amphipoden-Fauna des Nordenskiöld-Meeres.

- 1882 — A. Stuxberg. Evertebratfaunan i Sibiriens Ishaf. Vega - Exped. Vetenskapl. Iakttagelser, Bd. I, p. 677.
- 1900 — G. O. Sars. The norwegian north polar Exped. 1893—96. Scient. Res. Vol. V, Crustacea.

Arbeiten über die Amphipoden-Fauna des Beaufort-Meeres und Berings-Meeres.

- 1882 — A. Stuxberg, die oben citierte Arbeit.
- 1904 — S. I. Holmes. Amphipod Crustaceans of the Harriman Alaska Expedition, New-York.
- 1885 — I. Murdoch. Marine invertebrates, in Report of the international polar expedition to Point Barrow, Alaska. Washington.

Berichtigungen.

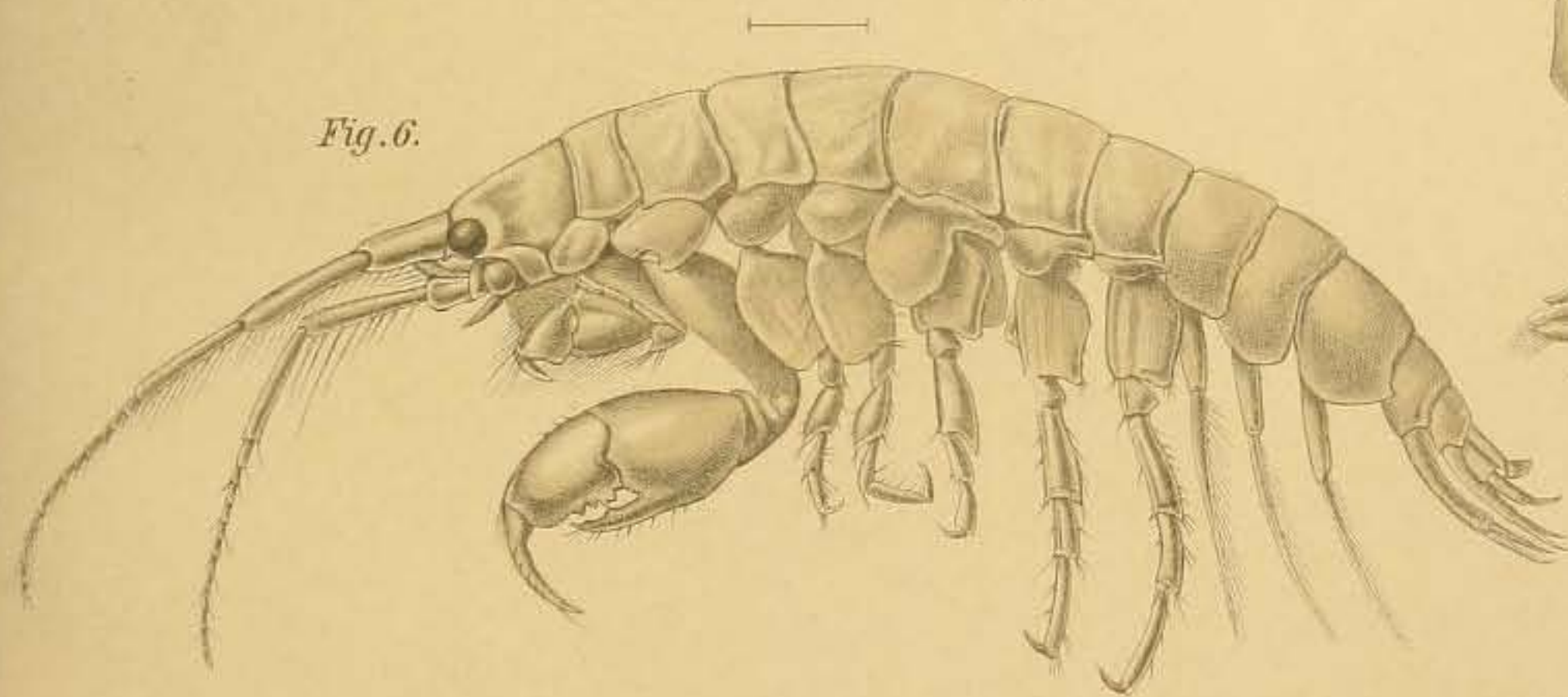
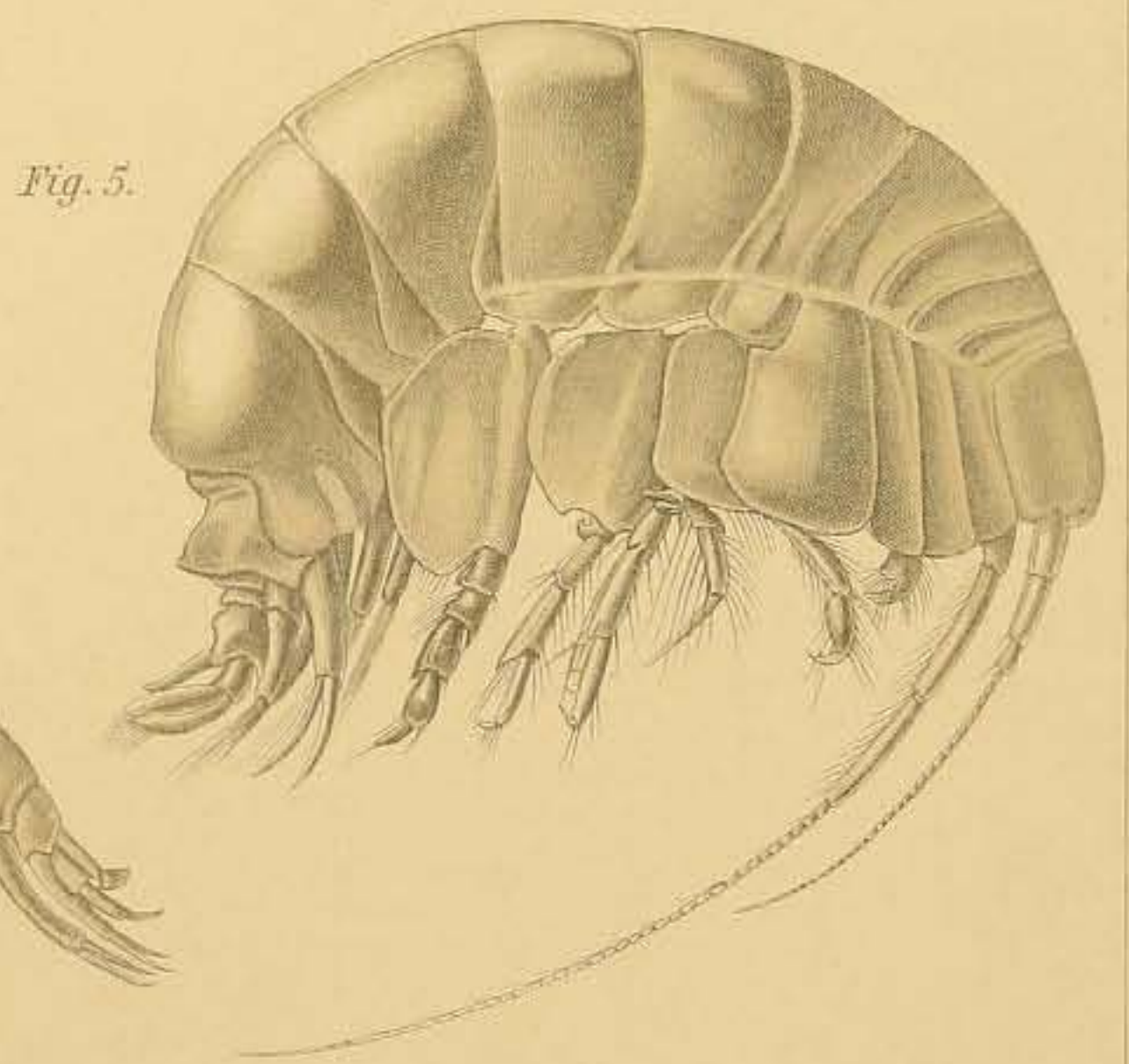
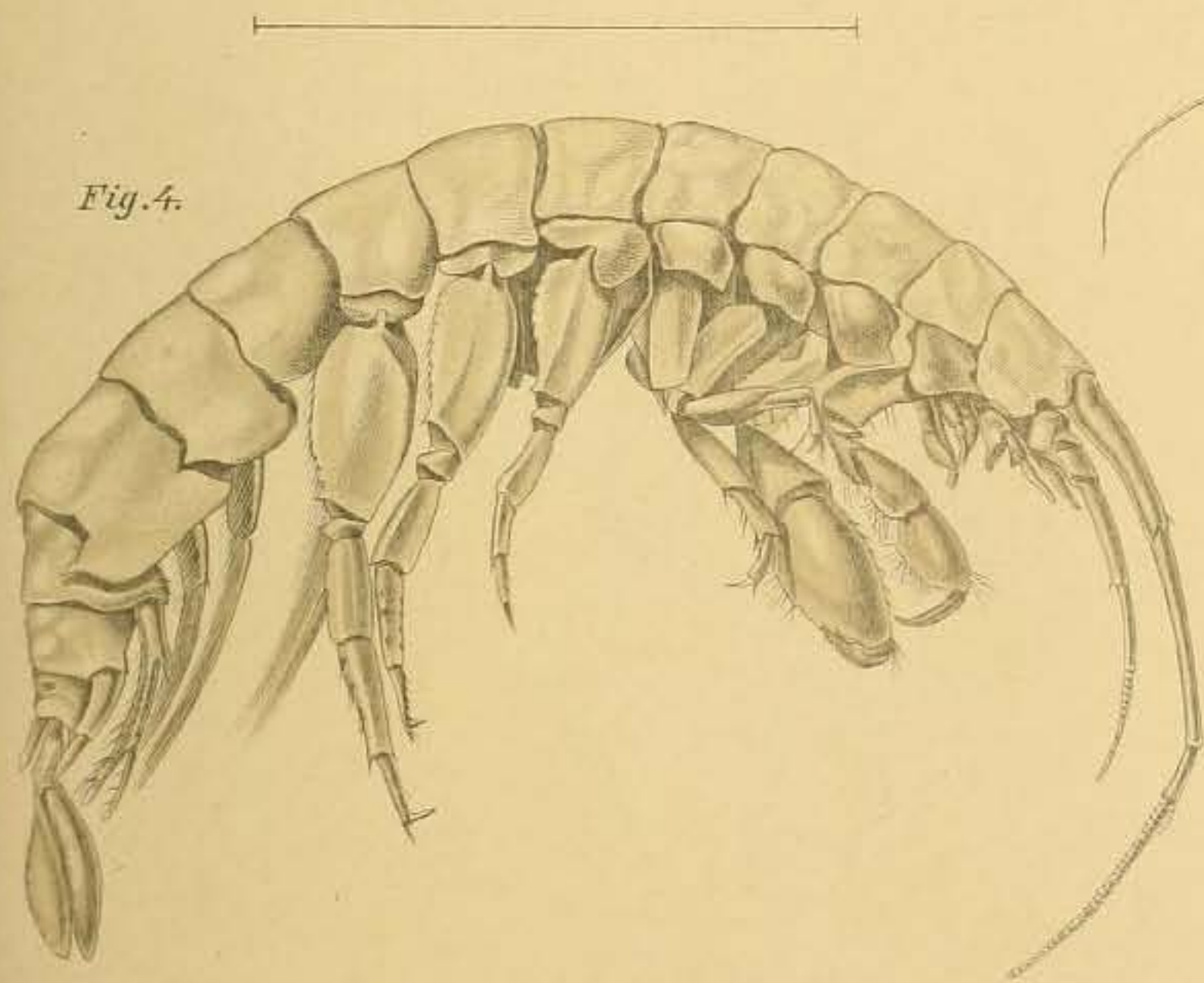
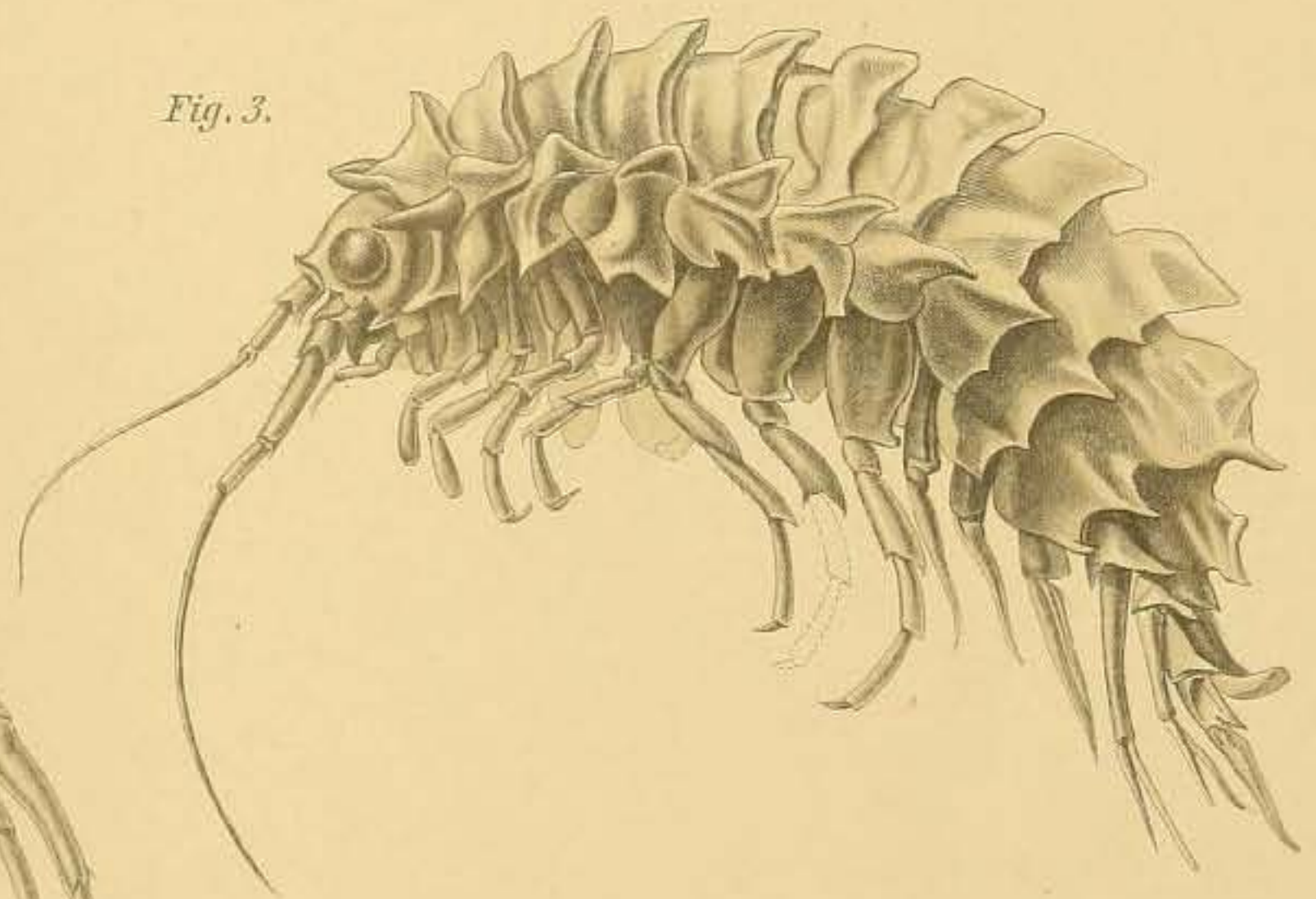
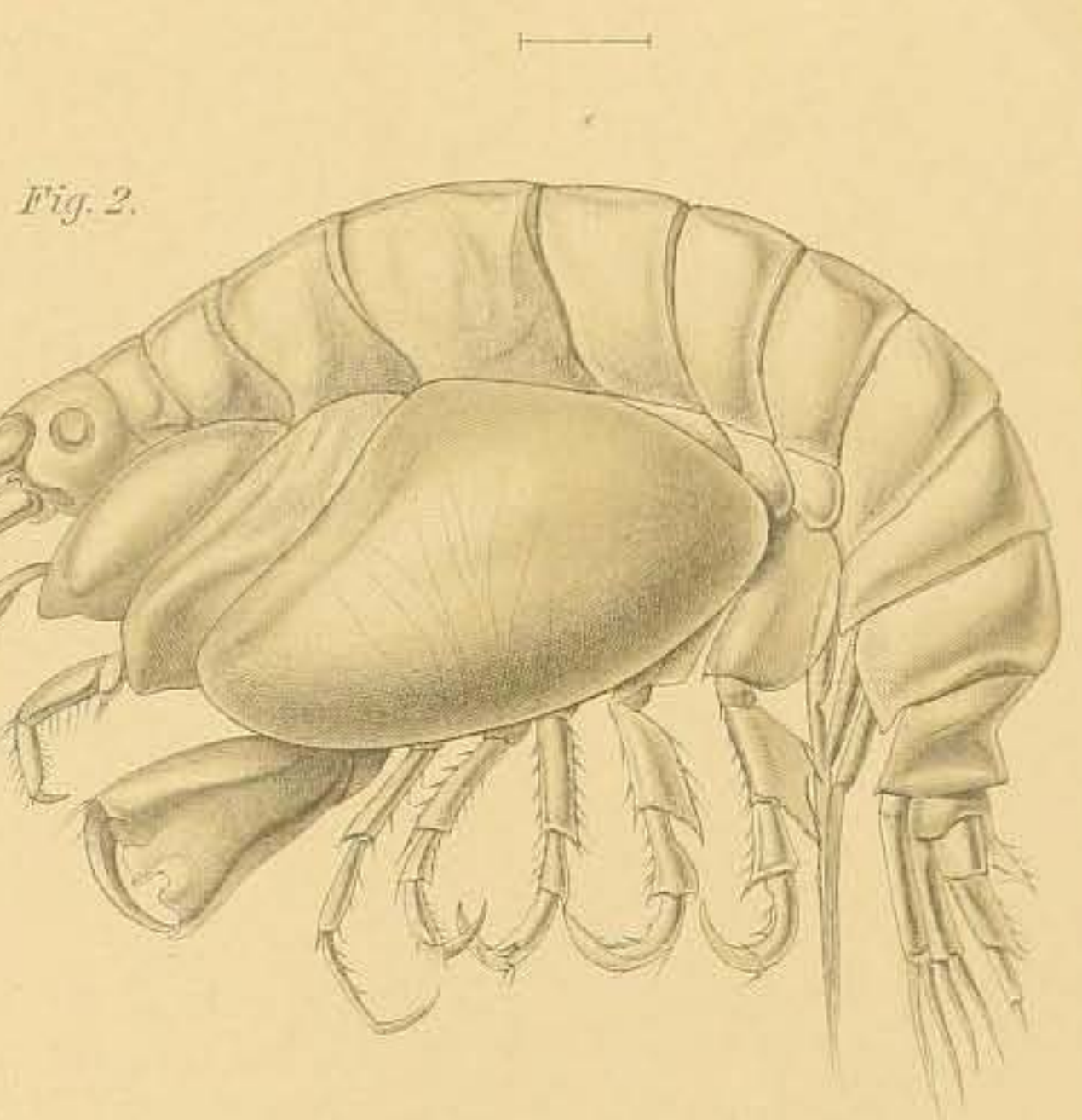
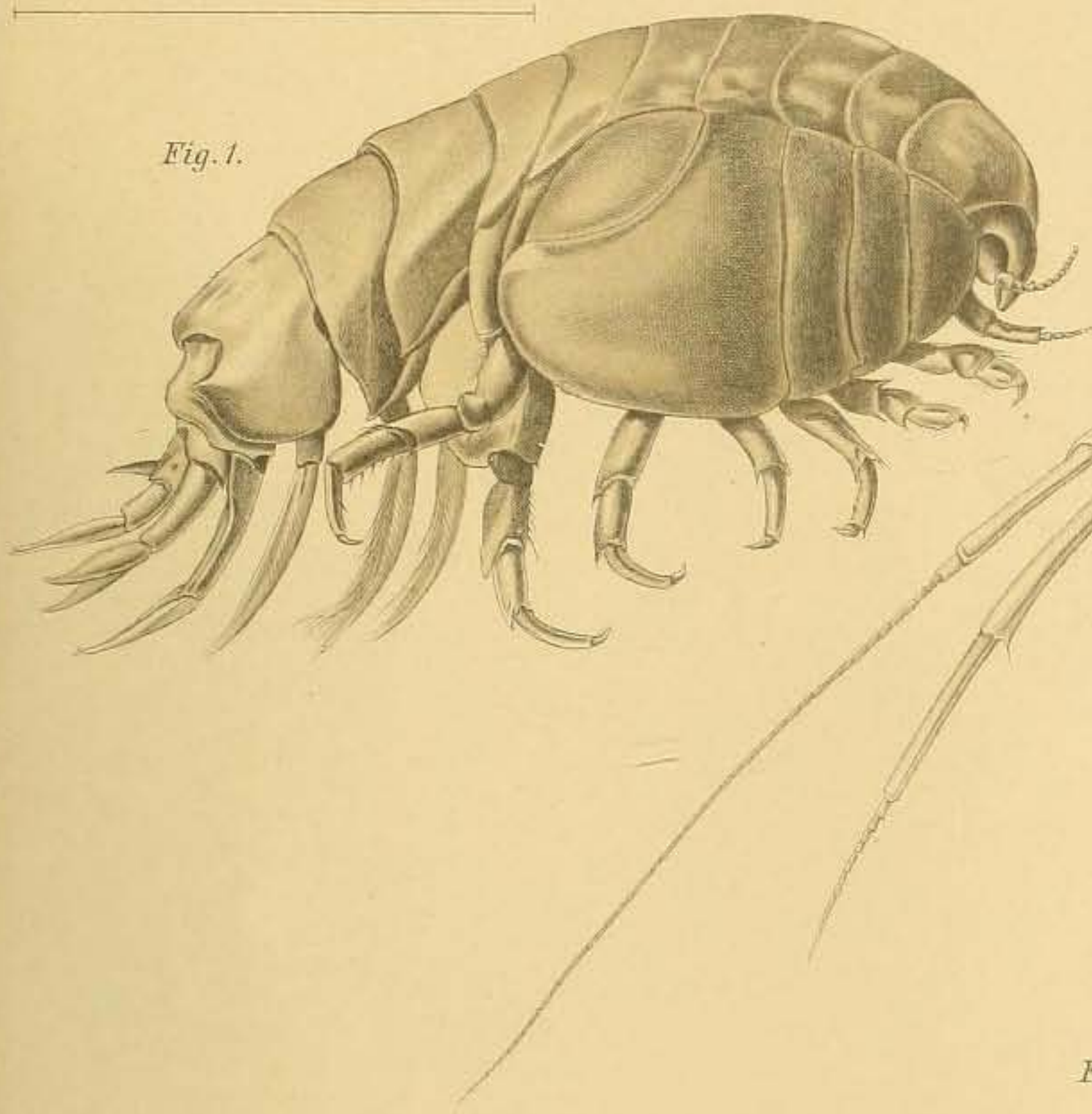
Seite.	von oben	Zeile.	von unten	lies:	statt:
1	15 (und folgende)	—	Polilov	Palilov	
2	12 » »	—	<i>Paramphithoë</i>	<i>Paramphitoe</i>	
3	11	—	<i>Pontogeneia</i>	<i>Pontogoneia</i>	
3	14	—	Berings-Meer	Behrings-Meer	
31	9	—	Paramphithoidae	Paramphitoidae	
31	10 (und folgende)	—	Paramphithoë	Paramphitoe	
42	—	5	Aegina longicornis	Aegina langicornis	

ERKLÄRUNG DER TAFELN.

Tafel I.

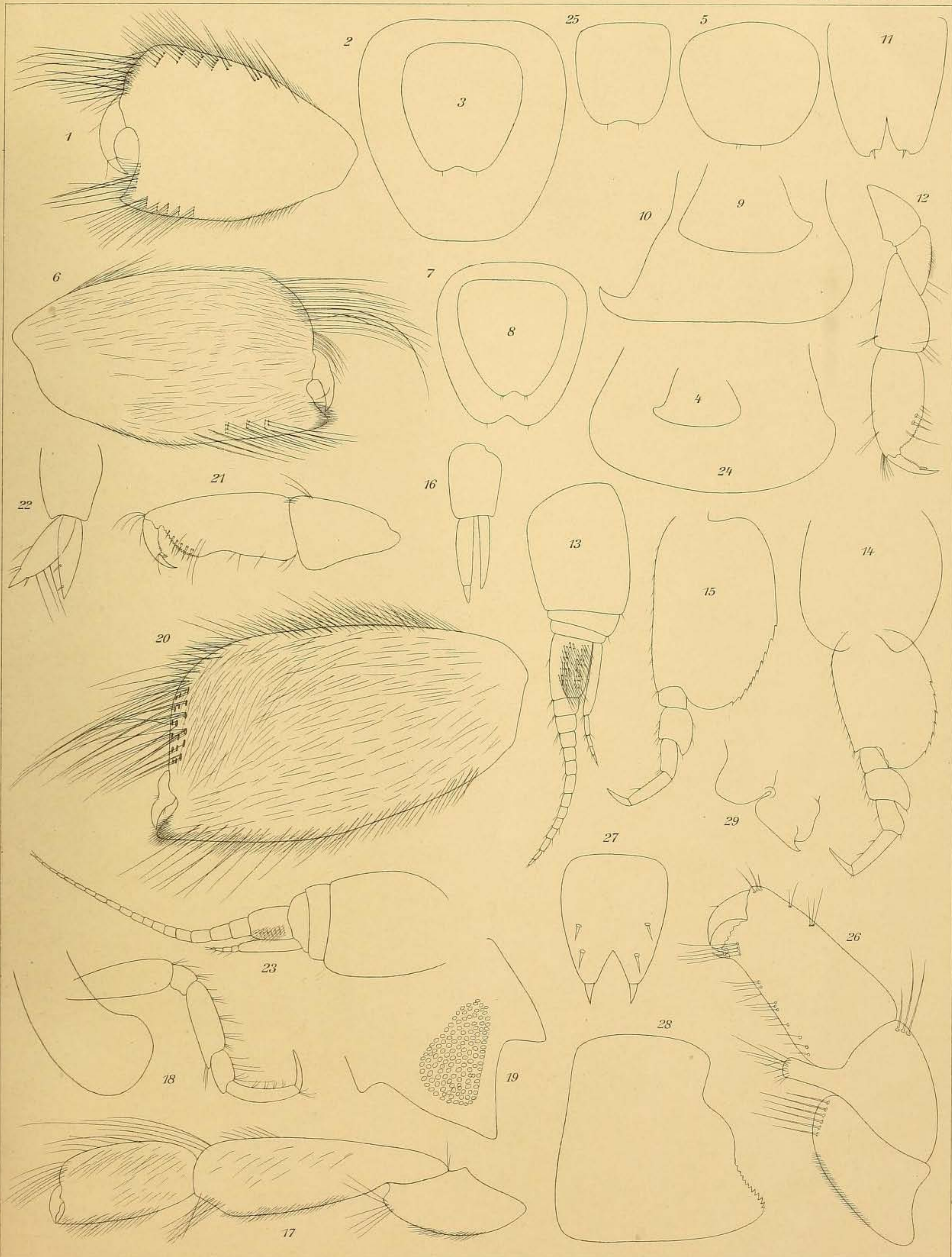
Fig. 1. *Stegocephalus ampulla*.
» 2. *Metopa spitzbergensis*.
» 3. *Paramphithoe polyacantha*.

Fig. 4. *Ceradocus torelli*.
» 5. *Ampelisca birulai*.
» 6. *Erichtonius tolli*.



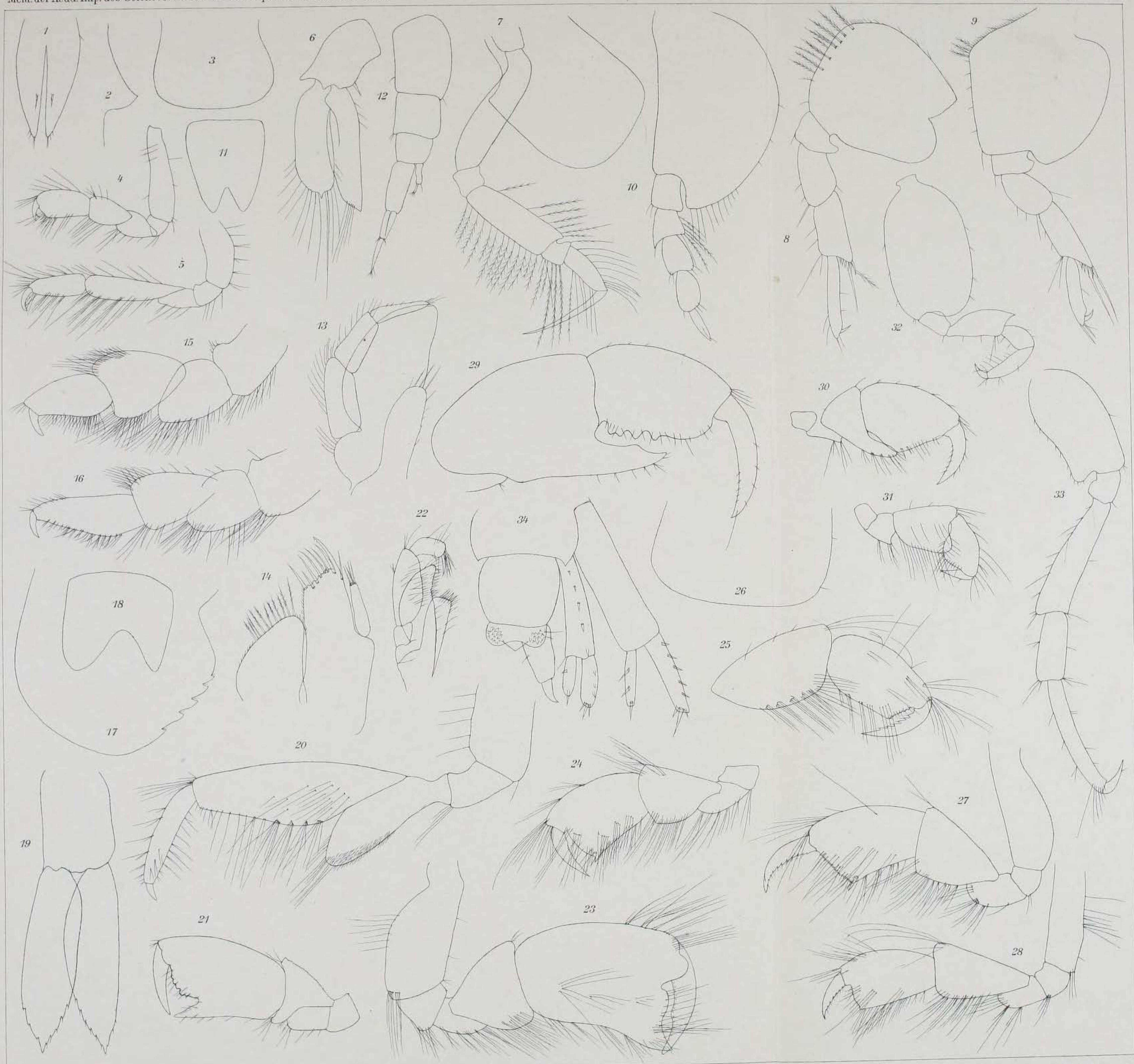
Tafel II.

- | | |
|--|---|
| <p>Fig. 1. <i>Onisimus caricus</i>: Gnathopode des ersten Paares.</p> <p>» 2. <i>Onisimus caricus</i>: Schwanzanhang.</p> <p>» 3. » » Schwanzanhang.</p> <p>» 4. » » vierte Epimerenplatte.</p> <p>» 5. <i>Onisimus brevicaudatus</i>: Schwanzanhang.</p> <p>» 6. <i>Onisimus affinis</i>: zweite Gnathopode.</p> <p>» 7. » » Schwanzanhang.</p> <p>» 8. » » Schwanzanhang.</p> <p>» 9. <i>Onisimus affinis</i>: vierte Epimerenplatte.</p> <p>» 10. <i>Onisimus sibiricus</i>: vierte Epimerenplatte.</p> <p>» 11. <i>Onisimus sibiricus</i>: Schwanzanhang.</p> <p>» 12. » » erste Gnathopode.</p> <p>» 13. » » erste Antenne.</p> <p>» 14. » » dritte Pereiopode.</p> <p>» 15. » » fünfte Pereiopode.</p> | <p>Fig. 16. <i>Onisimus sibiricus</i>: dritte Uropode.</p> <p>» 17. » » zweite Gnathopode.</p> <p>» 18. <i>Onisimus sibiricus</i>: zweite Pereiopode.</p> <p>» 19. » » Kopf.</p> <p>» 20. <i>Onisimus botkini</i>: zweite Gnathopode.</p> <p>» 21. » » erste Gnathopode.</p> <p>» 22. » » dritte Uropode.</p> <p>» 23. » » erste Antenne.</p> <p>» 24. » » vierte Epimerenplatte.</p> <p>» 25. <i>Onisimus botkini</i>: Schwanzanhang.</p> <p>» 26. <i>Orchomene tschernyschevi</i>: erste Gnathopode.</p> <p>» 27. <i>Orchomene tschernyschevi</i>: Schwanzanhang.</p> <p>» 28. <i>Orchomene tschernyschevi</i>: vierte Epimerenplatte.</p> <p>» 29. <i>Orchomene tschernyschevi</i>: Epistom und Oberlippe.</p> |
|--|---|
-



Tafel III.

- | | |
|--|---|
| <p>Fig. 1. <i>Ampelisca birulai</i>: Schwanzanhang.
 » 2. » » viertes Schwanzsegment.
 » 3. <i>Ampelisca birulai</i>: vierte Epimerenplatte.
 » 4. <i>Ampelisca birulai</i>: erste Gnathopode.
 » 5. » » zweite Gnathopode.
 » 6. » » dritte Uropode.
 » 7. » » zweite Pereiopode.
 » 8. » » dritte Pereiopode.
 » 9. » » vierte Pereiopode.
 » 10. » » fünfte Pereiopode.
 » 11. <i>Stegocephalus ampulla</i>: Schwanzanhang.
 » 12. <i>Stegocephalus ampulla</i> juv.: erste Antenne.
 » 13. <i>Stegocephalus ampulla</i>: Kieferfüsse.
 » 14. » » Mandibel.
 » 15. » » erste Gnathopode.
 » 16. <i>Stegocephalus ampulla</i>: zweite Gnathopode.
 » 17. <i>Stegocephalus ampulla</i> juv.: dritte Epimerenplatte.
 » 18. <i>Stegocephalus ampulla</i>: Oberlippe.
 » 19. » » dritte Uropode.</p> | <p>Fig. 20. <i>Metopa spitzbergensis</i>: erste Gnathopode.
 » 21. <i>Metopa propinqua</i> ♂: erste Gnathopode.
 » 22. <i>Lembos arcticus</i>: Kieferfüsse.
 » 23. » » ♂ erwachsenes Exemplar: zweite Gnathopode.
 » 24. <i>Lembos arcticus</i> ♂ juv.: zweite Gnathopode.
 » 25. <i>Lembos arcticus</i> ♀ juv.: zweite Gnathopode.
 » 26. <i>Lembos arcticus</i>: vierte Epimerenplatte.
 » 27. <i>Lembos arcticus</i> ♂ juv.: zweite Gnathopode.
 » 28. <i>Lembos arcticus</i> ♂: erste Gnathopode.
 » 29. <i>Erichtonius tolli</i> ♂: zweite Gnathopode.
 » 30. <i>Erichtonius tolli</i> ♀: zweite Gnathopode.
 » 31. <i>Erichtonius tolli</i> ♂: erste Gnathopode.
 » 32. <i>Erichtonius tolli</i>: zweite Pereiopode.
 » 33. » » fünfte Pereiopode.
 » 34. » » Uropoden und Schwanzanhang.</p> |
|--|---|



RÉSULTATS SCIENTIFIQUES DE L'EXPÉDITION POLAIRE RUSSE EN 1900 — 1903,

sous la direction du Baron E. Toll.

Section E: Zoologie, vol. I.

- Livr. 1. **Linstow, O. von.** Helminthen der Russischen Polar-Expedition 1900 — 1903; mit 3 Taf. (publié en 1905).
- Livr. 2. **Birula, A.** Esquisses de la vie des oiseaux dans le littoral polaire de la Sibérie; avec 8 pl. et 23 dessins (publié en 1907).
- Livr. 3. **Konow, Fr. W.** Ueber die Ausbeute der Russischen Polar-Expedition an Blattwespen im arktischen Sibirien; mit 1 Taf. (publié en 1907).
- Livr. 4. **Kalischewskij, M.** Zur Kenntnis der Echinodermenfauna des Sibirischen Eismeer; mit 3 Taf. (publié en 1907).
- Livr. 5. **Knipowitsch, N.** Zur Ichthyologie des Eismeer; mit 2 Taf. (publié en 1907).
- Livr. 6. **Schimkewitsch, W., Prof.** Zur Pantopodenfauna des Sibirischen Eismeer; mit 1 Taf. (publié en 1907).
- Livr. 7. **Kulczyński, Vl., Dr.** Araneae et Oribatidae expeditionum rossicarum in insulas Novo-Sibiricas annis 1885 — 1886 et 1900 — 1903 susceptarum; acced. 3 tab. (publié en 1907).
- Livr. 8. **Linko, A.** Schizopodes de la mer Glaciale du Nord russe; avec 12 gravures en texte (publié en 1908).
- Livr. 9. **Poppius, B., Ph. Zaitzew und G. Jacobson.** Beiträge zur Coleopterenfauna des äussersten Nordens von Sibirien; mit 1 Taf. (sous presse).
- Livr. 10. **Becker, Th.** Ein Beitrag zur Kenntnis der Dipterenfauna Nordsibiriens (publié en 1907).
- Livr. 11. **Redikorzew, W. Dr.** Die Ascidien des Sibirischen Eismeer; mit 3 Taf. und 11 Textfig. (publié en 1908).
- Livr. 12. **Jäderholm, E. Dr.** Die Hydroiden des Sibirischen Eismeer, gesammelt von der Russischen Polar-Expedition 1900 — 1903; mit 3 Taf. (publié en 1908).
- Livr. 13. **Friese, H.** Ueber die Bienen (Apidae) der Russischen Polar-Expedition; mit 1 col. Taf. (publié en 1908).
- Livr. 14. **Thor, Sig, Dr.** Ueber die Acarina der Russischen Polar-Expedition 1900 — 1903; mit 1 Taf. (publié en 1909).
- Livr. 15. **Kükenthal, W. Prof.** Zur Kenntnis der Alcyonarien des Sibirischen Eismeer (publié en 1909).
- Livr. 16 (et dernier du volume). **Brüggen, E. von der, baron.** Beiträge zur Kenntnis der Amphipoden-Fauna der Russischen Arctis; mit 3 Tafeln und 4 Textfiguren (publié en 1909).

En outre, les personnes suivantes ont consenti à s'occuper d'une partie importante des matériaux scientifiques de zoologie:

V. Bianchi — Aves; A. Birula — Biologie du Rangifer tarandus; L. Berg — Poissons d'eau douce; N. Knipowitsch — Mollusca et Brachiopoda; Dr. Joh. Thiele — Solenogastres; N. Kusnezow — Lepidoptera; N. Kokouew — Hymenoptera-Ichneumonidae; A. Birula — Crustacea-Decapoda; W. Meissner — Invertébrés d'eau douce; A. Linko — Plancton de la mer; Dr. B. Čejka — Vermes-Oligochaeta; A. Scorikow — Vermes-Prosopygii; H. Zaboussow — Turbellaria et Nemertini; H. Kluge — Bryozoa; A. Linko — Craspedota et Acraspeda.

НАУЧНЫЕ РЕЗУЛЬТАТЫ РУССКОЙ ПОЛЯРНОЙ ЭКСПЕДИЦИИ ВЪ 1900—1903 ГГ.,

подъ начальствомъ барона Э. В. Толля.

Отдѣлъ Е: Зоологія, томъ I.

- Вып. 1. **Linstow, Otto von.** Helminthen der Russischen Polar-Expedition 1900—1903; mit 3 Taf. (опубл. въ 1905 г.).
- Вып. 2. **Бируля, А.** Очерки изъ жизни птицъ полярнаго побережья Сибири; съ 8 табл. и 23 рис. въ текстѣ (опубл. въ 1907 г.).
- Вып. 3. **Konow, Fr. W.** Ueber die Ausbeute der Russischen Polar-Expedition an Blattwespen im arctischen Sibirien; mit 1 col. Taf. (опубл. въ 1907 г.).
- Вып. 4. **Kalischewskij, M.** Zur Kenntnis der Echinodermenfauna des Sibirischen Eismeeress; mit 3 Taf. (опубл. въ 1907 г.).
- Вып. 5. **Книповичъ, N.** Zur Ichthyologie des Eismeeress; mit 2 Taf. (опубл. въ 1907 г.).
- Вып. 6. **Schimkewitsch, W.** Prof. Zur Pantopodenfauna des Sibirischen Eismeeress; mit 1 Taf. (опубл. въ 1907 г.).
- Вып. 7. **Kulczyński, Vl.,** D-r. Araneae et Oribatidae expeditionum rossicarum in insulas Novo-Sibiricas annis 1885—1886 et 1900—1903 susceptarum; acced. 3 tab. (опубл. въ 1908 г.).
- Вып. 8. **Линко, А.** Schizopoda русскихъ сѣверныхъ морей; съ 12 рис. въ текстѣ (опубл. въ 1908 г.).
- Вып. 9. **Poppius, B., Ph. Zaitzew und G. Jacobson.** Beiträge zur Coleopterenfauna des äussersten Nordens von Sibirien; mit 1 Taf. (въ печати).
- Вып. 10. **Becker, Th.** Ein Beitrag zur Kenntnis der Dipterenfauna Nordsibiriens (опубл. въ 1907 г.).
- Вып. 11. **Редикорзевъ, W.** Dr. Die Ascidien des Sibirischen Eismeeress; mit 3 Taf. und 11 Textfiguren (опубл. въ 1908 г.).
- Вып. 12. **Jäderholm, E.** Dr. Die Hydroiden des Sibirischen Eismeeress, gesammelt von der Russischen Polar-Expedition 1900—1903; mit 3 Taf. (опубл. въ 1908 г.).
- Вып. 13. **Friese, H.** Ueber die Bienen (Apidae) der Russischen Polar-Expedition; mit 1 col. Taf. (опубл. въ 1908 г.).
- Вып. 14. **Thor, Sig,** Dr. Ueber die Acarina der Russischen Polar-Expedition 1900—1903; mit 1 Taf. (опубл. въ 1909 г.).
- Вып. 15. **Kükenthal, W.** Prof. Zur Kenntnis der Alcyonarien des Sibirischen Eismeeress (опубл. въ 1909 г.).
- Вып. 16. **Brüggen, E. von-der,** baron. Beiträge zur Kenntnis der Amphipoden-Fauna der russischen Arctis; mit 3 Tafeln und 4 Textfiguren (опубл. въ 1909 г.).

Остальную часть матеріала по зоологii обрабатываютъ:

В. Бианки — Aves; **А. Бируля** — Биологія сѣв. оленя; **Л. Бергъ** — Прѣсновод. рыбы; **Н. Книповичъ** — Mollusca и Brachiopoda; **D-r. Joh. Thiele** — Solenogastres; **Н. Кузнецовъ** — Lepidoptera; **Н. Кокуевъ** — Hymenoptera-Ichneumonidae; **А. Бируля** — Crustacea-Decapoda; **В. Мейснеръ** — Прѣснов. фауна безпозв.; **А. Линко** — Морской планктонъ; **Dr. B. Sejka** — Vermes-Oligochaeta; **А. Скориковъ** — Vermes-Prozorygii; **И. Забусовъ** — Turbellaria и Nemertini; **Г. Клюге** — Bryozoa; **А. Линко** — Craspedota и Acraspeda.

Цѣна: 1 руб. 40 коп.; Prix: 3 Mk. 10 Pf.

Продается у комиссіонеровъ Императорской Академіи Наукъ:

И. И. Глазунова и **И. Л. Рикера** въ С.-Петербургѣ, **Н. П. Карбасникова** въ С.-Петерб., Москвѣ, Варшавѣ и Вильнѣ, **Н. Я. Оглоблина** въ С.-Петербургѣ и Кіевѣ, **Н. Ниммеля** въ Ригѣ, **Фоссъ (Г. В. Зоргенфрей)** въ Лейпцигѣ, Люзакѣ и Комп. въ Лондонѣ.

Commissionnaires de l'Académie Impériale des Sciences:

J. Glasounof et C. Ricker à St.-Petersbourg, **N. Karbasnikof** à St.-Petersbourg, Moscou, Varsovie et Vilna, **N. Ogioblina** à St.-Petersbourg et Kief, **N. Kummel** à Riga, **Voss' Sortiment (G. W. Sorgenfrey)** à Leipzig, **Luzac & Cie** à Londres.

2596